



وزارة التعليم العالي والبحث العلمي
جامعة ديالى
كلية العلوم
قسم الفيزياء



تصنيع ودراسة الدقائق النانوية للمركبين $\text{CoZnFe}_2\text{O}_4$ و $\text{NiZnFe}_2\text{O}_4$ المغناطيسية لتطبيقات الطبية

رسالة مقدمة الى مجلس كلية العلوم / جامعة ديالى
وهي جزء من متطلبات نيل درجة الماجستير في علوم الفيزياء

من قبل

وفاء عبد الستار شاطي بحر

(بكالوريوس علوم فيزياء 2002)

إشراف

أ.م.د. الفت احمد محمود

م 2020

أ.د. تحسين حسين مبارك

هـ 1442

بِسْمِ اللَّهِ الرَّحْمَنِ الرَّحِيمِ

”قَالُواْ سُبْحَانَكَ لَا عِلْمَ لَنَا إِلَّا مَا
عَلِمْنَا إِنَّكَ أَنْتَ الْعَلِيمُ الْحَكِيمُ“

صدق الله العظيم

سورة البقرة (32)

هَدَاءٌ

الى من لا يطيب النهار الا بذكره ولا يطيب الليل الا بطاعته ولا تطيب الاخرة الا بعفوه

الله جل جلاله

الى سيد الخلق حبيب الحق والهادي الى السراط المستقيم

نبينا محمد (صل الله عليه وعلی الہ الطاهرين وصحبه المنتجبين)

الى من افتقد وجوده معي في لحظات تحقيق حلمي وتدمع عيني لغيابه

ابي رحمه الله

الى من علمتني الحياة بحكمة ومن خضت دروب العلم بفيض تراتيل دعواتها

امي الخالية

الى سndي ومن كان مصدر قوتي

زوجي

الى من تحملوا فراقی عنهم طول فترة دراستی

اولادی

اهدي ثمرة جهدي هذا حبا ووفاء

وفاء

شكراً وتقديراً

يسريني وأنا أضع اللمسات الأخيرة على بحثي أن اتقدم بجزيل الشكر والامتنان والتقدير لعمادة كلية العلوم بكل وحداتها وشعبها لأنها تاحتها الفرصة لي في إكمال دراستي
كما اتقدم بكل الشكر والتقدير لرئيس قسم الفيزياء المتمثلة برئيس القسم **أ.د زياد طارق خضرير** صاحب القلب الطيب الودود

وأتقدم بفائق الشكر والتقدير والاحترام للأستاذ الدكتور **حسين حسين مبارك** والأستاذ المساعد الدكتور **الفت احمد محمود** لأشرافهم على البحث وعلى كل الملاحظات القيمة والنصائح والارشادات التي أخرجت البحث بهذه الصورة ولكل ما أبدوه لي من اهتمام ومتابعة طوال مدة إنجاز البحث
وأتمنى لهم دوام الصحة والعافية والمزيد من العلم والتقدير

وأتقدم بكل الشكر والتقدير إلى أساتذتي الأفضل بالمرحلة التحضيرية وأخص بالذكر الاستاذ الدكتور **نبيل علي بكر** والاستاذ الدكتور **صباح انور سلمان** والاستاذ الدكتور **فراس محمود عبد الله** والاستاذ **اسعد احمد كامل** والاستاذ الدكتور **كريم هنيكش حسن**

وكل الشكر والامتنان إلى الاستاذ المساعد الدكتور **نمير فاضل غائب** تدريسي في جامعة ديالي / كلية الطب / طب عام تشريح

وأتقدم بكل الشكر والتقدير إلى **مستشفى بعقوبة العام** لما قدموه لي من مساعدة في إكمال الفحوصات

وكل الشكر إلى **جامعة المستنصرية / كلية طب الميرموك / المركز العراقي لبحوث السرطان والوراثة الطبية**

وإلى كل زملائي واهلي وجميع أحبتي وإلى كل من ساعدني ولو بكلمة واحدة إلى كل القلوب المخلصة التي دعت لي بالنجاح والتوفيق

الخلاصة

في هذه الدراسة تم تحضير جسيمات نانوية مغناطيسية بصيغتين الأولى $\text{Co}_{1-x}\text{Zn}_x\text{Fe}_2\text{O}_4$ والثانية $\text{Ni}_{1-x}\text{Zn}_x\text{Fe}_2\text{O}_4$ لقيم ($x=0, 0.1, 0.3, 0.5, 0.7, 0.9$) على التوالي بطريقة الترسيب الكيميائي المشترك (Co-Precipitation Method) حيث تم الحصول على جسيمات نانوية بمقاييس يتراوح بين (10-28 nm).

تم دراسة الخصائص التركيبية للنماذج المحضره باستخدام طيف حيود الاشعة السينية Fourier (X-ray diffraction)، وتحويلات فوريير لمطياف الأشعة تحت الحمراء (Transform Infrared Spectroscopy)، والمطياف الإلكتروني الماسح لأنبعاث المجال (Field Emission Scanning Electron Microscopes) حيث أظهرت نتائج فحوصات (X-ray diffraction) أن الجسيمات المحضره تمتلك بنية Spinal طور المكعب المترمز الوجه، كما تم حساب ثابت الشبكة والحجم الحبيبي والكتافة للفرايت، أما نتائج (Emission Scanning Electron Microscopes) فأظهرت أن جميع العينات تمتلك احجام نانوية ومن خلال التكتل بموقع الجسيمات اظهرت أنها تمتلك خواص مغناطيسية جيدة، أما نتائج تحويلات فوريير للأشعة تحت الحمراء (Fourier Transform Infrared Spectroscopy) فأظهرت أن الجسيمات لها حزمتي امتصاص تقع بين (400-600cm⁻¹) وان هذه الحزم تشير الى ان التركيب الطيفي لجميع العينات هو الفرايت.

تم دراسة الخصائص الكهربائية العزلية للجسيمات المحضره (Inductance meter) حيث أظهرت النتائج أن الجسيمات المحضره تمتلك خواص كهربائية عزلية جيدة ضمن مدى الترددات (50-2MHZ) من خلال حساب ثابت العزل الكهربائي وكذلك ومعامل الفقد وايجاد ظل فقد،اما الخصائص المغناطيسية للجسيمات المحضره فأظهرت من خلال اختبار Para Magnetic (Vibrating Sample Magnetometer) ،فإن بعض العينات امتلكت خصائص والبعض الآخر امتلكت خصائص Super Para Magnetic .

من خلال النتائج وجد أن العينات المحضره جميعها امتلكت احجام نانوية و خواص جيدة مثل التمغnet العالي كما أن الطريقة المستخدمة غير مكلفة بالإضافة إلى امكانية تحضير مساحيق فرايتية نانوية مغناطيسية بكميات جيدة ، تم استخدام الجسيمات المحضره في التطبيقات الطبية اعتمادا على الخصائص التركيبية والمغناطيسية والكهربائية باستخدام المساحيق المحضره بعد تحويلها إلى مائع مغناطيسي باستخدام احد المذيبات العضوية (Tetramethyl Ammonium Hydroxide) رباعي مثيل هيدروكسيد الامونيوم حيث تم تحويل المساحيق الى مائع مغناطيسي نانوي والذي تم استخدامه مادة تلوين للأنسجة ووسط تباين في صور جهاز الرنين المغناطيسي (Contrast Medium) .

فهرس المحتويات

الصفحة	الفصل الاول (المقدمة والدراسات السابقة)	الترتيب
1	المقدمة	1-1
1	الفراءيات	2-1
3	تحضير الفراءيات	3-1
3	النانو تكنلوجي	4-1
6	الفراءيت النانوي وتطبيقاته	5-1
6	الموائع الممقطة	1-5-1
7	التطبيق الطبي الحيوي	2-5-1
9	الدراسات السابقة	6-1
14	هدف الدراسة	7-1
الصفحة	الفصل الثاني (الجزء النظري)	الترتيب
15	المقدمة	1-2
15	اساسيات المغناطيسية والمواد المغناطيسية	2-2
15	مصدر المغناطيسية	1-2-2
17	المجال المغناطيسي والتاثيرية المغناطيسية	2-2-2
17	تصنيف المواد المغناطيسية	3-2
17	المواد البارا مغناطيسية	1-3-2
18	المواد الديايا مغناطيسية	2-3-2
18	المواد الفيرو مغناطيسية	3-3-2
19	المواد الفيري مغناطيسية	4-3-2
20	المواد ضديد الفيرو مغناطيسية	5-3-2
20	البارا مغناطيسية الفائقة	4-2
21	الفراءيات	5-2
21	الفراءيت السادس	1-5-2
21	فراءيت العقيق	2-5-2
22	الفراءيت المغزلي	3-5-2
23	كوبلت فرائيت	6-2
24	نيكل فرائيت	7-2
24	تصنيف الفراءيات حسب خواصها المغناطيسية	8-2
24	الفراءيات المرنة	1-8-2
25	الفراءيات الصلبة	2-8-2
26	منحنى المقطعة وحلقة التباطئ	9-2
27	النفاذية المغناطيسية	10-2
28	النفاذية الابتدائية	11-2
28	طائق التحضير لفراءيات النانوية	12-2
30	المعاملات الحرارية	13-2

30	عملية الكبس	14-2
31	التلبيد	15-2
32	تقنيات القياس لدراسة الخصائص التركيبية	16-2
32	تقنية حيود الاشعة السينية	17-2
33	المعاملات التركيبية	18-2
33	ثابت الشبكة	1-18-2
34	معدل الحجم البلوري	2-18-2
34	الكثافة النظرية	3-18-2
34	الكثافة الظاهرية	4-18-2
35	مطياط تحويلات فوريير للأشعة تحت الحمراء	19-2
36	المجهر الالكتروني الماسح لأنبعاث المجال	20-2
37	الخصائص العزلية الكهربائية	21-2
37	ثابت العازل	1-21-2
38	فقد العازل	2-21-2
39	تقنية القياسات المغناطيسية VSM	22-2
40	تقنية التصوير بالرنين المغناطيسي	23-2
الصفحة	الفصل الثالث(الجزء العملي)	الترتيب
42	المقدمة	1-3
42	المواد الاولية	2-3
44	الاجهزه والمستخدمة	3-3
44	الميزان الالكتروني	1-3-3
44	الخلط المغناطيسي	2-3-3
44	قياس الاس الهيدروجيني	3-3-3
45	فرن الحرق	4-3-3
45	تحضير الفرایت	4-3
45	تحضير الفرایت كوبلت زنك	1-4-3
45	حساب الاوزان الجزئية للمواد	1-1-4-3
46	حساب الاوزان للمواد المستخدمة في تحضير الفرایت كوبلت زنك	2-1-4-3
46	طريقة التحضير	3-1-4-3
50	NiZnFe ₂ O ₄	2-4-3
50	حساب الاوزان الجزئية للمواد	1-2-4-3
50	حساب الاوزان للمواد المستخدمة في تحضير الفرایت نيكيل زنك	2-2-4-3
51	طريقة التحضير	3-2-4-3
53	المعاملات الحرارية	5-3
54	تشكيل العينات	6-3
54	الفحوصات التركيبية	7-3
54	قياس طيف حيود الاشعة السينية	1-7-3
56	تحويلات فوريير للأشعة تحت الحمراء	8-3
56	انبعاث المجال للمجهر الالكتروني الماسح	9-3

57	قياس الخصائص الكهربائية	10-3
58	الفحوصات المغناطيسية	11-3
59	التطبيق الطبي	12-3
الصفحة	الفصل الرابع(مناقشة النتائج والاستنتاجات)	الترتيب
65	المقدمة	1-4
65	نتائج القياسات التركيبية للمركبات المحضرة فرایت كوبالت زنك والفرایت نیکل زنك	2-4
66	نتائج فحوصات طيف حیود الاشعة السينية للمركب فرایت كوبالت زنك	1-2-4
67	ثابت الشبیکة	1-1-2-4
67	الحجم الحبیبی	2-1-2-4
68	الكثافة النظرية والكثافة الظاهرية والمسامية للفیرایت کوبلت زنك	3-1-2-4
68	نتائج فحوصات حیود الاشعة السینية للمركب فرایت نیکل زنك	2-2-4
70	ثابت الشبیکة	1-2-2-4
70	الحجم الحبیبی	2-2-2-4
71	الكثافة النظرية والكثافة الظاهرية والمسامية للفرایات	3-2-2-4
72	الخصائص التركيبية للفرایات المحضرة FTIR	3-4
72	الخواص التركيبية للفرایت کوبلت زنك $\text{CoZnFe}_2\text{O}_4$	1-3-4
73	الخواص التركيبية للفرایت نیکل زنك $\text{NiZnFe}_2\text{O}_4$	2-3-4
75	نتائج الفحوصات التركيبية من فحص المطياف الالكتروني الماسح لانبعاث المجال FESEM	4-4
75	نتائج فحوصات FESEM للمركب CoZnFe	1-4-4
77	نتائج فحوصات FESEM للمركب $\text{NiZnFe}_2\text{O}_4$	2-4-4
79	الخصائص الكهربائية للفرایات المحضرة	5-4
79	الخصائص العزلية للفرایت $\text{CoZnFe}_2\text{O}_4$	1-5-4
79	ثابت العزل الكهربائي	1-1-5-4
80	معامل فقد العزل	2-1-5-4
81	ظل فقد العزل	3-1-5-4
82	الخواص العزلية للفرایت نیکل زنك $\text{NiZnFe}_2\text{O}_4$	2-5-4
82	ثابت العزل الكهربائي	1-2-5-4
83	معامل فقد العزل	2-2-5-4
84	ظل فقد	3-2-5-4
84	نتائج الفحوصات المغناطيسية	6-4
84	نتائج فحوصات VSM لفرایت کوبلت زنك $\text{CoZnFe}_2\text{O}_4$	1-6-4
87	نتائج الفحوصات المغناطيسية لفرایت نیکل زنك $\text{Ni}_{1-x}\text{Zn}_x\text{Fe}_2\text{O}_4$	2-6-4
87	نتائج فحوصات المغناطيسية لفرایت نیکل زنك $\text{NiZnFe}_2\text{O}_4$ عند درجة حرارة 300°C	1-2-6-4
88	نتائج فحوصات المغناطيسية لفرایت نیکل زنك $\text{NiZnFe}_2\text{O}_4$ عند درجة حرارة 700°C	2-2-6-4
89	التطبيق الطبي	7-4

89	المقدمة	1-7-4
90	نتائج Magnetic Resonance Imaging	2-7-4
96	الاستنتاجات	8-4
96	الاعمال المستقبلية	9-4

قائمة الجداول

الصفحة	عنوان الجدول	الترتيب
43	جدول المواد المستخدمة في تحضير العينات	1-3
46	جدول اوزان المواد المستخدمة في تحضير كوبلت زنك فرايت	2-3
50	جدول اوزن المواد المستخدمة في تحضير الفرايت نيكل زنك	3-3
60	جدول النسب التي تم اذابتها لفرايت كوبلت زنك	4-3
60	جدول النسب التي تم اذابتها لفرايت نيكل زنك	5-3
68	جدول قيم ثابت الشبكة والحجم الحبيبي للفرايت كوبلت زنك	1-4
68	جدول قيم الكثافة الظاهرية والكثافة النظرية والمسامية للفرايت كوبلت زنك	2-4
71	جدول قيم ثابت الشبكة والحجم الحبيبي للفرايت نيكل زنك عند درجة 300°C	3-4
71	جدول قيم ثابت الشبكة والحجم الحبيبي للفرايت نيكل زنك عند درجة 700°C	4-4
72	جدول قيم الكثافة النظرية والكثافة الظاهرية والمسامية للفرايت نيكل زنك 300°C	5-4
72	جدول قيم الكثافة النظرية والكثافة الظاهرية والمسامية للفرايت نيكل زنك 700°C	6-4
73	جدول نتائج FTIR لفرايت كوبلت زنك عند درجة حرارة 300°C	7-4
74	جدول نتائج FTIR لفرايت نيكل زنك عند درجة حرارة 700°C	8-4
85	جدول قيم مغنة التشبع والمغنة المتبقية وقيم المجال القهري لفرايت كوبلت زنك	9-4
88	جدول قيم مغنة التشبع والمغنة المتبقية وقيم المجال القهري لفرايت نيكل زنك عند درجة حرارة 300°C	10-4
89	جدول قيم مغنة التشبع والمغنة المتبقية وقيم المجال القهري لفرايت نيكل زنك عند درجة حرارة 700°C	11-4

قائمة الاشكال

الصفحة	عنوان الشكل	الترتيب
2	شكل يوضح عملية حدوث التمغط بين المنطبقين M,H	1-1
4	شكل يوضح تقييات تحضير الجسيمات النانوية	2-1
6	شكل يوضح السائل المغناطيسي يجذب المجال المغناطيسي	3-1
7	شكل تقييات استخدام الجسيمات النانوية في الطب الحيوي	4-1
8	شكل يوضح استخدام الجسيمات النانوية في الطب الحيوي	5-1
16	شكل نموذج لحركة الالكترون حول النواة	1-2
18	شكل تأثير المادة البارا مغناطيسية بالمجال المغناطيسي	2-2
18	شكل تأثير المادة الدايا مغناطيسية بالمجال المغناطيسي	3-2
19	شكل المادة الفيري مغناطيسية	4-2
20	شكل المادة الفيري مغناطيسية	5-2
20	شكل المادة ضديد الفيري مغناطيسية	6-2
21	شكل الجدول الدوري لأنواع مختلفة من المواد المغناطيسية	7-2
23	شكل موقعي رباعي السطوح وثمانى السطوح	8-2
26	شكل يوضح حلقات الهسترة للفرايت (Soft) والفريت (Hard)	9-2
27	العلاقة بين شدة المجال H والفيض المغناطيسي B وحلقة الهسترة المغناطيسية	10-2
31	شكل يوضح آلية كبس المسحوق	11-2
33	شكل يوضح حصول التداخل البناء بين المستويات البلورية	12-2
36	شكل مخطط توضيحي لعمل جهاز FTIR	13-2
39	شكل خسارة العزل الكهربائي (عامل التبديد)	14-2
39	شكل مبسط لتقطية جهاز VSM	15-2
41	شكل توضيحي لتكوين صورة جهاز الرنين المغناطيسي	16-2
41	شكل يوضح جهاز الرنين المغناطيسي	17-2
44	جهاز قياس PH meter	1-3
45	فرن الحرق المستخدم في تحضير المسحوق	2-3
47	يوضح مرحلة اذابة المحاليل والحصول على اذابة 100%	3-3
47	مرحلة خلط المحاليل والحصول على خليط متجانس	4-3
48	مرحلة التقطر على الخليط	5-3
48	يوضح مرحلة التسخين للخلط والحصول على راسب الفرايت	6-3
48	مرحلة الغسل والحصول على المسحوق الفرايتي	7-3
49	المخطط الانسيابي لتحضير المركب كوبالت زنك فرايت بطريقة الترسيب الكيميائي	8-3
51	يبين مرحلة الازابة للمواد المستخدمة لتحضير فرايت نيكل زنك	9-3
51	مرحلة الخلط للمحاليل المذابة	10-3
52	مرحلة التقطر لهيدروكسيد الصوديوم على الخليط	11-3
52	مرحلة التسخين والحصول على الراسب	12-3
52	مرحلة الغسل والتتجفيف والحصول على الراسب الفرايتي	13-3

53	المخطط الانسيابي لتحضير الفرایت نیکل زنك	14-3
54	شكل تشكيل العينات على شكل اقراص	15-3
55	جهاز حيود الاشعة السينية	16-3
55	تمثيل تخطيطي لحيود الاشعة السينية	17-3
56	جهاز FTIR	18-3
57	جهاز FESEM	19-3
58	جهاز LCR meter	20-3
59	يوضح جهاز قياس الخواص المغناطيسية VSM	21-3
60	جهاز الموجات فوق الصوتية	22-3
61	مرحلة الحصول على المائع المغناطيسي	23-3
62	الفرنان المختبرية التي اجريت عليها الدراسة داخل الاقفاصل المختبرية	24-3
62	الشكل يوضح مرحلة التخدير	25-3
63	الشكل يوضح مرحلة الحقن بالمادة النانوية المحضرة	26-3
64	الشكل يوضح الحيوان المختبرى داخلى جهاز MRI	27-3
67	انماط حيود الاشعة السينية لفرایت کوبلت زنك عند درجة حرارة °C 300	1-4
69	انماط حيود الاشعة السينية لفرایت نیکل زنك عند درجة حرارة °C 300	2-4
70	انماط حيود الاشعة السينية لفرایت نیکل زنك بدرجة حرارة °C 700	3-4
73	اطيف FTIR لفرایت کوبلت زنك عند درجة حرارة °C 300	4-4
75	طيف FTIR لفرایت نیکل زنك عند درجة حرارة °C 700	5-4
76	نتائج FESEM لفرایت کوبلت زنك عند درجة حرارة °C 300	6-4
77	نتائج FESEM لفرایت نیکل زنك عند درجة حرارة °C 300	7-4
78	نتائج FESEM لفرایت نیکل زنك عند درجة حرارة °C 700	8-4
80	تغير ثابت العزل الكهربائي مع التردد لفرایت کوبلت زنك	9-4
81	تغير معامل الفقد العزلي كدالة للتردد لفرایت کوبلت زنك	10-4
82	تغير ظل زاوية الفقد كدالة للتردد لفرایت کوبلت	11-4
83	تغير ثابت العزل الكهربائي كدالة للتردد لفرایت نیکل	12-4
83	تغير معامل الفقد العزلي كدالة للتردد لفرایت نیکل زنك	13-4
84	تغير ظل زاوية الفقد كدالة للتردد لفرایت نیکل زنك	14-4
85	حلقة الہسترة لفرایت کوبلت زنك Co _{1-x} Zn _x Fe ₂ O ₄ عند درجة حرارة °C 300	15-4
86	تغير قيم X مع قيم المغفطة المتبقية	16-4
86	يبين تغير قيم X مع قيم التشبعية المغناطيسية	17-4
87	يبين التباين لحلقة الہسترة للعينات المحضرة لفرایت نیکل زنك	18-4
88	يوضح حلقة الہسترة لعينات نیکل زنك المحضرة عند درجة حرارة °C 700	19-4
90	استقراريه المائع الحديدی المغناطیسي النانوي بعد مرور شهرين	20-4
91	الصور الناتجة من جهاز الرنين المغناطیسي دون استخدام المائع النانوي	21-4
92	الصور الناتجة من جهاز MRI باستخدام المائع النانوي (A4)T1	22-4
92	يمثل الصور الناتجة من جهاز MRI باستخدام المائع النانوي T2	23-4
93	الصور الناتجة من المرجح T1 باستخدام المائع النانوي (A5) T1	24-4
93	يوضح الصور الناتجة من المرجح T2 (*) تبين منطقة الامعاء (*) منطقة القلب	25-4

94	يوضح الصور الناتجة من المرجح (C3) T1	26-4
94	يوضح الصور الناتجة من المرجح T2	27-4
95	يوضح الصور الناتجة من المرجح C4)T1	28-4
95	الصور الناتجة تمثل المرجح C4 للعينة T2 للفرايت الثنائي نيكل زنك	29-4

الفصل الأول

المقدمة والدراسات السابقة

Introduction

1-1 المقدمة

في الآونة الأخيرة تم استخدام الحديد وسبائكه كمواد مغناطيسية في العديد من التطبيقات والصناعات الكهربائية وتم اكتشاف مواد تعمل عند الترددات العالية تدخل في التقنيات التي تعمل على تقليل خسائر التيار الدوامة وذلك من خلال استخدام صفائح او مساحيق الحديد الفعالة والقليلة الكلفة . إن هذا الارتكاك حفز على زيادة الاهتمام بالمواد المغناطيسية بكافة أنواعها كذلك مكن الجمع بين المقاومة الكهربائية العالية للأكسيد مع الخصائص المغناطيسية المطلوبة ، إن المواد المغناطيسية تعودنا إلى نتائج جيدة للغاية للحصول تشغيل مواد عالية التردد تسمى (Ferrites) ، وهي مواد سيراميكية تتكون من خلط عناصر مع أكسيد الحديد لأن المكون الأساسي للفراييتات [1].

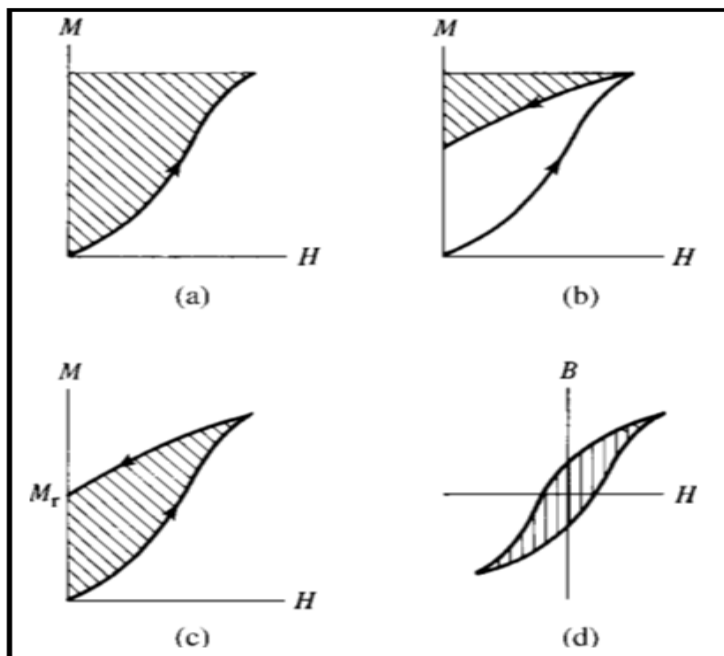
Ferrites

2-1 الفراييات

لقد بدأ تاريخ الفراييات منذ عدة قرون مع اكتشاف الاحجار التي لها القدرة على جذب الحديد إذ تم العثور على روابط وفيرة من هذه الاحجار في منطقة ماغنسيانا الصغرى لذلك تم تسمية المعدن باسم (المغنتيت) ، لقد أصبح الفرايت (Ferrites) متاحاً كمواد مغناطيسية على مدار العشرين العام الماضية وخلال الوقت الحالي أصبحت تدخل في العديد من الفروع مثل الاتصالات والهندسة وفي التطبيقات البيولوجية وهو الان يضم مجموعة من التراكيب والخصائص والتطبيقات [2] ، والفراييات هي أكسيد حديدي تتكون من أكسيد الحديديك وأكسيد معدنية تعتمد على اساس بنية البلوره ويتم تصنيفها الى ثلاث فئات وهي الفرايت السادس وفرايت العقيق والفرايت المغزلي حيث تنشأ الخصائص المغناطيسية من التفاعلات بين الايونات المعدنية التي تحتل موقع معين بالنسبة الى ايونات الاوكسجين في التركيب البلوري للأوكسيد ويعدّ الفرايت المغزلي فئة مهمة من ضمن المواد المغناطيسية إذ يمتلك مزيجاً من الخصائص الكهربائية والمغناطيسية التي تجعل الفرايت مفيداً في العديد من التطبيقات التكنولوجية [4,3].

إن الصيغة العامة للفرايت المغزلي (MFe_2O_4) وأن M هو أحد العناصر الانتقالية الثانوية التكافؤ أو مكونة من خليط بينهما وهذه المواد هي ($Mg^{+2}, Co^{+2}, Cu^{+2}, Ni^{+2}, Fe^{+2}, Mn^{+2}, Cd^{+2}$) وتمتاز هذه الفراييات بامتلاكها مقاومة كهربائية (Resistivity) عالية تصل الى ($10^9 \Omega.cm$) ونفاذية مغناطيسية عالية كذلك تمتلك ثابت عزل (Dielectric Constant) يتراوح بين (Permeability) 10 - 15) وتتغير هذه الكميات تبعاً لتغير المجال المغناطيسي والمجال الكهربائي المسلط

عليها ، وتعد الفراييتات من المواد الفيرومغناطيسية Ferromagnetic [5] . إن المقاومة العالية التي تمتلكها الفراييتات تمكن الموجات الكهرومغناطيسية ذات الترددات العالية أن تنتقل خلال الاوساط الفراييتية بخسارة قليلة حيث يحدث التفاعل بين مركبة العزم المغناطيسي للمادة مع مركبة المجال المغناطيسي المسلط وبالإمكان ان نستدل على هذا التفاعل من خلال سلوك النفاذية المغناطيسية مع شدة المجال المغناطيسي الذي يسلط عند تردد الموجة المايكروية حيث يحصل عند ذلك امتصاص رئيسي واضح تقريبا خلال المادة الفراييتية عند تردد يتناسب مع الشدة للمجال المغناطيسي الذي تم تسليطه[6]. وتمتلك الفراييتات تراكيب بلورية بأشكال مختلفة وتكون على هيئه فراييتات مرنة (لينة) (Brittle) او (Soft) والفراييتات الصلبة (قاسية) (Hard)، إن الفراييتات المرنة هي اساس المواد المغناطيسية التي تستخدم في الاجهزه الكهربائيه ولها فوائد عديدة ، فهي تعمل ضمن مدى الترددات الواسعة وتمتلك مقاوميه كهربائيه عاليه استقراريه حراريه ، وكذلك الكلفة والخسائر القليله مقارنه بنفاذيتها المغناطيسية العاليه وانخفاض الكثافه [7] ، ووفقاً للخصائص المغناطيسية للفرايت فأن الفرايت المرن (Soft) يمتلك حلقة هسترة Hysteresis loop (ضيقه والتي تكون سهلة المغناطة وكذلك سهولة ازالة مغناطتها بعد زوال المؤثر وتستخدم لصنع المغناط الكهربائيه أما الفرايت الصلب (Hard) الذي تكون حلقة الهسترة لها كبيرة ويكون من الصعب إزالة المغناطة لهذه المواد ، ويحدث التمagnet عادة عند المنطقتين M, H كما موضح بالشكل كما بالشكل (1-1) [8].



الشكل (1-1) يوضح عملية حدوث التمagnet بين المنطقتين M, H [8].

Prepare Frites**(3-1) تحضير الفريتات :**

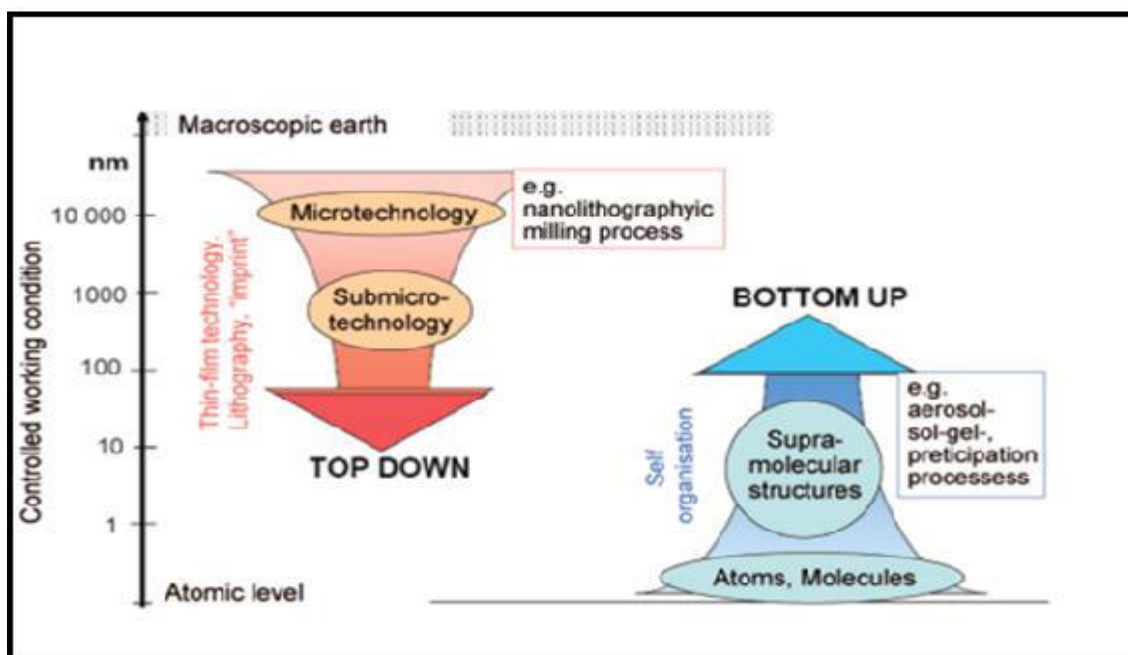
يتم تحضير الفريتات بطرق مختلفة منها الطريقة السيراميكية (Ceramic Method) ، وطريقة الاحتراق الذاتي (Sol-Gel Method) ، وطريقة الترسيب الكيميائي المشترك (Co-precipitation method) ، وهي الطريقة التي تم اعتمادها في الدراسة الحالية والتي سيتم التركيز عليها حيث تتم عملية التحضير على شكل مساحيق (powder) ثم يتم كبسها (pressing) وتلبيتها (Sintering) ، ومن ثم اجراء الفحوصات المطلوبة بحسب نوع الدراسة . وتعد الفريتات من المواد رخيصة الثمن وتعتمد خواصها على الحجم والشكل للحبوب النانوية وكذلك على طريقة التحضير بالإضافة الى درجة حرارة التلبيه وتعتمد كذلك على نوع وكمية العناصر المكونة للفريتات [9] ، ويتم السيطرة على خصائص الفريت النانوي المحضر عن طريق التحكم في إعادة توزيع أيونات المعادن وهذه هي المسؤولة في الاساس على سلوك الفريت المغناطيسي المحضر و يمكن الحصول على نوع من الفريت النانوي والمغناطيسي عن طريق الدقة والتحكم بالرقم الهيدروجيني pH وكذلك تركيز المكونات للمادة المحضرة ودرجة الحرارة المستخدمة بالتحضير، وكذلك على الطرق المستخدمة بالتحضير مع الاخذ بنظر الاعتبار المحافظة على قياس التراكيز للعناصر الكيميائية المستخدمة في تحضير الفريت [10] بسبب الخواص المميزة التي امتلكتها الفريتات فقد شاع استخدامها كبديل للعديد من المواد إذ تم استخدامها في صفائح قلوب المحولات الكهربائية (Transformers) والمغناط بالإضافة الى العديد من الاستخدامات التكنولوجيا والحيوية [11].

Nanotechnology**(4-1) النانو تكنولوجى**

تنتوء المواد النانوية من ناحية المصدر وتحتفل بأختلاف نسب المواد المكونة لها لأن تكون عضوية ، أو غير عضوية وان جميع انواع المواد الفلزية وسبائكها Metal and Metal Alloys اشباه minerals ، المعادن Minerals و كذلك البوليمرات Polymers تعدّ من المواد الاولية التي تعتمد عليها تكنولوجيا النانو وكذلك في تحضير المواد النانوية و تمنح للمادة الصفة النانوية اذا ما كان أحد أبعادها بعد واحد على الاقل ما دون 100 نانو متر [12] ، وفي العقدين الاخرين استحدثت مصطلحات جديدة في مقدمتها (النانو)، وأن هيكليّة النانو و تكنولوجيا النانو والمواد النانوية وكيمياء النانو جميعها تكرس سلسلة من المجالات الجديدة لهذا الموضوع على وجه الخصوص وقد ظهرت العديد من الدراسات التي تحمل أسماء مماثلة ، وقد تم انشاء معاهد متخصصة كما عقدت العديد من المؤتمرات في هذا المجال وتم تطبيق اسماء جديدة على جسيمات وظواهر معروفة من فترة طويلة ، ومع ذلك فإن هذه الجسيمات والظواهر تعذر على الباحثين الوصول اليها منذ حوالي 20 عام منها النقاط الكومومية والأنابيب النانوية والافلام النانوية والاسلاك النانوية اي

الأشياء التي ذات بعد نانوي واحد على الأقل يرجع الاهتمام المتزايد من الباحثين للأجسام النانوية إلى اكتشاف الخواص الفيزيائية والكيميائية غير الطبيعية لهذه الأجسام التي تتعلق بتجلي ما يسمى (بتأثيرات حجم الكم) والتي تنشأ في الحالة التي يكون فيها حجم النظام متوافقاً مع أطوال موجة دي برولي للإلكترونات والفونونات [8].

إن عملية الحصول على أحد أنواع التراكيب النانوية تبدأ أو لا بعمليات تحضير مختلفة وأن الخواص الفيزيائية والكيميائية للمواد الخام التي تدخل في تحضير المواد النانوية لها أثر مهم في الحصول على صفات مميزة ، وأن هذه الجسيمات عندما تصنع فإنها تكتسب خواص فريدة لا توجد في الجسم المحسوس على الرغم من تطابق التكوين الكيميائي للمادتين إلا أن المادة النانوية المتماهية بالصغر اكتسبت خواص كهربائية ومغناطيسية استثنائية ناتجة من الترتيب الجديد الذي امتلكته الذرات، وأن ما يتم بناءه لهذه الأجسام يخضع إلى تقنيتين في عملية التحضير إحداهما تبدأ من الأعلى إلى الأدنى (Top-Down) ، والتي يتم فيها الحصول على المادة النانوية وذلك بتكسير المادة الأصلية (الكبيرة) حتى يتم الوصول إلى الحجم النانوي المطلوب وتنتمي هذه الطريقة من خلال عمليات القطع أو الطحن، أو الحفر الضوئي، وهذه التقنية تدخل في التطبيقات الإلكترونية أما التقنية الأخرى فهي من الأسفل إلى الأعلى (Bottom-up) وهذه الطريقة هي عكس التقنية الأولى أي أن المادة النانوية تبني انطلاقاً من الذرات والجزيئات بشكل مرتب حتى يتم الحصول على الحجم النانوي المطلوب وهي تقنية كيميائية تتميز بصغر حجم المواد الناتجة والحصول على روابط قوية كما بالشكل (2-1)[12] .



الشكل (2-1) يوضح تقنيات تحضير الجسيمات النانوية [13] .

تعمل تأثيرات الحجم الكمي والمساحة السطحية الكبيرة للجزيئات النانوية على تغير الخصائص المغناطيسية بشكل كبير، وتشير ظواهر مغناطيسية فائقة وكمية من المغفطة لأن كل جسم يمكن اعتباره مجالاً مغناطيسياً منفرداً مما يجذب اهتماماً متزايداً في العلوم والتطبيقات التكنولوجية بسبب الخصائص الفريدة في الاتجاه الجديد لتقنية النانو، ويمكن أن يؤدي الاختلاف في حجم الجسيمات أيضاً إلى اختلاف الخواص للمادة الناتجة عن المواد الأصلية مع انخفاض حجم الجزيئات عن 100 نانومتر، إذ يوجد جزء كبير من الذرات المكونة على سطح بلورات النانو هذه الصفة تستحدث تغيرات كبيرة في التركيب المغناطيسي وخصائص المواد على نطاق النانو بالمقارنة مع نظيراتها وعلى وجه الخصوص يتم استبدال بنية جدار المجال التي تمت ملاحظتها في الفرايت البلوري ببنية مجال واحدة مميزة لكل جسم مما يؤدي إلى ظهور ظواهر جديدة مثل المغناطيسية الفائقة ، ومساهمات متباعدة للخواص والارتداد المغزلي .

في تقنية النانو تم تعريف الجسيمات النانوية (NPs) بأنها جسيمات صغيرة تتصرف كوحدة كاملة من حيث خصائصها ويمكن تصنيفها حسب حجمها واقطاراتها بشكل رئيسي إلى أنواع عديدة وامكانية استخدام هذه المواد ذات الاحجام المتناهية بالصغر في مجموعة واسعة من التطبيقات التكنولوجية الفائقة وهي ذات اهمية خاصة في البحث العلمي والتطبيقات الطبية [13,8] . للأكسيد ذات بنية السبيل (Spinel) دور حاسم في مجموعة المواد المغناطيسية وإن لهذه الجسيمات خصائص فيزيائية وكميائية متماثلة بالإضافة إلى ذلك تم تصنيع جسيمات نانوية مغناطيسية معدنية من الحديد والنikel والكوبالت غالباً ما يتم تجاهل عدم استقرارها الكيميائي للتطبيقات البيولوجية لأنها تتأكسد بسهولة بوجود الماء والأوكسجين لذلك يتم استخدام المواد البوليمرية لطلاء الجسيمات النانوية ، وفي العقود الماضية أجريت العديد من الدراسات في مجال المواد البلورية النانوية بسبب الخصائص الخاصة والتطبيقات المحتملة في الأجهزة الطبية المغناطيسية لقد تم استخدام الجسيمات النانوية في معظم التطبيقات الحديثة مع المواد المغناطيسية وأشباه الموصلات [14] .

تم استخدام الجسيمات النانوية في التطبيقات الطبية والحيوية وإن أصبحت الجسيمات النانوية منصة مفيدة خاصة للتطور الناجح في التطبيقات العلاجية والتشخيصية ومجال واسع النطاق في المجال الطبي الحيوي ونظراً لهذا التطور الهائل في هذا المجال من البحوث وفي جميع أنحاء العالم تمت صياغة مصطلح (الطب النانوي)[15] ، تعتبر الجسيمات النانوية (MNPs) هي فئة من الجسيمات التي يمكن معالجتها تحت تأثير مجال مغناطيسي خارجي حيث تتكون (MNPs) من عناصر مثل (الحديد Fe و الكوبالت Co والنikel Ni و الأكسيدات) وأصبحت الجسيمات النانوية المغناطيسية (NPs) تستخدم في العديد من التطبيقات الطبية منها التصوير بالرنين المغناطيسي (MRI) كذلك لتشخيص العديد من الأمراض

السائدة كالسرطان وغيرها تم استخدام الجسيمات النانوية المغناطيسية في تتبع الخلايا وتوصيل العقاقير للمنطقة المستهدفة بالبحث المغناطيسي والتلخين الحراري [16] .

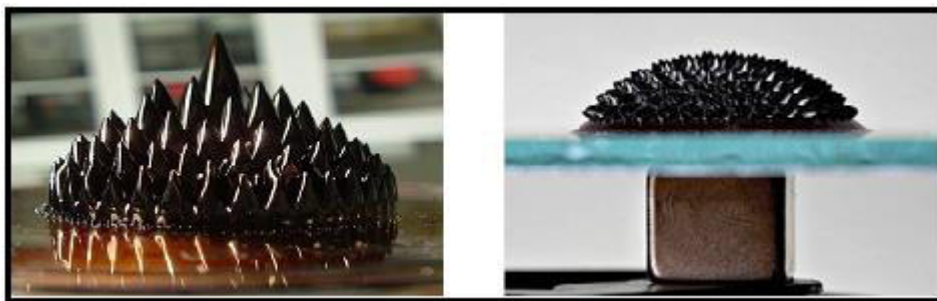
Nano Ferrites and Their Applications 5-1) (الفراءت النانوي وتطبيقاته)

عادة ما يتم تعريف الجسيمات النانوية بأنها مواد صلبة تمتلك خصائص فريدة ومميزة جعلتها تدخل في مجالات واسعة ومتتابعة هذا التطور للجسيمات بحجم النانومتر أصبح مكثف من خلال حقيقة هي ان الجسيمات ذات المساحة الحجمية الواسعة مقارنة بالحجم الصغير هذه الصفة بدورها تعطي خصائص فيزيائية متميزة تدخل في تطبيقات مهمة [17]، يمكن استخدام الفرائت عند الترددات العالية الى حد كبير لانه مادة مغناطيسية لها العديد من التطبيقات في الاجهزه ذات الترددات العالية والواطئه وكذلك لامتيازها بالصلادة الميكانيكية وارتفاع درجة حرارة كبوري (T_C) وكذلك الاستقرار الكيميائي[18].

اعتمادا على نوع التطبيق يتم استخدام الجسيمات النانوية المغناطيسية وهي ذات انواع مختلفة منها الجسيمات ذات الوظائف السطحية التي تستخدم في التطبيقات الطبية والحيوية وكذلك جسيمات تستخدم لتخزين الطاقة كما في الاجهزه الالكترونية ومنها مساحيق مضغوطة لتصنيع مغناطيس دائم وكذلك تصنيع محاليل الموائع الحديدية الممغنطة [20,19].

Ferrofluid 1-5-1) (الموائع الممagnetة

محلول خاص بالجسيمات المغناطيسية النانوية في نظام معلق يمكن التحكم في تدفقه بالمغناطيس والمجالات المغناطيسية ان حجم الجسيمات النموذجي هو 10 نانو متر يمكن استخدام مجموعة متنوعة من المواد ($Fe_3O_4-Ni-Fe-Co-Mg$) للحصول على السوائل المغناطيسية او الفيروفلوريدات كما يمكن من خلال اكساء الجزيئات المغناطيسية بواسطة عامل منشط للسطح ويمكن تشتتها بشكل مستقل بالسائل كما بالشكل (3-1)[21].



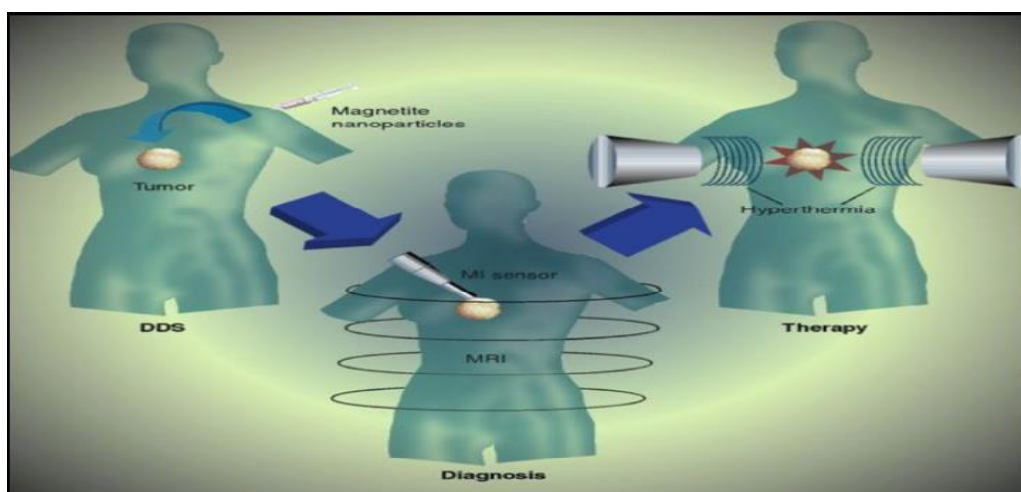
الشكل (3-1) المائع النانوي المغناطيسي ينجذب للمجال المغناطيسي .

الفلوريدات تتجذب الى المجال المغناطيسي وتعتمد معظم المواقع الحديدية على الهيدروكربونات أو على السوائل العضوية الاخرى ، إذ يعتمد السائل المغناطيسي على نوع من انواع المحاليل له سلوك يمكن التحكم فيه عن طريق تغيرات في المجال المغناطيسي بالإضافة الى خصائص كل من المادة المغناطيسية والمائع المغناطيسي [22]. إن الفلوريدات المستخدمة في المجال الطبي الحيوي وفي التطبيقات البيولوجية اكتسبت الكثير من الاهتمام في الايام الاخيرة حيث امتلكت الفلوريدات خاصية امتصاص الطاقة الكهرومغناطيسية بتردد مختلف عن التردد الذي يمتص فيه الماء الطاقة وبهذا يسمح للجسم بتسخين جزء موضعي من الجسم الحي، كما تم ادخال الفلوريدات في تصنيع معدات الطاقة الكهربائية وفي تطبيقات المحولات المملوءة بالسوائل حيث اثبتت الفلوريدات انها توفر فوائد حرارية وعزلة للكهرباء كما امكن استخدام الفلوريدات لتحسين التبريد من خلال تعزيز استخدام المواقع داخل ملف المحولات [23].

Biomedical Application

(2-5-1) التطبيق الطبي الحيوي

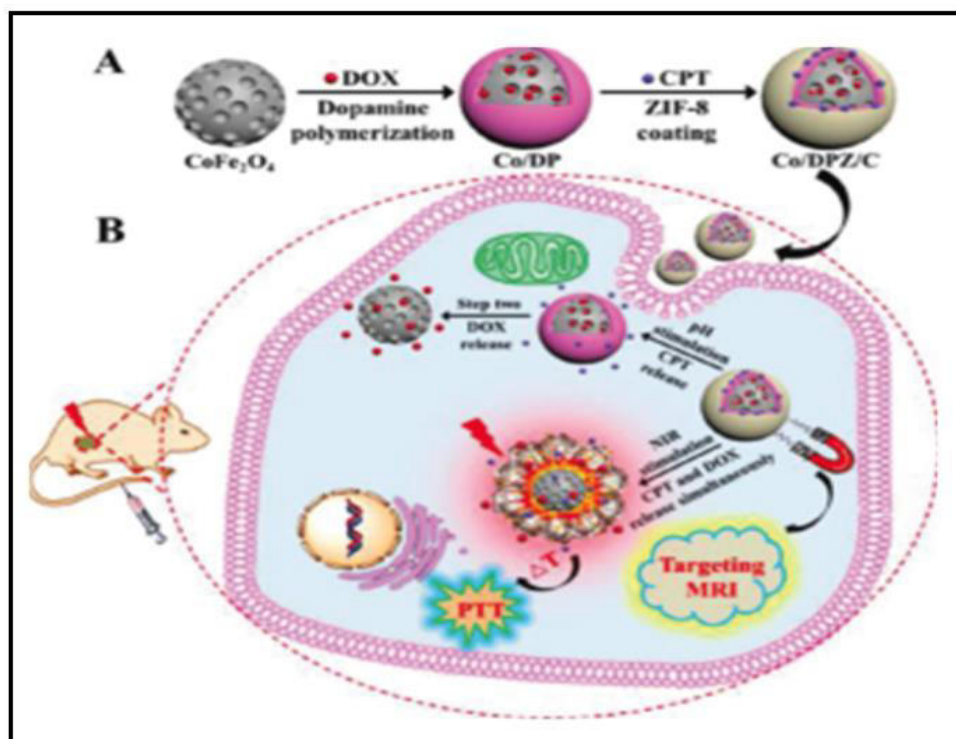
استخدمت الجسيمات النانوية المغناطيسية في الطب الحيوي لامتلاكها صفات اهمها الحجم الذي يمكنها من امكانية التنقل داخل جسم الكائن الحي من دون أن تحدث تغيرات او تعطيل للوظائف الطبيعية، ومكنتها من الوصول الى مناطق صعب الوصول اليها من خلال وسائل اخرى[24]، ويمكن أن تكون للجسيمات النانوية صفة الحجم من بضع نانو مترات الى عشرات النانو مترات او اصغر من احجام الخلية الذي يتراوح من 10-100 ميكرومتر هذه الصفة مكنتها من الوصول الى الخلية او الجين كما يمكن تغليفها مع *biomolecules* و يجعلها تتفاعل او ترتبط مع كيان حيوي، كما في الشكل (4-1) يمكن استخدام الجسيمات النانوية المغناطيسية لتشخيص السرطان او تسليم حزمة من دواء مخصص لمنطقة مستهدفة من الجسم مثل الاورام [26,25].



الشكل (4-1) تقييمات استخدام الجسيمات النانوية في الطب الحيوي [27].

يجب أن تمتلك الجسيمات النانوية المستخدمة في الطب الحيوي اتزاناً حرارياً جيداً، وخاصية مغناطيسية مميزة ، وتوافقاً حيوياً وأن تكون قادرة على تشكيل تشتيت مستقر كما يمكنها من أن تنتقل الجزيئات في النظام المستهدف وكذلك الاستجابة بشكل جيد للمجالات المغناطيسية المتباينة (AC)، لقد دخلت الجسيمات النانوية المغناطيسية في تطبيقات للطب الحيوي مثل تسليم الدواء للمنطقة المستهدفة والعلاج بارتفاع درجة الحرارة للخلية والتصوير بالرنين المغناطيسي [22].

لقد استخدمت عناصر الكوبالت والنيكل في إنتاج جسيمات نانوية تدخل في التطبيقات الطبية والحيوية وأظهرت أداءً عالياً في تطبيق ارتفاع درجات الحرارة وللسسيطرة على سمية هذه المواد في بعض التطبيقات يتم طلائهما بطلاءات مناسبة عند استخدامها في الجسم الحي وتم ملاحظة أن حقن الجسيمات النانوية المغناطيسية (MNP_S) في الجسم الحي فإن الجسم يبدي نظاماً دفاعياً رئيسياً يعرف باسم الشبكة البطانية الذي بدوره يلغى أي مفعول لمادة غريبة تسربت إلى مجرى الدم وفي عملية الكشف هذه تتعرض الجسيمات النانوية (MNP_S) إلى هجوم بواسطة بروتينات البلازمما والتي يتم إرسالها من قبل الشبكة البطانية التي تكون المسؤولة عن إزالة تأثير (MNP_S) وبذلك فإن الطلاءات التي تستخدم لطلاء الجسيمات النانوية تمنع امتصاص البروتينات وبالتالي تعمل على إطالة زمن دورة الجسيمات النانوية في مجرى الدم والتي تمكّنها من إكمال عملية إيصال الدواء والوصول إلى النسيج المستهدف ، الشكل (5-1) أدناه يبيّن استخدام الجسيمات النانوية في التطبيقات الطبية [28].



الشكل (5-1) يبيّن استخدام الجسيمات النانوية في الطب الحيوي [29].

Previous Studies

(6-1) الدراسات السابقة

درس الباحث (Omprakash Suwalka) وجماعته سنة 2007 ، تحضير ودراسة الخواص التركيبية للمركب $Ni_{0.25}Co_{0.25}ZnFe_2O_4$ بطريقة الترسيب الكيميائي المشترك ، إذ تم دراسة الخواص التركيبية للجسيمات النانوية من خلال فحوصات طيف حيود الاشعة السينية XRD وأظهرت أن جميع العينات لها طور واحد هو الطور المغزلي ومن دراسة الخواص المغناطيسية وجد أن هناك علاقة عكسية بين درجة الحرارة والتوزيع الالكتروني وان هناك نقصاناً في قيمة تمغنت الاشباع مع زيادة درجة الحرارة كذلك اثبتت الفحوصات أن الحجم الحبيبي يزداد مع زيادة درجات الحرارة [30] .

درس الباحث (Lan, N.T., Hien) وجماعته سنة 2008 ، الخواص التركيبية والمغناطيسية للمركب $Mn_{1-x}Zn_xFe_2O_4$ بطريقة الترسيب الكيميائي المشترك ، وتم دراسة الخواص التركيبية والمغناطيسية للعينات المحضرة بتراكيز ($x=0-0.7$) ، وأظهرت فحوصات طيف حيود الاشعة السينية XRD أن هناك تأثير على الحجم الحبيبي مع زيادة تركيز الزنك وأن العينات ذات ابعاد نانوية تتراوح بين (8.9-18.5 نانو متر) ، وتمتلك الطور المغزلي و أظهرت الفحوصات المغناطيسية حلقات الهاسترة للمواد من نوع super paramagnetic وان مغنة التشبع تتأثر بزيادة تركيز الزنك عند درجة حرارة الغرفة [31] .

درس الباحث (حسام غانم حسيب قحطان وجماعته) سنة 2009 ، تأثير درجة حرارة التلبيد على الخصائص المغناطيسية للمركب $Ni_xZn_{1-x}Fe_2O_4$ ، تم تحضير المركب نيكل - زنك فرايت لقيم ($x=0.4-0.6$) بطريقة تفاعلات الحالة الصلبة، وقد تم دراسة الخواص المغناطيسية للمركب حيث اظهرت الفحوصات المغناطيسية إن قيم التخلفية المغناطيسية (B_r) والمجال (H_c) واقصى مغناطيسية (B_{max}) تتغير تبعاً لقيم درجة الحرارة والزمن عند التحضير مع تغيير التردد ، حيث كانت انساب درجة حرارة $1400^{\circ}C$ ولمدة 2 ساعة وان افضل نسبة كانت عند ($x=0.4$) وان القيم المغناطيسية ($B_{max}-H_c-B_r$) عند القيمة $x=0.4$ كانت على التوالي ($0.169 T-16.8 A/m-0.079 T$) ، اما عند التراكيز $x=0.6$ ، فكانت القيم على التوالي ($0.193T-5.1A/m-0.055T$) ، كما لوحظ ان قيم المتغيرات تتغير تبعاً للتغير التردد عند المدى (50-30 HZ) ولكل التراكيزين وكان هناك تأثير واضح لتركيز العناصر المتفاعلة على مواصفات العينة [32] .

درس الباحث (Kandasamy Velmurugana وجماعته) سنة 2010 ، تحضير فيرایتات نيكل زنك النانوية بواسطة تقنية الترسيب الكيميائي المشترك ، حيث حضرت عينات فرايت نيكل زنك بتراكيز ما بين ($x=0-1$) ، وتم دراسة الخواص التركيبية لهذه العينات حيث كشفت فحوصات طيف حيود

الأشعة السينية XRD ، ان الحجم الحبيبي يتراوح ما بين (6-8 نانو متر) ، وان جميع العينات تمتلك الطور المكعب المغزلي ومن دراسة الخواص المغناطيسية وجد ان تمغنت الاشباع يقل مع زيادة تركيز الزنك عند قيمة $pH=12$ عند درجة حرارة ($85^{\circ}C$) ، وان منحني الهاسترة يظهر انخفاضا مع تركيز الزنك كما اجريت فحوصات FTIR فوجد ان حزم الامتصاص تتراوح ما بين (4000 cm^{-1} - 400 cm^{-1}) [33].

درس الباحث (S. Manouchehri) وجماعته سنة 2010 ، تحضير جسيمات نانوية مغناطيسية من المركب $\text{Co}_{0.5}\text{Zn}_{0.5}\text{Fe}_2\text{O}_4$ بطريقة الترسيب الكيميائي المشترك ، تم تصنيع الجسيمات النانوية لفريت الكوبالت زنك في محلول متجانس عند درجة حرارة الغرفة حيث اظهرت فحوصات طيف حيود الاشعة السينية XRD ، إن العينات تمتلك الطور الاحادي البلوري وقد اظهرت فحوصات TEM المجهر الالكتروني الضوئي أن الجسيمات المحضرة ذات شكل كروي يتراوح حجمها بين (8-6nm) ،اما الفحوصات المغناطيسية فأظهرت ان الجسيمات النانوية ذات خواص فائقة التوصيل وبينت فحوصات FTIR ان الامتصاصية للجسيمات تتراوح ($4000 - 400 \text{ cm}^{-1}$) [34] .

درس الباحث (M.S. Khandekar) وجماعته سنة 2011 ، تأثير درجة الحرارة على الخواص التركيبة والكهربائية على فريت كوبالت ، تم تحضير العينات بدرجات حرارة (700-800-900) على التوالي ، وأجريت الفحوصات التركيبية للعينات من خلال طيف حيود الاشعة السينية (XRD) ، اظهرت النتائج أن حجم الجسيمات يزداد مع زيادة درجة الحرارة ومن فحوصات طيف الاشعة تحت الحمراء FTIR فان الجسيمات تظهر الطور رباعي السطوح وثماني السطوح اما الفحوصات الكهربائية فأظهرت ان الجسيمات تمتلك خواص أشباه الموصلات وأن قيمة ثابت العزل تزداد مع زيادة درجات الحرارة وان الموصلية ضمن المدى (1MHZ – 20 HZ) تزداد مع زيادة درجات الحرارة [35].

درس الباحث (A. T. Pathan) وجماعته سنة 2012 ، تحضير ودراسة الخصائص التركيبية للكوبالت باستبدال Li-Zn-Ni-Li ، اذ تم تحضير المركب حسب الصيغة $\text{Li}_{0.5}\text{Ni}_{0.15}\text{Co}_{0.1}\text{Zn}_{0.5}\text{Fe}_2\text{O}_4$ وباستخدام طريقة الاحتراق الذاتي حيث تم دراسة الخواص التركيبية من خلال فحص طيف حيود الاشعة السينية XRD ، ان قيمة ثابت الشبيكة (8.376 \AA) وان الشكل البلوري من نوع FCC أما فحوصات المجهر الالكتروني الماسح (SEM) ، فأظهرت ان العينات تشكل حبيبات نانوية وتم قياس الحجم الحبيبي من خلال استخدام معادلة شيرر [36].

درس الباحث (Khorrami S. Abedini) وجماعته سنة 2012 ، تأثير pH على الخواص الهيكيلية والمورفولوجيا للمركب CoFe_2O_4 ، تم تحضير الجسيمات النانوية بطريقة Sol gel باستخدام الوسائل الاشعاعية للموجات فوق صوتية ، حيث اثبتت الدراسة ان الجسيمات المكونة هي بلورات نانوية من

ذات القابلية على تشتت عالي وتكلل منخفض ومن اجراء قياسات طيف حيود الاشعة السينية $\text{Co Fe}_2\text{O}_4$ اظهرت ان حجم الجسيمات النانوية يتراوح (39-12nm) ، تميزت جسيمات فرایت الكوبالت بانها ذات مغناطيسية تشع قصوى تبلغ (44.02 emu/g) والنسبة المولية (1:1) لكل من Co^{+2} , Fe^{+3} عند درجات حرارة لклسنة المسحوق المحضر (750°C) لمدة اربع ساعات وتشير هذه الطريقة الى امكانية الحصول على جسيمات نانوية عالية الجودة [37].

درس الباحث (R. Lotfi) وجماعته سنة 2012 ،تأثير درجة الحرارة على تحضير فرایت الكوبالت المستبدل بالنikel بطريقة الترسيب الكيميائي المشترك) حيث تمت عملية تحضير الجسيمات النانوية ودراسة تأثير درجة الحرارة على احجام الجسيمات من خلال تعريضها الى درجات حرارة بحدود ($900-600^{\circ}\text{C}$) تمت دراسة الخواص التركيبية للجسيمات من خلال فحص حيود الاشعة السينية XRD والتي اظهرت ان حجم الجسيمات يتراوح من (38-22 nm) ومن قياسات SEM تم تحديد بنية التشكيل وان للسطح دور مهم في مرحلة التشكيل للجسيمات ، واظهرت تكون طور مكعب بلوري واحد عند الرقم الهيدروجيني $\text{pH}=11$ [38].

درس الباحث (A. Doaga) وجماعته سنة 2013 ،الجسيمات النانوية في التطبيقات الطبية حيث تم تحضير الجسيمات النانوية المغناطيسية للمركب $\text{Zn}_x\text{Co}_{1-x}\text{Fe}_2\text{O}_4$ لقيم $X=0-1$ بطريقة الترسيب الكيميائي المشترك حيث تم قياس حجم الجسيمات المحضرة بواسطة قياسات حيود الاشعة السينية وتم اجراء فحص المجهر الالكتروني للعينات حيث اظهر ان الجسيمات تمتلك الشكل الكروي كما تم اجراء فحص SAR ولترددات مختلفة حيث لوحظ ان القيمة SAR تعتمد على الصيغة الكيميائية للمركب بالإضافة الى قيمة التردد المسلط على الجسيمات ونظرا للخصائص الفريدة التي تميزت بها الجسيمات النانوية المحضرة تم استخدامها في التطبيقات الطبية اهمها تسخين الخلايا السرطانية وكذلك في جهاز التصوير بالرنين المغناطيسي MRI وفي عملية ايصال الدواء وذلك من خلال تطبيق مجال مغناطيسي خارجي على الجسيمات [39].

درس الباحث (Poh Lin Leng) وجماعته سنة 2013 ،دراسة الخواص التركيبية لفرایت نيكل زنك للمركب $\text{Ni}_{0.25}\text{Zn}_{0.75}\text{Fe}_2\text{O}_4$ حيث تم تحضير العينات باستخدام النترات المعدنية مع استخدام الماء المقطر كمذيب عند درجة حرارة التجفيف (335°C) ولمدة ساعة ثم بعدها يتم سحق المسحوق قبل الكلسنة ولازلة المواد العضوية وتبلور الجسيمات تمت المعالجة الحرارية بدرجة حرارة (723 K) ، تم اجراء الفحوصات التركيبية باستخدام طيف حيود الاشعة السينية XRD حيث كانت حجم الجسيمات (25- 7 nm) وتزداد مع زيادة درجة حرارة الكلسنة كما اظهرت الفحوصات المغناطيسية ان الجسيمات تمتلك التشعيع المغناطيسي [40].

درس الباحث (S. S. Yattinahalli) وجماعته سنة 2014 ، الخصائص التركيبية للمركب $\text{Ni Fe}_2\text{O}_4$ المحضر بطريقة الترسيب الكيميائي ، اظهرت قياسات طيف حيود الاشعة السينية XRD ان الجسيمات تمتلك هيكل السبينل المكعب كما تم قياس حجم الجسيمات النانوية ($44-62 \text{ nm}$) وان ثابت الشبكة ($a_0=8341\text{\AA}$) كما اظهرت الفحوصات الميكانيكية ان الجسيمات تمتلك مرحلة واحدة من التشكيل هي الطور المكعب لفرايت النيكل [41].

درس الباحث (Rajinder Kumar) وجماعته سنة 2014 ، تحضير الجسيمات للمركب $\text{Ni}_{0.6-x}\text{Zn}_{0.4}\text{Co}_x\text{Fe}_2\text{O}_4$ باستخدام الماء المقطر مذيباً عضوياً لإتمام الاذابة 99% وإتمام التجانس لتحضير المركب بطريقة (Gol-Sol) ، حيث ان قيمة ($x=0-1$) وبمدة التحرير لمدة 30 دقيقة بعد اضافة حامض النتریک للوصول الى قيمة ($\text{pH}=7$) كما اتمت عملية الكلاستة بدرجة حرارة(700°C) وتم قياس حجم الجسيمات النانوية باستخدام طيف حيود الاشعة السينية XRD وكانت تتراوح ($23-24\text{nm}$) اذ تفاص اعلى قيمة ذروة عند 311 وان خصائص الفرايت تعتمد بشدة كبيرة على الترتيب الكيميائي وان الفرايت المحضر نوع الفرايت المعكوس [42].

درس الباحث (Kaliyamoorthy Venkatesan) سنة 2015، دراسة الخصائص المغناطيسية والتركيبية لاكسيد الحديد المحضر بطريقة الاحتراق التلقائي ، تم تحضير جسيمات اكسيد الحديد المشوبية بالكوبالت بتقنية الاحتراق للمحاليل ، وتم دراسة الخواص التركيبية و المغناطيسية للعينات المحضرة وحساب متوسط الحجم البلوري للمركب CoFe_2O_4 وكان الحجم البلوري يتراوح($16-5 \text{ nm}$) اما نتائج الفحوصات المغناطيسية فأن لها قيمة تشبع عالي مما جعل استخدام الجسيمات المحضرة في التطبيق الطبيعي، حيث اظهرت العينات نشاط مضاد للميكروبات و عامل مضاد للبكتيريا كما اجريت دراسات السمية الخلوية للجسيمات النانوية المحضرة بتراكيز مختلفة [43].

درس الباحث (Ahmed etal) سنة 2015 ، دراسة الخصائص التركيبية للمركب $\text{Mg}_{1-x}\text{Zn}_x\text{Fe}_2\text{O}_4$ بطريقه Co- Precipitation على التوالي حيث تم دراسة الخواص التركيبية للجسيمات المحضرة من خلال حيود الاشعة السينية باستخدام البطاقة $\text{Fd}3\text{m}$ حيث اظهرت الفحوصات ان التركيب من السبينل (Spinel) النانوي وان الحجم البلوري يتراوح بين ($21-42\text{nm}$)، و أظهرت متغيرات ثابت الشبكة البلورية تزداد بزيادة تركيز الزنك التي يكون قيمة نصف القطر الايوني لها اكبر من الزنك الثنائي Zn ، اما نتائج FTIR فأظهرت حزم امتصاصية للأعداد الموجية ($3245, 1644, 1404, 1146, 612$) [44].

درس الباحث (Z. Ding) سنة 2015 ، تحضير الجسيمات النانوية المتبلوة للمركب

$\text{Co}_{0.6}\text{Zn}_{0.4}\text{Fe}_2\text{O}_4$ باستخدام طريقة الاحتراق الذاتي استخدام مادتين مختلفتين ($\text{NaOH}, \text{NaBH}_4$) مع استخدام عملية الخلط المغناطيسي ، وتم دراسة الخواص التركيبية من خلال قياسات طيف حيود الاشعة السينية حيث اظهرت ان استبدال المادتين يؤثر على الحجم البلوري للجسيمات الفراتيتية النانوية المحضرة. [45].

درس الباحث (Tejabhiram Yadavalli) وجماعته سنة 2016 ، تحضير الجسيمات النانوية لفرايت كوبالت زنك بطريقة الترسيب الكيميائي المشترك باستخدام درجات حرارة منخفضة وذلك لضمان الحصول على جسيمات نانوية باحجام صغيرة باستخدام كبريتات الحديد ، اظهرت الفحوصات المغناطييسية لفرايت الكوبالت فرايت النانوي انخفاض تمغنت الاشباع واعداد الجسيمات النانوية بدرجات الحرارة من ($50 - 600^\circ\text{C}$) ومقارنة حجم الجسيمات الناتجة عند اختلاف درجات الحرارة [46].

درس الباحث (تحسين حسين مبارك وجماعته) سنة 2017 ، دراسة الخصائص العزلية لغشاء متراكب $\text{CoFe}_2\text{O}_4\text{PVA}$ ، إذ تم تحضير الاغشية المتراكبة من مسحوق زنك الكوبالت وبولي فنيل الكحول باستخدام طريقة الصب والنسبة الوزنية من مسحوق الفرايت المضافة الى البوليمر بينما تم تحضير مسحوق فرايت الكوبالت باستخدام طريقة السول جل والاحتراق الذاتي حيث تم اجراء فحوصات حيود الاشعة السينية XRD للمسحوق وأظهر تشكل الطور الفرايت المغزلي ، ومن دراسة الخواص الكهربائية والعزلية باستخدام جهاز (LCR meter) وجد ان ثابت العزل ومعامل فقد العزل يقل مع زيادة التردد للمجال الكهربائي المسلط [47].

درس الباحث (Hussein A. Dawoud) وجماعته سنة 2017 ، الخصائص الكهربائية والعزلية والكهربائية لفرايت النikel ودراسة تأثير التلبيد ، حيث تم تحضير الفرايت متعدد التبلور $\text{Zn}_{1-x}\text{Ni}_x\text{Fe}_2\text{O}_4$ باستخدام تقنية التلبيد مع استخدام خلط متجانس لاكسيد الزنك ZnO اكسيد النikel NiO مع Fe_2O_4 بتراكيز مختلفة وتم قياس التوصيلية AC وثبت العزل الكهربائي الحقيقي والخيالي وثبت العزل المعد وظل فقد ضمن تردد زاوي متغير (rad.s^{-1}) 6-628 وعند درجة حرارة الغرفة ، وأظهرت انخفاضاً بالتوصيلية الكهربائية مع زيادة التردد مما يدل على السلوك الطبيعي لفرايت السبيل ، وقد تم استخدام جسيمات الفرايت السبيل الناعمة المحضرة في العديد من التطبيقات العلمية والتكنولوجية [48].

درس الباحث (Md. Amir) وجماعته سنة 2018 ، تأثير درجة حرارة التلبيد على خصائص الجسيمات النانوية المغناطيسية $\text{Zn Fe}_2\text{O}_4$ المحضرة بطريقة Sol-gel ، وتم في هذه الدراسة تحضير جسيمات نانوية مغناطيسية عند درجات حرارة تلبيد مختلفة ($1100-900-100^\circ\text{C}$) وتم دراسة خصائص المواد مع تغيير درجات الحرارة حيث اظهرت الفياسات التركيبية التباين عند درجات الحرارة

المختلفة وان الحجم الحبيبي للجسيمات قد ازداد من (49.28 - 38.60 nm) مع زيادة درجة الحرارة كما اظهرت القياسات المغناطيسية تحسن منطقة التشعّب في NPs من (1.28 emu/g) الى (1.66) مع ارتفاع درجات الحرارة للتلبيـد اما فحوصـات FTIR اـظهرت قـيم الامتصاص (440- 550 cm⁻¹) [49].

درس الباحث (Sadaf Bashir Khan) وجماـعـته سـنة 2019 ، تأثير الزنك المشوب بالنـيكـل على تحضـير فـراـيتـ الـنـيـكـل $Ni_{1-x}Zn_xFe_2O_4$ المحـضـرةـ بـطـرـيـقـةـ التـرسـيبـ المشـترـكـ حيثـ عـنـدـ قـيمـ (x=0-1)ـ عـلـىـ التـوـالـيـ وـتـمـ درـاسـةـ الخـواـصـ التـرـكـيـبـيـةـ لـلـجـسـيـمـاتـ المـحـضـرـةـ إـذـ أـظـهـرـتـ فـحـوصـاتـ طـيـفـ حـيـودـ الـأشـعـةـ السـيـنـيـةـ XRDـ بـعـدـ معـالـمـةـ حرـارـيـةـ (800 °C)ـ لـمـدـدـ 12ـ سـاعـةـ انـ العـيـنـاتـ مـنـ نـوـعـ السـبـنـلـ المـكـعـبـ وـتـمـ حـسـابـ ثـابـتـ الشـبـيـكـةـ a_0 ـ ،ـ حـيـثـ انـ ثـابـتـ الشـبـيـكـةـ يـتـغـيـرـ مـعـ زـيـادـةـ تـرـكـيزـ الزـنـكـ بـيـنـماـ كـانـتـ قـيمـ الـحـجـمـ الـحـبـيـبـ تـزـدـادـ وـتـرـوـاـحـ (20- 60 nm)ـ اـماـ فـحـوصـاتـ FTIRـ فـأـظـهـرـتـ قـيمـ الـامـتـصـاصـيـةـ عـنـدـ المـوـاقـعـ (300- 1000 cm⁻¹)ـ .ـ [50]ـ .ـ

(7-1) هـدـفـ الـدـرـاسـةـ

تـهـدـفـ الـدـرـاسـةـ الـحـالـيـةـ إـلـىـ :

1. تحـضـيرـ جـسـيـمـاتـ نـانـوـيـةـ مـغـنـاطـيـسـيـةـ مـنـ فـرـايـتـ كـوـبـلـتـ زـنـكـ $Co_{1-x}Zn_xFe_2O_4$ ـ وـفـرـايـتـ نـيـكـلـ زـنـكـ $Ni_{1-x}Zn_xFe_2O_4$ ـ لـقـيمـ (x=0,0.1,0.3,0.5,0.7,0.9)ـ بـطـرـيـقـةـ التـرسـيبـ الكـيـمـيـائـيـ المشـترـكـ Co-Precipitation Methodـ .ـ
2. درـاسـةـ الخـواـصـ التـرـكـيـبـيـةـ XRDـ ،ـ FE-SEMـ وـحـسـابـ الـكـثـافـةـ الـظـاهـرـيـةـ وـالـكـثـافـةـ النـظـريـةـ وـالـمـسـامـيـةـ كـمـاـ تـمـ درـاسـةـ الخـواـصـ الـكـهـرـبـائـيـةـ LCR meterـ وـالـخـواـصـ المـغـنـاطـيـسـيـةـ VSMـ لـلـجـسـيـمـاتـ المـحـضـرـةـ .ـ
3. اختيار افضل النماذج من الجسيمات النانوية المغناطيسية المحضـرةـ اـعـتمـادـاـ عـلـىـ خـصـائـصـهاـ المـغـنـاطـيـسـيـةـ وـالـتـرـكـيـبـيـةـ وـالـكـهـرـبـائـيـةـ ،ـ وـالـمـنـاسـبـةـ لـاستـخـدـامـهـاـ فـيـ التـطـبـيقـاتـ الطـبـيـةـ مـنـ خـلـالـ اـسـتـخـدـامـهـ مـادـةـ لـلتـلوـينـ الـانـسـجـةـ وـوـسـطـ تـبـاـيـنـ Contrast Mediumـ فـيـ صـورـ جـهـازـ الرـنـينـ المـغـنـاطـيـسـيـ MRIـ وـتـقـليـصـ الفـتـرـةـ الزـمـنـيـةـ بـيـنـ فـتـرـةـ الـحـقـنـ وـالـفـحـصـ .ـ
4. تحـويلـ المسـاحـيقـ الـفـرـايـتـيـةـ لـلـنـمـاذـجـ الـتـيـ تمـ اـخـتـيـارـهـاـ إـلـىـ مـائـعـ نـانـوـيـ مـغـنـاطـيـسـيـ (Ferro Fluid)ـ .ـ

الفصل الثاني

الجزء النظري

Introduction**(1-2) المقدمة**

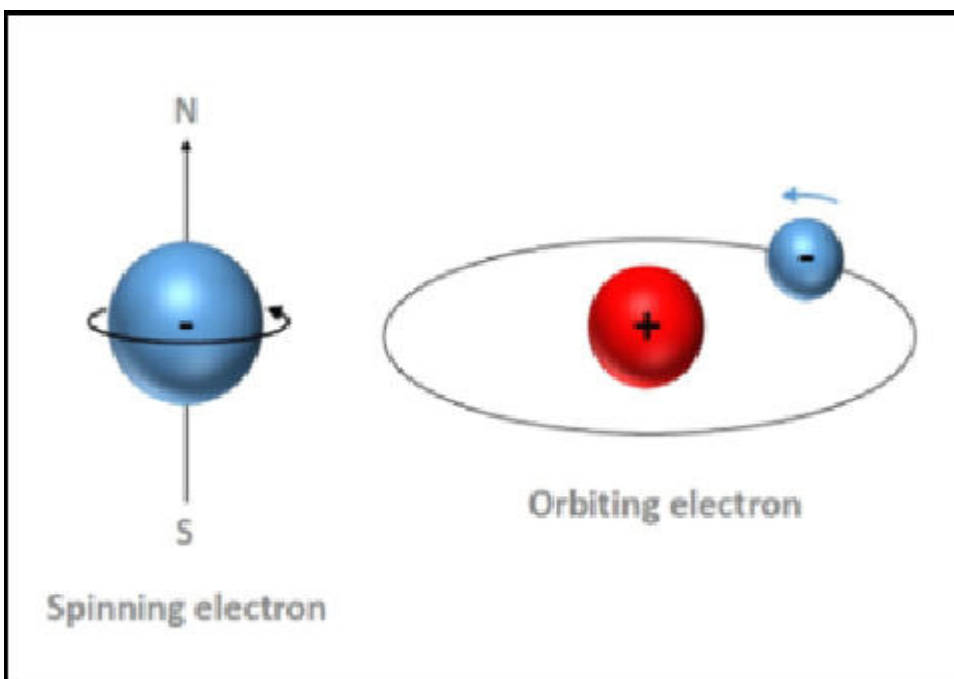
عمل الباحثون دائماً على تطوير المواد للتطبيقات المحتمل دخولها في مجالات مختلفة وأن استخدام العديد من هذه المواد مثل السبائك والمعادن والسيراميك والزجاج واسباب الموصفات جميعها تحدث تغيرات ملحوظة بالخصائص ، لكن بالرغم من وجود هذه المواد بدأ البحث عن مواد جديدة ذات خصائص جيدة، اي تحضير ودراسة مواد تدخل في علم منفصل ذو معنى تكنولوجي وعملي (تكنولوجيا النانو) ، بدا هذا العلم ينمو بشكل كبير في السنوات القليلة الماضية وقد تحققت مجالات واسعة للباحثين في جميع انحاء العالم هناك العديد من العوامل مثل التركيب الكيميائي وحجم الجسيم شكله ونوع العيوب في الشبكة البلورية والتشكل في الجسيمات النانوية ، وتغير بعض المعلومات مثل البعد والتكون امكن على الباحثين تصميم الخصائص المغناطيسية والكهربائية للمواد القائمة عليها بالرغم من ذلك لا يمكن دائماً التحكم في هذه العوامل اثناء اعداد الجسيمات النانوية لذلك يظهر اختلاف في الخصائص للجسيمات النانوية المغناطيسية المترکونة من نفس النوع وبشكل واضح [51].

(2-2) اسasيات المغناطيسية والممواد المغناطيسية**Fundamentals of Magnetism and Magnetic Materials**

للمغناطيس أثر مهم في الحياة المعاصرة وان هناك العديد من الاجهزه التي تعمل على اساس المغناطيسية بالإضافة الى العديد من الظواهر التي تعمل على مفهوم المغناطة الانية او ثنائيات الاقطاب المغناطيسية وقد جاء الفهم الحقيقي لأصل المغناطيس مع ميكانيك الكم وهناك كميات هائلة من البيانات المتعلقة بالخصوصيات المغناطيسية للمواد التي تم تصنيفها وفق مراقبة استجابة كل مادة للمغناطيس [52].

The Source of Magnetism**(1-2-2) مصدر المغناطيسية**

تعرف اصل المكونات المغناطيسية باسم ثنائيات الاقطاب المغناطيسية وينتج المغناطيس اساساً من حركتين الكترونيتين مرتبتيين بالذرة الحركة المدارية للإلكترون والحركة الدورانية حيث يمكن معاملة التيارات الصغيرة الناتجة عن هذه الحركات انها ثنائيات اقطاب مغناطيسية وعادة ما يقوم احداهما بإلغاء الاخر بسبب الاتجاه العشوائي للذرات وعند تسلیط مجال مغناطيسي خارجي على هذه الاقطاب المغناطيسية تصبح المادة مستقطبة مغناطيسياً كما بالشكل (1-2) [53].



. الشكل (1-2) نموذج لحركة الالكترون حول النواة [54]

(2-2-2) المجال المغناطيسي والتأثيرية المغناطيسية

Magnetic Field and Magnetic Influence

المجال المغناطيسي هو قوة مجال شبيهة ب المجالات الجاذبية والكهرباء التي تحيط بالمصدر وتقاس قوة المجال المغناطيسي الذي يجذب المادة بشدة المجال المغناطيسي (H) ويتم قياس العزم المغناطيسي لكل وحدة حجم للمادة المagnetized بالمغناطيسية (M) او (B) وهو الحث المغناطيسي للمادة او كثافة التدفق المغناطيسي داخل المادة المغناطيسية حيث ان قيمة (M) هي مجموع العزوم المغناطيسية (mj) لكل وحدة حجم كما بالعلاقة التالية:

$$M = \sum_{\text{volume}} m_j \quad \dots \dots \dots (1-2)$$

أن الخصائص المغناطيسية للمواد المغناطيسية لا تتميز فقط بقيمة M ولكن بالطريقة التي يختلف بها M عن H وتسمى النسبة بين هاتين الكميتين التأثيرية المغناطيسية :

$$\chi = \frac{M}{H} \quad \dots \dots \dots (2-2)$$

اما مغناطيسية المادة فتعطى بالعلاقة التالية:

$$B = \mu_0 (H + 4 \pi M) = \mu_0 (H + 4 \pi a M) \quad \dots \dots \dots (3-2)$$

حيث ان قيمة $M = aB$ ، وان قيمة $\mu_0 = 4\pi \times 10^{-7} \text{ Hm}^{-1}$ تمثل نفاذية الفراغ ويتم قياس B بوحدة تنسلا و $A\text{m}^{-1}$ على التوالي ومن العلاقتين اعلاه نجد:

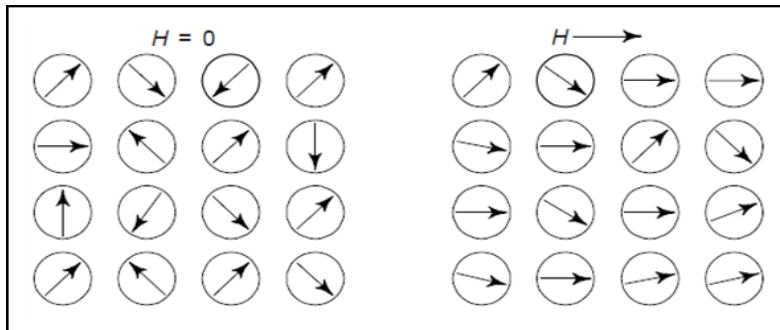
ان $\mu = H/B$ حيث ان في μ , χ تميز الخصائص المغناطيسية للمادة [55].

Materials Classification of Magnetic (3-2) تصنیف المواد المغناطیسیة

يمكن وصف المغناطيسية من الحركات الدورانية والمدارية للإلكترونات وكيف تتفاعل الإلكترونات مع بعضها البعض وأفضل طريقة لتصنيف المواد المغناطيسية هي وصف كيفية استجابة هذه المواد للمجالات المغناطيسية، وبشكل عام تصنف بحسب تأثير ذراتها بالمجال الخارجي إلى:

Paramagnetic Materials المواد البارا مغناطيسية (1-3-2)

هي المواد التي تمتلك تأثيرية مغناطيسية موجبة عند تسلط مجال مغناطيسي خارجي وتحفيز التأثيرية المغناطيسية عند إزالة المجال الخارجي المسلط، وتتضح هذه الحالة عند تراصف العزوم المنفردة للذرات أو الجزيئات أو الأيونات باتجاه المجال المغناطيسي المؤثر، كما في بالشكل (2-2) أما عند زوال تأثير المجال الخارجي فان عزوم الذرات والجزيئات سيكون بشكل عشوائي وغير منظم وتكون محصلة تساوي صفر بذلك فهي تمتلك عزم مغناطيسي دائم ينبع عن المجموع الاتجاهي للعزوم المغزلي للإلكترونيات وان درجة التراصف وتوجه العزوم للمواد الباردة تعتمد على القوة للمجال المغناطيسي المسلط وكذلك على درجة الحرارة حيث تظهر [56] هذه الميزة للمواد عند درجة الحرارة الاعلى من درجة حرارة كيوري T_C وتحتختلف درجة حرارة كيوري حسب نوع المادة كما ان البرم الكلي للمواد الباردة لا يساوي صفر وان التأثيرية المغناطيسية لها اقل من الواحد بكثير ($1 < \chi$)، أما قيمة النفاذية ف تكون اكبر من الواحد وقد وجد ان قيمة التأثيرية المغناطيسية تقل عندما تزداد درجة الحرارة في مثل هذه المواد وذلك لأن الطاقة الحرارية سوف تشتت باتجاهات المجال المغناطيسي. أما قيمة النفاذية المغناطيسية للمواد الباردة فستكون اكبر من واحد ($1 > \mu$) وان قيمة التأثيرية تتراوح بين ($10^{-5} - 10^3$) اي انها سوف تتجذب نحو المغناطيس ومن امثلتها هي املاح العناصر الانتقالية مثل (الكلوريدات، الكبريتات ، الكربونات، الكروم ، الحديد، الكوبالت) [57].

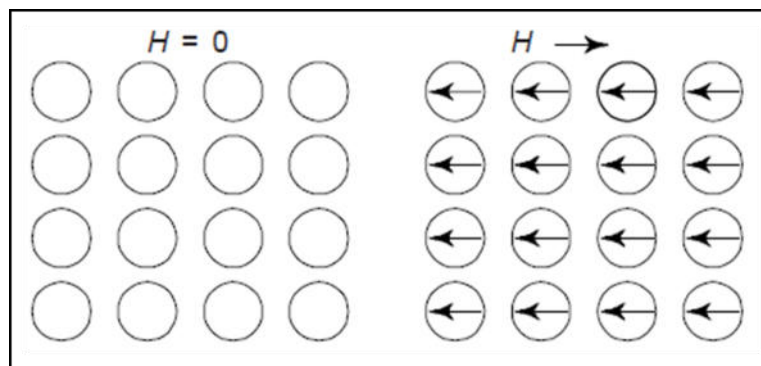


شكل (2-2) تأثير المادة البارامغناطيسية بالمجال المغناطيسي [58]

Diamagnetic Materials

3-2) المواد الديايا مغناطيسية

في هذا النوع من المواد تكون مدارات ذراتها غير مشبعة بالإلكترونات والتي يكون فيها العزم المغناطيسي للذرة صفراء، وعند تسليط مجال مغناطيسي خارجي سوف يحدث اضطراب في توزيع الإلكترونات وعندها تصبح المحصلة لكثافة الفيصل المغناطيسي للمادة أقل مما هو عليه في الوضع الاعتيادي، وعند زوال المجال المغناطيسي المسلط سوف يزول ذلك الاضطراب وعندها تكون قيمة التأثيرية المغناطيسية سالبة ان المواد الديايا مغناطيسية لا تعتمد على اتجاه العزوم للمادة وكذلك لا تعتمد على درجة الحرارة وان جميع المواد تصبح مواد دايا مغناطيسية عند درجات الحرارة العالية وان قيمة التأثيرية المغناطيسية للمواد الديايا مغناطيسية تكون سالبة وقليلة جدا بحدود 10^{-5} كما في بعض المواد مثل (الزنبق، الفضة، الذهب، الخارصين، الكادميوم، النحاس) [59] كما بالشكل (2-2).



الشكل (3-2) تأثر المادة الديايا مغناطيسية بالمجال المغناطيسي [59].

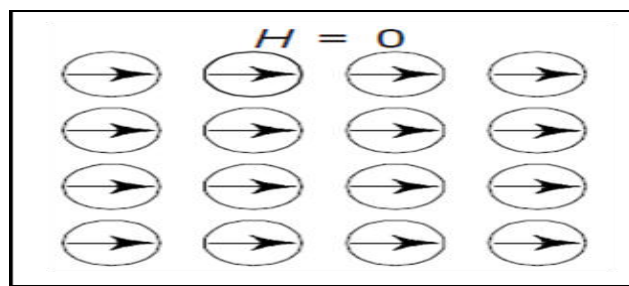
Ferromagnetic Materials

3-3-2) المواد الفيرومغناطيسية

وهي نوع من المواد مثل الكوبالت Co والحديد Fe والنikel Ni التي يوجد تفاعل قوي بين العزوم المغناطيسي للذرات المجاورة فيما بينها ، هذا يعني ان العزوم يمكن ان تتجه باتجاه المجال المغناطيسي المسلط عليها حتى لو كان ضعيفا بذلك تكون المواد ذات نفاذية مغناطيسية عالية ، بالإضافة الى انها

تحفظ بمحاذيسها حتى بعد زوال المجال الخارجي المسلط عليها ويمكن أن تتمنّع هذه المواد بصورة دائمة، أما قيمة التشبع المغناطيسي فيمكن الوصول إليها بسهولة وعند قيم صغيرة للشدة المغناطيسية لأن العزوم جميعها تكون باتجاه واحد بمجرد تسليط مجال مغناطيسي وعندها تصبح العلاقة بين التمagnet M والمجال المغناطيسي الخارجي المسلط H هي علاقة غير خطية:

أن λ هو ثابت التناسب، ويدعى بمعامل المجال الجزيئي وهذا يعني أن التأثيرية المغناطيسية χ_m للمواد الفيرومغناطيسية تكون غير ثابتة حيث تتغير مع شدة المجال المسلط عليها H وعندها تتحول المواد الفيرومغناطيسية إلى مواد بارا مغناطيسية عند زيادة درجة الحرارة إلى حد أعلى من درجة حرارة كوري T_c ان هذه الزيادة تجعل المادة تكتسب طاقة حرارية ينتج عنها تغير ترتيب العزوم المغناطيسية هذا يؤدي إلى انخفاض مغناطيسيتها ، كما بالشكل (4-2) [60].

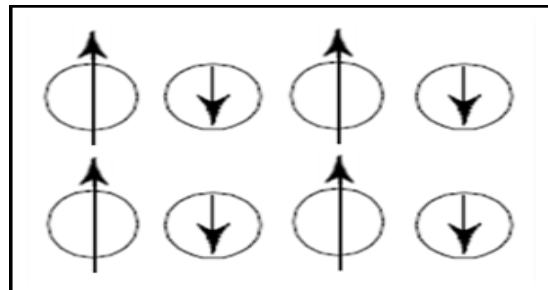


شكل (4-2) المادة الفيرو مقاطيسية [59]

(4-3-2) المواد الفيزيائية المغناطيسية

The Ferremagnetic Materials

وهي نوع من المواد التي تشبه إلى حد كبير الدمج بين المواد الفيرومغناطيسية وضد الفيرومغناطيسية والتي تكون فيها العزوم المغناطيسية لذرات الشبكة الثانوية الواحدة المتمثلة بذرات الحديد متوازية ومتراصفة باتجاه واحد إلا أنها متعاكسة بالاتجاه مع العزوم المغناطيسية لذرات الشبكة الثانوية الأخرى التي تمثل "ذرات العنصر الانتقالـي" ان اختلاف العزوم بين الشبكتين ناتج بسبب اختلاف ذراتهما وان المواد الفيري مغناطيسية تمتلك عزم مغناطيسي تلقائي تتغير ت מגنتـيه هذه المواد عند تسليط مجال مغناطيسي خارجي عليها بسبب اختلاف ايوناتها وتميز هذه المواد بأنها ذات متأثـريـه مغناطيسية ونفاذـية مغناطيسية عاليـتـين وكذلك يتغير تـعـنـطـ الاـشـبـاعـ لهـذـهـ موـادـ معـ درـجـةـ الحرـارـةـ ويـكـونـ أـقـلـ ماـ هوـ عـلـيـهـ فـيـ موـادـ الفـيـرـيـ مـغـناـطـيـسـيـهـ وـمـنـ اـمـثـلـهـ هـذـهـ موـادـ فـرـايـتـاتـ Ferritesـ [61]ـ ،ـ الشـكـلـ (5ـ)ـ يـوـضـحـ تـوـجـهـ العـزـومـ لـلـمـادـ الفـيـرـيـ مـغـناـطـيـسـيـهـ .

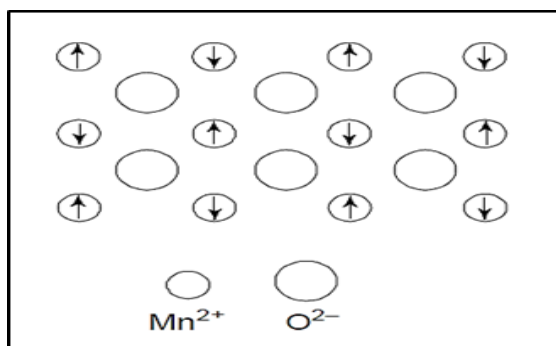


الشكل (5-2) يوضح المادة الفيري مغناطيسية

(5-3-2) المواد ضد الفيري و مغناطيسية

Anti-Ferromagnetism Materials

في هذا النوع من المواد تمتلك الكترونات ذراتها عزماً برمياً وتكون قوى التبادل الكمّي والمسافة بين الذرات كافية لأن تحدث ترتيب متوازي ومتضاد بالاتجاه لعزوم الذرات المجاورة دوريًا، ويحدث توزيع للعزوم المغناطيسية بـإعداد متساوية على الشبكتين الثانوية ويكون اتجاه العزوم لكل شبكة متوازي مع بعضها البعض بينما يكون اتجاه التمغنط لكل شبكة ثانوية معاكس تماماً لاتجاه الآخر كما بالشكل (6-2)، هذا يجعل محصلة العزوم المغناطيسية للشبكة يساوي صفر وتكون استجابة هذه المواد للمجال الخارجي المسلط مشابه لاستجابة المواد البارا مغناطيسية إلا أن هذه الاستجابة تزداد بزيادة درجة الحرارة إلى حد معين يعرف بدرجة حرارة نيل (T_n) حيث تتحول بعدها هذه المواد إلى المواد البارا مغناطيسية مثل بعض أنواع العناصر والاكاسيد (المغنيسيوم الكروم أو كسيد النيكل أو كسيد الكوبالت أو كسيد المنغنيز) [62].



الشكل (6-2) المادة ضد الفيري و مغناطيسية [62].

SuperParamagnetism

(4-2) البارا مغناطيسية الفائقة

هي شكل من أشكال المغناطيسية و التي تظهر فيها الجسيمات النانوية الصغيرة او الحديدية و يمكن للمغناطة أن تقلب اتجاه عشوائي تحت تأثير درجة الحرارة الوقت المعتمد بين التقلب يسمى

وقت الاسترخاء في نيل في حال عدم وجود مجال مغناطيسي خارجي و عندما يكون الوقت المستخدم لقياس مغنة الجسيمات النانوية أطول بكثير من وقت استرخاء نيل تبدو ان مغنته تكون صفر و تكون هذه المواد في هذه الحالة ذات مغناطيسية فائقة عندها يكون المجال المغناطيسي قادر على جذب الجسيمات النانوية على نحو يشبه المغناطيس و مع ذلك تكون قابليتها المغناطيسية كبيرة وتسمى هذه الظاهرة بالمغناطيسية الفائقة لأنها ناتجة من تباين بين الخواص و الطاقات الحرارية للجسيمات عندها تبدي الجزيئات الصغيرة سلوكاً مغناطيسياً يشبه نوعاً ما سلوك المواد المغناطيسية [63] ، الشكل (7-2)

يوضح الجدول الدوري لأنواع المواد المغناطيسية .

1 H	2 He														
3 Li	4 Be														
11 Na	12 Mg														
19 K	20 Ca														
37 Rb	38 Sr														
55 Cs	56 Ba														
87 Fr	88 Ra														
21 Sc	22 Ti	23 V	24 Cr	25 Mn	26 Fe	27 Co	28 Ni	29 Cu	30 Zn	31 Ga	32 Ge	33 As	34 Se	35 Br	36 Kr
39 Y	40 Zr	41 Nb	42 Mo	43 Tc	44 Ru	45 Rh	46 Pd	47 Ag	48 Cd	49 In	50 Sn	51 Sb	52 Te	53 I	54 Xe
57 La	72 Hf	73 Ta	74 W	75 Re	76 Os	77 Ir	78 Pt	79 Au	80 Hg	81 Tl	82 Pb	83 Bi	84 Po	85 At	86 R
89 Ac	58 Ce	59 Pr	60 Nd	61 Pm	62 Sm	63 Eu	64 Gd	65 Tb	66 Dy	67 Ho	68 Er	69 Tm	70 Yb	71 Lu	

. الشكل (7-2) يوضح الجدول الدوري لأنواع مختلفة من المواد المغناطيسية [64] .

Ferrites (5-2) الفرايتات

يتم تصنيف الفرايتات وفقاً للشبيكة البلورية الأساسية إلى ثلاثة أنواع الفرايت:

الفرايت السادس (المرمر) والفرايت المغزلي ، ويمكن تفسير اصل الاقتران المضاد للتوازي عن طريق التبادل الفائق للإلكترونات بين المدار P المملوء O_2 والمدار d غير المملوء بالكاتيونات المعدنية الانتقالية، في الفرايت لا تلتقي العزوم المغناطيسية الموجهة بشكل معاكس تماماً وبالتالي تكون النتيجة عزوم مغناطيسية صافية [65].

Hexagonal Ferrite (1-5-2) الفرايت السادس

هو أحد أنواع الفرايتات المستخدمة في صناعة المغناط الدائمية ويتميز بامتلاكه مقاومة عالية ويصنف بأنه ذو تركيب معقد جداً إذ يتكون من مقاطع شبه مغزلية ترتبط مكونة

تركيب بلوري ذا تناظر سداسي وبحسب الصيغة التركيبية $M^{+2}Fe_{12}O_{19}$ حيث تكون M هي أيون معدني ثانوي التكافى مثل (pb Sr, Ba) [66].

Garnets Ferrites

(2-5-2) فرایت العقیق (المرمر)

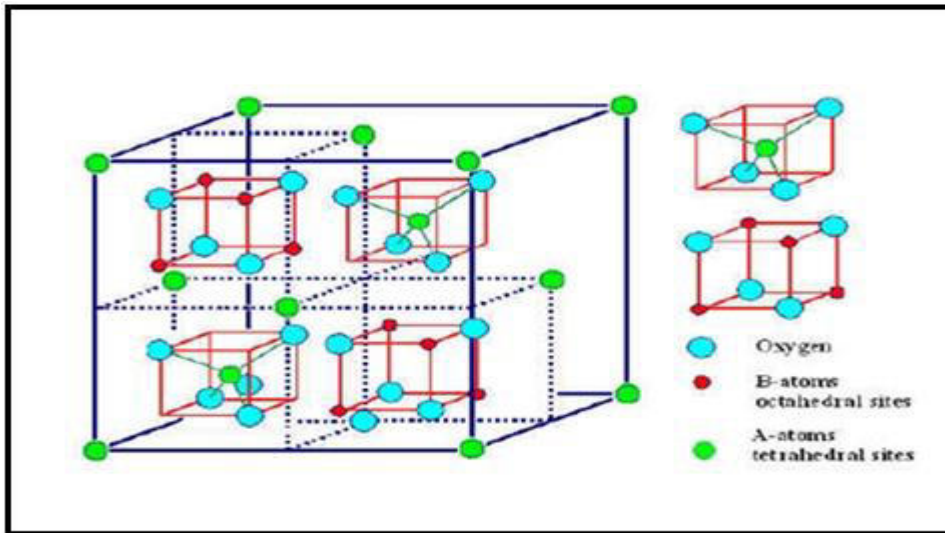
في هذا النوع من الفرایات تكون المغناطيسية ضعيفة نوعاً ما فعلى سبيل المثال الايتريوم والعقیق الحديدي لا يتمتع بعزم مغناطيسي بسبب عدم احتواه على الكترونات في المدار f لذلك فان صافي العزوم يرجع تماماً الى التوزيع غير المتكافئ لأيونات Fe_3^+ في الدوران العلوي والسفلي للموضع ويحتوي العقیقان على الصيغة الكيميائية $(3M_2O_35Fe_2O_4)$ اذ ان M هي الايتريوم او احد الارتبة النادرة الاصغر حيث يمكن بسهولة استبدال الارتبة النادرة بالاخرى ويمكن استبدال Fe_3 بسهولة بواسطة (Ca_3,Al_3) ومن الممكن ضبط مغنتة التشبّع وكذلك التباين مقاومة العقیق العالية لذلك يتم استخدامها في تطبيقات التردد العالی جداً مثل "المایکرویف" حيث تكون الفرایات موصلة جداً [66].

Spinel Ferrites

(3-5-2) الفرایت المغزلی

سميت بهذا الاسم لكونها ذات بنية تشبه بنية المغزل وان السبنل كلمة مشتقة من الاسپنلا الايطالية ويتم تصنيفها تبعاً للخصائص المغناطيسية وتسمى بالفرایات المرنة Soft ferrite لما لها من خصائص مغناطيسية حيث تفقد مغنتتها بزوال المجال المغناطيسي الخارجي يتبلور السبنل في النظام المكعب وهو من مكون بلورات ثمانية السطوح وهناك ما لا يقل عن 30 نوع من اكسيد المعادن المدرجة في مجموعة السبنل يمكن كتابة التركيب الكيميائي لفرایت السبنل بشكل عام MFe_2O_4 حيث M يمثل ايون Ni, Co, Fe, Mn او مزيج من هذه الايونات يعتبر هذا النوع الاكثر استخداماً في نطاق واسع من التطبيقات ويسمى ايضاً بالفرایت المكعب، ان القيم العالية للمقاومة الكهربائية والانخفاض في فقدان التيار الدوامی يجعلها مثالیة في الاستخدامات ضمن مدى ترددات المایکرویف الاكثر استخداماً في نطاق واسع من التطبيقات، والشكل (2-8) يبين التركيب البلوري للفرایت المغزلی.

ان فرایت Spinel هو من نوع FCC ويكون من ثمانية وحدات للصيغة لكل خلية وحدة ، حيث يمكن كتابة الصيغة $M_8Fe_{16}O_{32}$ كما ان الانيونات هي الاعظم لتشكيل FCC داخل التركيب البلوري للشبیكة وفي هذه الموضع التي تحملها الكاتيونات المعدنية يوجد 96 موقع خلوي في خلية الوحدة منها 64 موقع رباعي السطوح و 32 موقع ثماني السطوح [67]، كما في الشكل (2-8).



الشكل (8-2) يوضح موقع رباعي السطوح وثماني السطوح [67].

وأذ يتشكل التركيب البلوري للفرايتات المغزليه عندما يكون نصف قطر الايون الموجب M^+ الذي تكون قيمته اقل من 1\AA وبخلاف هذا تكون قوة كولوم غير كافية لحصول استقرار للتركيب البلوري، وعندما يصعب تشكيل البلورات المغزليه [67].

وهناك ثلاثة انواع من الفرايتات المغزليه وهي:

Ferrite Normal Spinal

1. الفرايت المغزلي الاعتيادي

في هذا النوع من الفرايت الذي صيغته MFe_2O_4 تشغل ايونات الفلز الانتقالى M المواقع الثمانية المتواجدة في وحدة الخلية لموقع رباعي السطوح اي موقع A_{tetra} -site بينما ايونات الحديد تشغل المواقع الستة عشر من ثماني السطوح B_{octa} -site ومن الامثلة على هذا النوع من الفرايتات هو فرايت المغنيسيوم ($MgFe_2O_4$, $ZnFe_2O_4$) والذي تكون صيغته التركيبية $([A^{+2}]_{\text{tetra}} [B^{+3}]_{\text{octa}} O_4^{-2})$.

Inverse Spinal Ferrite

2. الفرايت المغزلي المعكوس

في هذا النوع من الفرايت تشغل ايونات الفلز الانتقالى الثمانية M موقع ثماني السطوح B-site بينما تتوزع ايونات الحديد الستة عشر بين موقع رباعي السطوح A-Site وثماني السطوح B-site ومن الامثلة على هذا النوع من الفرايت (نيكل فرايت ($NiFe_2O_4$), كوبالت فرايت ($CoFe_2O_4$)).

Random Spinal Ferrite

3. الفرايت المغزلي العشوائي

في هذا النوع من الفريت تتوزع ايونات الفلز الثمانية و ايونات الحديديك الستة عشر بين الموقعين رباعي السطوح A-site وثماني السطوح B-site ويكون التوزيع بين هذين الموقعين بنسب مختلفة ومن الامثلة على هذا النوع من الفرايت (فرايت المنغنيز ($MnFe_2O_4$)) حيث يكون جزء ايونات المنغنيز Mn^{+2}

ومقداره 0.8 يشغل موقع رباعي السطوح اما الجزء المتبقى الذي يكون مقداره 0.2 فيشغله موقع ثماني السطوح [68].

Cobalt Ferrite (CoFe_2O_4)

(6-2) كوبالت فرایت

يمكن تعزيز خصائص الفرایات عن طريق دمج ايونات معدنية ثنائية التكافئ داخل هيكلاها، وفي فرایت الكوبالت ينتج دمج ايونات الكوبالت بزيادة اقتران برم الكوبالت مع ايونات الحديد [69] من بين جميع الطبقات الحديدية يعد CoFe_2O_4 أحد أهم المواد المغناطيسية التي تظهر مغناطة تشبع معتدلة وتخفيه عالية وعزل كهربائي مع فقدان واطئ بالتيارات الدوامة واستقرار كيميائي [70] يحتوي CoFe_2O_4 على بنية جزئية عكسية مع المواد البلورية من نوع السبنل وتعتمد درجة نقاوته على عملية التحضير، يوجد الجزء الاكبر من ايونات ثنائية اكسيد الكاربون في موقع ثماني السطوح (موقع B) والباقي في موقع رباعي السطوح (موقع A) وهذا يشير الى ايونات Co_2 في الفرایت المشترك لهذا يفضل موقع B فرایت الكوبالت هو اكسيد مغناطيسية مكعبية جذبت الاهتمام بسبب نفاذيتها الكبيرة والمواد المغناطيسية الصلبة لديها تباين مغناطيسي كبير نظراً لهذه الخصائص ذات الاستقرار الفيزيائي والكيميائي الكبير جعلت من هذا الفرایت مناسباً للتطبيقات المختلفة لذلك تم استخدامه في نطاق واسع في مجال المحولات، تخزين عالي الكثافة حيث يساهم كل من ايونات الكوبالت والحديديك في التباين المغناطيسي لكن المساهمة الرئيسية تأتي من ايونات الكوبالت حيث ترتبط التباينات المغناطيسية البلورية لمواد فرایت كوبالت بتوزيع الايونات المغناطيسية في موقع رباعي السطوح وثماني السطوح، ولذلك اي تغير في احتلال المواقعين ستغير الخواص المغناطيسية [71].

Nickel Ferrite (NiFe_2O_4)

(7-2) نيكل فرایت

هو احد المواد الخزفية "السيراميكية" الواعدة في تطبيقات المايكرويف بسبب قدرتها على التغيرات الممعنطة السريعة التي تتميز بتوزيع ايونات الفلز الانتقالية بين موقعين رباعي وثماني السطوح، وفي فرایت نيكل زنك ذي الصيغة الكيميائية $\text{Ni}_{1-X}\text{Zn}_X\text{Fe}_2\text{O}_4$ حيث تمثل X النسبة المستبدلة للزنك حسب الصيغ $[\text{Ni}_{1-X}\text{Fe}_{1+X}]^A [\text{Zn}_X\text{Fe}_{1+X}]^B$ حيث تمثل A، B على التوالي موقع رباعي السطوح وموقع ثماني السطوح ، يمتاز هذا النوع من الفرایت عن غيره بان الخسارة بالطاقة تكون قليلة جداً لذلك في صناعة قلوب المحولات وكذلك امتلاكه

مدى واسع من درجات الحرارة والنفاذية المغناطيسية العالية وأغلب هذه الصفات امتلكتها الفرایتات المرنة [72].

8-2) تصنیف الفرایتات حسب خواصها المغناطيسية

Classify the Ferrites According to Their Magnetic Properties

لقد تم تصنیف المواد الفرایتية بالاعتماد على خواصها المغناطيسية الى نوعین رئیسین هما الفرایتات الصلبة Hard Ferrite والفرایتات المرنة Soft Ferrite ولقد اعتمد هذا التصنیف بالأساس على قابلیتها على التمغnet و عدم التمغnet [73].

Soft Ferrites

1-8-2) الفرایتات المرنة

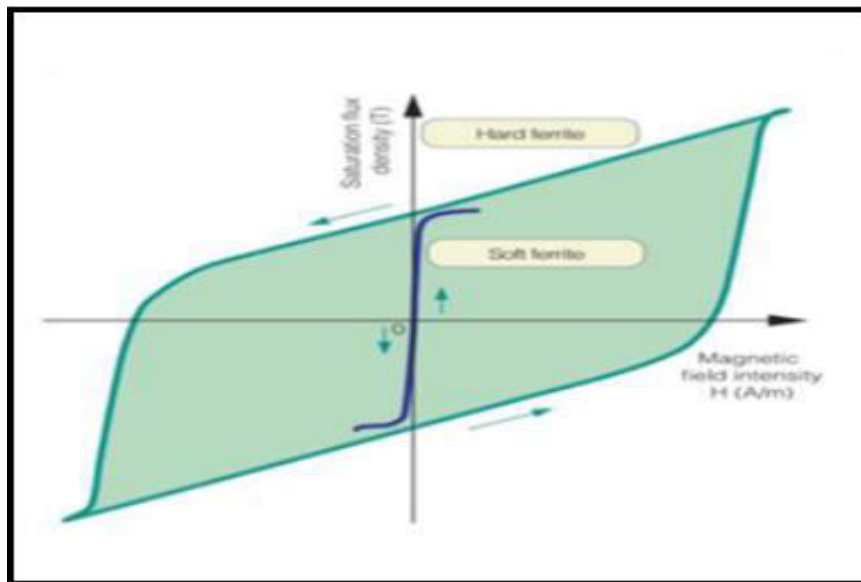
هي احدى انواع السیرامیکیات والتي تكتسب خاصیة التمغnet بسهولة لكنها لا تحفظ بالمغناطیسیة بعد زوال المجال المغناطیسی الخارجي تمتلك هذه الانواع من المواد حلقة هسترة ضیقة و تمتلك مجالاً مغناطیسیاً قسراً منخفضاً ، وتكون على شكل طبقات ناعمة على عکس الفرایتات الصلبة وهي من المواد المطلوبة في العديد من التطبيقات وت تكون من مجال واحد والجزئیات موجهة عشوائیاً في هذا النوع من المواد تكون الخسارة بالطاقة منخفضة جداً لذلك تستعمل في قلوب المحولات والملفات الحثیة و يتمیز الفرایت المرن عن غيره من المواد المغناطیسیة بأن خسارة التیارات الدوامة فيه يكون قليلاً جداً، لمدى واسع من الترددات وبمقامیته العالیة وكذلك امتلاکها الاستقراریة الحراریة لمدى واسع من درجات الحرارة بالإضافة الى النفاذیة المغناطیسیة العالیة ان هذه الممیزات التي امتلكتها الفرایتات الهشة جعلتها من افضل انواع المواد المغناطیسیة من الامثلة على هذا النوع من الفرایت $(\text{MnZnFe}_2\text{O}_4)$ ، $(\text{NiZnFe}_2\text{O}_4)$. [74]

Hard Ferrites

2-8-2) الفرایتات الصلبة

نوع من انواع السیرامیکیات دائمیه التمغnet تمتلك كثافة فيض مغناطیسی عالی بالإضافة الى القوة القسریة العالیة لإزالة المغناطیة منها بالمقارنة مع المغناطیسی الآخر يتم تحضیر هذا النوع من المواد على شکل مساحیق (Bowders) ثم يتم كبسها بالشكل المطلوب وبعدها يتم حرقتها عند درجات حرارة عالیة وقد يتم تعريضها الى حقل مغناطیسی عالی ليکسبها قوة مغناطیسیة كبيرة يتمیز هذا النوع من الفرایتات بامتلاکه حلقة هسترة كبيرة وواسعة ومن انواعه الشائعة فرایت الباریوم $\text{BaFe}_{12}\text{O}_{19}$ ونظراً

للطبيعة السيراميكية فالمادة تكون صلدة وتأخذ اللون الرمادي الفحمي يستخدم هذا النوع من المواد في مجال الكهرباء ومكبرات الصوت وفي العلاج الطبي والتعدين [75]، والشكل (9-2) يبين حلقة الهسترة للفرايتس المرنة والفرات (الصلبة) [76].



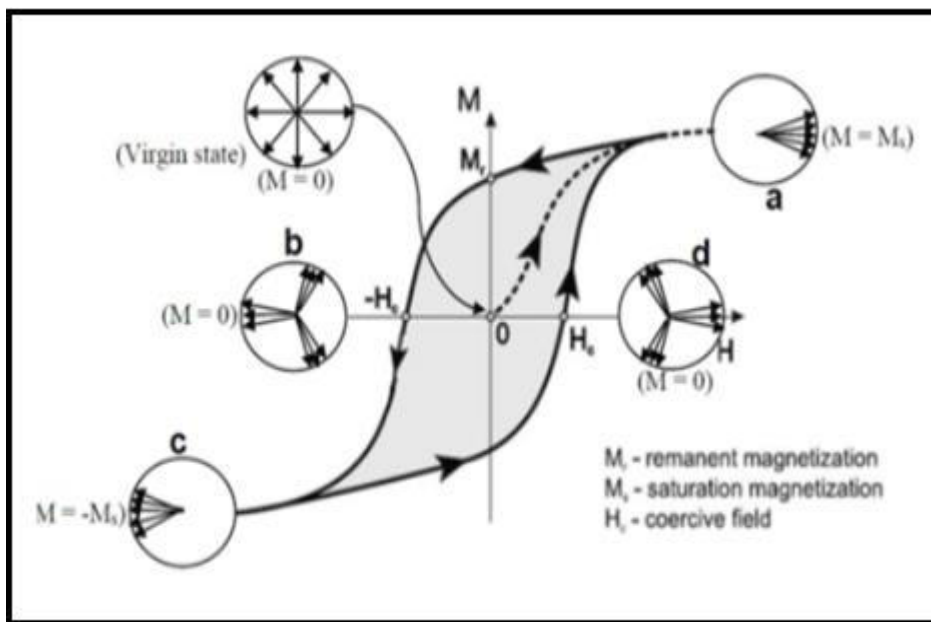
الشكل (9-2) يبين حلقات الهسترة للفرات (Soft) والفرات (Hard) [76].

9-2(منحنى المغناطيسة وحلقة التباطئ)

Magnetization Curve and The Hysteresis Loop

ان وضع مادة فيرو مغناطيسي باتجاه مجال مغناطيسي ناشئ مع وجود تيار كهربائي مار خلال ملف حلقي Terroidal coil فأن المجال المغناطيسي لثاني القطب سوف يصطف باتجاه المجال المغناطيسي المسلط وبذلك سوف يزداد تمغناط الماده الفيرومغناطيسي لأن المجالات للماده سوف تتضاف للمجال المغناطيسي الخارجي مكونا بذلك مجالا اقوى وعند زيادة المجال المسلط فأن العزوم الذريه سوف تصطف مع المجال المسلط ويزداد بذلك توجه العزوم مع زيادة شدة المجال الخارجي المسلط عند ذلك سوف تزداد قيم شدة التمغناط B لحين وصول شدة المجال H الى قيمة اعلى ما يمكن والتي عندها يصبح اتجاه العزوم مع اتجاه المجال وهذه الظاهرة تدعى بالتشبع المغناطيسي Saturation Magnetization وعند ازالة المجال اي $H=0$ فان كثافة الفيض المغناطيسي سوف تتخفض على خط رجوع اخر وهذا ما يدعى بكثافة الفيض المتخلفة او المتبقية Remnants Magnetization وان السبب في ذلك يعود الى وجود بعض العزوم الذريه ما زالت على نفس اتجاهها والذي بدوره يولد ما يسمى بالمغناط الدائمية Permanent Magnetization وان ازالة المغناط المتبقية يتطلب تسليط مجال مغناطيسي حيث $H=0$ تكون كبيرة وهذا ما يدعى بالمجال القهري Coercive .[77]

عند زيادة المجال المعاكس H_C في نقطة التقاء المجال المعاكس مع نقطة الاحادثي السالب للمجال المغناطيسي فإن المادة سوف تفقد مغناطيسيتها وعنهما تكون قيمة $B=0$ وتكون العزوم عشوائية ومع الزيادة في المجال المغناطيسي المعاكس H_C فإن العزوم سوف تترافق باتجاه معاكس للمجال الخارجي حتى تصل إلى حالة التشبع المضاد وتصبح متراصفة تماماً وتصبح قيمة H_{max} اما عند الزيادة للمجال من القيمة السالبة إلى الصفر فتحصل على منحنى مغلق يدعى حلقة الهسترة المغناطيسية او منحنى التخلف ، كما بالشكل (10-2) الذي يوضح العلاقة بين شدة المجال H والفيض المغناطيسي B ويعتمد حجم حلقة الهسترة على نوع المادة وشكلها وكذلك على القيمة العظمى للمجال المغناطيسي فمثلاً نختار قيمة H لحصول على دورة كاملة صغيرة ومغناطيسة وتسمى المساحة داخل المنحنى بقيمة الشغل المبذول لترافق وتجه العزوم المغناطيسية وتدعى الطاقة المبددة في مغناطيسة المادة واعادة مغناطيستها بسهولة وتسمى هذه المساحة بفقدان التخلفية Hysteresis Loss [78].



الشكل (10-2) العلاقة بين شدة المجال H والفيض المغناطيسي B وحلقة الهسترة المغناطيسية [78].

Magnetic Permeability

(10-2) النفاذية المغناطيسية

تعرف النفاذية المغناطيسية بأنها امكانية خطف المجال المغناطيسي على التدفق واحتراق المادة وتزداد عملية التدفق لخطوط المجال بزيادة النفاذية للمادة والعكس صحيح حيث تعتمد هذه العملية على المجال الخارجي المسلط على المادة وكذلك على ثنائيات الاقطب وذلك لأن ثنائي الاقطب تتأثر بقوة التجاذب وقوة التناحر الداخلية فيما بينها إضافة إلى اثر القوة العشوائية التي تم اكتسابها من الطاقة الحرارية للمحيط الخارجي بذلك سوف تصطف ثنائيات الاقطب بشكل عشوائي وان اتجاه كل ثنائي يكون عكس اتجاه الآخر وان مجموع الاثر الخارجي لهذه الثنائيات يساوي صفرًا وان هذا الاثر ناتج بسبب

الاصطفاف العشوائي لثنائيات الاقطبان التي لم تتأثر بالمجال الخارجي المسلط اما اذا تأثرت الثنائيات بالمجال الخارجي المسلط فانه يحدث اصطفاف لثنائيات ويتولد مجال مغناطيسي داخلي اضافة الى المجال الخارجي وهذا يعتمد على خصائص المادة حيث ان بعض المواد تكون فيها القوة الداخلية والعشوائية الخارجية اكبر بكثير من المجال الخارجي المسلط وبذلك فأن المجال المغناطيسي الداخلي والكتل الناتج يساوي صفراء وهذا النوع من المواد تدعى بالمواد غير المغناطيسية ، اما اذا حدث تراصف لهذه الثنائيات والتي تكون تحت تأثير مجال خارجي فعند ذلك تدعى هذه المواد بالمواد المغناطيسية [79] ويتم التعبير عن كثافة الفيض المغناطيسي B وشدة المجال H بالعلاقة التالية:

$$B = \mu H \quad \dots\dots\dots (6-2)$$

اذا يمثل الرمز μ نفاذية الوسط كما في العلاقة التالية:

$$\mu = \mu_r \mu_0 \quad \dots\dots\dots (7-2)$$

الرمز μ يمثل النفاذية النسبية للمادة:

μ_0 هي نفاذية الفراغ:

$$\mu_0 = 4\pi \times 10^{-7} \text{ H/M} [55]$$

اذا ان $\mu = \mu_0$ في المواد الفيرومغناطيسية بذلك تصبح العلاقة خطية بين H , B هي $H = B$ [55].

Initial Permeability (11-2) (النفاذية الابتدائية)

ان زيادة المجال المغناطيسي المسلط على المواد الصلبة يحدث تأثيراً على حدود منطقة النفاذ المغناطيسية بعملية معكوسه اذ تعود هذه الحدود الى مواقعها الاصلية بعد زوال تأثير المجال المسلط وان الجزء الابتدائي من منحني حلقة الهسترة عند الترددات الواطئة يتكون نتيجة للإزاحة المعكوسه Reversible displacement وان ميل المنحني لهذا الجزء من الحلقة يسمى بالنفاذية الابتدائية والتي تحدث عند الترددات الواطئة وتعتمد هذه بشكل كبير على التراكيب الكيميائية للمواد وكذلك على عملية التحضير وعملية التلبيس ويتم حساب النفاذية الابتدائية لحلقة من خلال المعادلة التالية.

$$\mu_i = \frac{L}{2 \times 10^{-7} \times N^2 \times h \times \ln \left[\frac{D_{out}}{D_{in}} \right]} \quad \dots\dots\dots (8-2) [80]$$

حيث تمثل

L : معدل الحث الذاتي، D_{out} : قطر الحلقة الخارجية بوحدة N, cm : عدد اللفات لملف، h : سمك حلقة الهسترة ويعكس بوحدة cm [80].

(12-2) طرائق التحضير للفريتات النانوية

Methods of Preparation for Nanoparticles

ان الفريتات هي كسائل المواد السيراميكية ولتحضيرها يتطلب اولاً تحديد المواد الاولية التي قد تكون على شكل اكاسيد او املاح العناصر مثل الكربونات او الكلوريدات او النترات وتحديد اوزانها بدقة ثم بعدها تأتي مرحلة الخلط والتي يكون الهدف منها الحصول على خليط متجانس 99% لمنع حصول اي تكتل للمواد او تجمع في موقع معين وتوجد طرق عديدة لتحضير المواد النانوية اهمها:

a. الطريقة السيراميكية التقليدية.

b. طريقة Sol-Gel.

c. طريقة الترسيب الكيميائي المشترك [81].

في الدراسة الحالية سيتم التركيز على طريقة الترسيب الكيميائي المشترك Normal Co-precipitation Method combine الجسيمات النانوية المغناطيسية ويتم استخدام هذه الطريقة باستخدام نوعين من طرق الترسيب الكيميائي اعتماداً على نوع المادة المرسبة اهمها:

Hydroxides Precipitation

1. طريقة الهيدروكسيدات

تم هذه الطريقة باضافة احد القواعد القلوية مثل هيدروكسيد الصوديوم NaOH او الامونيا الى محليل تحتوي على ايونات الفلزات الداخلة في التركيب للفريت من نوع Spinal مثل كلوريدات الفلزات او اكاسيداتها او كربوناتها ، وتوجد معلمات نستطيع من خلالها السيطرة على pH التي يجب ان تتراوح بين (8-12) في محلول الهيدروكسيدات، ان الفلزات تبدأ بالترسيب بالاعتماد على قيمة ال pH والتي يكون لها تأثير كبير جداً على شكل الجسيمات المترسبة وكذلك على حجمها، تتم عملية الترسيب بدرجة (50°C) كما يمكن الحصول على الترسيب في 30 دقيقة بدرجة حرارة (90°C) وتتم عملية الاكسدة بالتهوية او بدونها بعد ان يتم الحصول على الراسب تبدأ مرحلة الترشيح باستخدام ورق الترشيح او باستخدام الطرد المركزي Center Fug بعدها يتم غسل الخليط الراسب بالماء او الكحول لعدة مرات وذلك من اجل التخلص من بقايا المادة المترسبة حتى تتعادل الحامضية $pH=7$ بعدها يتم تجفيف المسحوق الناتج بدرجة حرارة مناسبة للتخلص من الماء الاعتيادي وبقية الكربونات، ان قيمة pH تعد من اهم العوامل التي يتم من خلالها السيطرة على سرعة الترسيب وكذلك تحديد قيمة ثابت الذوبان للهيدروكسيدات في محلول Solubility Product Constant حيث قام بعض الباحثين باستخدام هذه الطريقة في تحضير الفريت منغنيز زنك ومن اهم مزايا هذه الطريقة انها طريقة انها تعطي تجانس اكبر للخليط وهذا يساعد على تقليل درجة الحرارة وبالتالي عدم حاجة المساحيق لدرجات حرارة عالية عند عملية التلبيذ فضلاً عن انها طريقة تختصر فترات الطحن الطويلة للحصول على مسحوق مغناطيسي

وذلك امكانية انتاج اغشية رقيقة بهذه الطريقة بالرغم من مزايا هذه الطريقة تعتبر من الطرق التي قد لا تعطي اطواراً نقية ودقيقة اذا كانت المواد المتفاعلة ذات قابلية ذوبان مختلفة وكذلك معدل ترسيب مختلف [82].

Oxalate Precipitation

2. ترسيب الاوكسالات

في بعض الاحيان يتم استخدام الاوكسالات الفلزية في عملية الترسيب الكيميائي لسبعين هما:

1. تحقيق عملية الترسيب وذلك باستخدام اوكسالات الأمونيوم لأنها لا تترك اي اثر بعدها.
2. معظم الاوكسالات الفلزية متشابهة من حيث تركيبها البلوري.

حيث تمثل عملية الترسيب الى انتاج بلورات تحتوي على الايونات الفلزية بالنسبة الموجودة في محلول وعند ذلك يمكن تحقيق الخلط بالنسبة الصحيحة بحدود الابعاد الجزيئية وبهذه الطريقة تم الحصول على فرایت نيكل زنك ان الزيادة بالمساحة السطحية للمسحوق تساعد على الحصول على تفاعل للمكونات عند درجات حرارة منخفضة [83].

Thermal coefficients

(13-2) المعاملات الحرارية

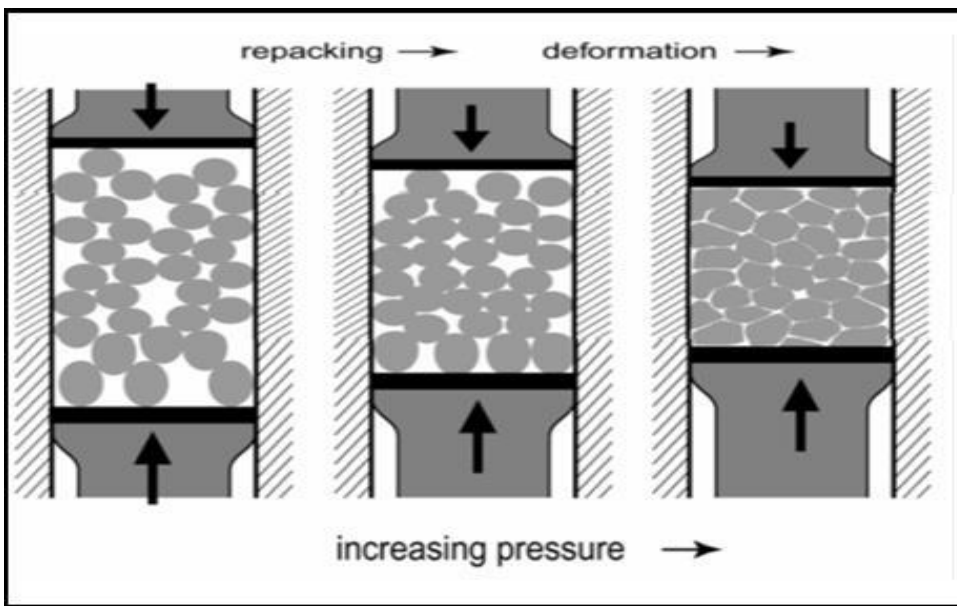
المعاملات الحرارية هي مجموعة من العمليات التي تستخدم لتحسين الخواص الفيزيائية واحيانا الكيميائية للصلب ويتبع عن ذلك التحكم في مدى ليونة وصلابة المنتج من خلال التحكم بدرجات الحرارة والזמן اللازم للتسخين وتم المعاملة الحرارية باستخدام افران مختبرية خاصة لهذا النوع من المواد وتختلف هذه الافران من خلال مدى درجات الحرارة واهم هذه العمليات الكلسنة Calcination هي عملية معاملة حرارية يتم تطبيقها على المساحيق والمواد الصلبة من اجل احداث تحل حراري او تحول طوري وكذلك ازالة الجزء المتطاير من المواد الغير مرغوب فيها وتجري عملية الكلسنة عادة بدرجات دون نقطة انصهار المادة وتم عملية الكلسنة في جو خالي من الهواء وتنتج اثناء عملية الكلسنة الاكاسيد من الاوكسالات والكبريتات والنترات والكاربونات وبعض الاكاسيد القلوية (NO_3 , H_2O , CO_2 , SO_4) هذه النواتج من التفاعل تتطاير بفعل الحرارة.

Pressing Process

(14-2) عملية الكبس

بعد مرحلة المعاملة الحرارية يتم طحن المسحوق جيدا للحصول على المسحوق الفراغي المطلوب ويتم تشكيل العينات حسب نوع الدراسة والفحص من خلال كبس المسحوق في مكبس خاص للحصول على نماذج اما اقراص او حلقات، ان الخواص الميكانيكية للمساحيق المكبوسة تكون ضعيفة وقد تتحول ثانية الى مسحوق بسبب تأثير القوة الميكانيكية الضعيفة ولإعطاء المادة المصنعة الخواص الفيزيائية والكميائية اللازمة تجري على المواد عملية التأثير حيث تحدث خلال عمليات المعاملة الحرارية تغيرات

في التركيب المجهري مثل زيادة الحجم الحبيبي Grain Size وكذلك تغير في شكل المسامات وتقلص في حجم المسامية Porosity، وفي بعض الاحيان يتم استخدام مواد رابطة من اجل التشكيل عند الكبس، يستوجب ازالة المادة الرابطة بواسطة التسخين البطئ لأن التسخين السريع يؤدي إلى تشقق النموذج والشكل (11-2) يوضح آلية كبس المسحوق [84].



الشكل (11-2) يوضح آلية كبس المسحوق [84].

Sintering

(15-2) التأبיד

التأبيد او التصليد الحراري هي طريقة معاملة حرارية تستخدم للحصول على منتجات المساحيق من خلال حرق المادة الى درجة حرارة اقل من درجة انصهارها حيث تلتقط ذرات المادة التي تكون على شكل مسحوق بعضها مع بعض والذي يؤدي بدوره الى زيادة الحجم البلوري للمادة بفعل الحرارة، تحدث هذه العمليات باليات اهمها:

1. حدوث الانتقال الحراري من الفرن الى سطح المادة المتفاعلة.
2. التفاعل عند سطح المادة المتفاعلة.
3. حدوث انتشار للغاز الناتج من سطح التفاعل خلال طبقات الاكاسيد المتولدة في جو الفرن.

تعد هذه العمليات غالباً ماصة للحرارة اذ يعتمد مقدار هذه الحرارة على مقدار الطاقة الحرية لتفكك الالماح والاكسيد وغازات متطرورة كما ان وجود خليط من الكربونات والاكسيد في هذه العملية يؤدي الى حدوث تفاعل جزئي بين الاوكسيد الناتج في الخليط ويعتمد مقدار التفاعل هذا على درجة الحرارة وعلى فعالية المكونات الاساسية للخليط [75].

(16-2) تقنيات القياس لدراسة الخصائص التركيبية

Techniques Used to study Structural Properties

من أجل الحصول على معلومات دقيقة عن البنية البلورية في علم البلورات توجد عدة تقنيات منها تقنية حيود الاشعة السينية XRD وتقنية FESEM بالإضافة إلى طرق أخرى مكملة لتقنيات الاشعة السينية مثل تقنية حيود الالكترونات وتقنية حيود النيوترونات حيث ان استخدام هذه التقنيات تمكنا من الحصول على معلومات عن ثابت الشبكة والمسافة البنية بين المستويات والزوايا الواقعة بين المستويات وموضع الذرات داخل الشبكة.

X-ray Diffraction Technology

(17-2) تقنية حيود الاشعة السينية

يتم استخدام تقنية حيود الاشعة السينية X-Ray والتي هي عبارة عن موجات كهرومغناطيسية تقع اطوالها بين اشعة كاما والاشعة فوق البنفسجية حيث تقدر اطوالها الموجية بوحدة الانكستروم 1.44-10 \AA في الحصول على معلومات عن التركيب البلوري للمواد حيث تكون المسافة البنية بين ذراتها بحدود بضعة انكستروم 1.44-5.23 \AA لذلك تم استخدام اشعة ذات طول موجي مساوي او اقل من ضعف المسافة البنية بين الذرات وان هذه الاشعة تعتبر طريقة فعالة وطريقة غير اتلافية non-destructive لإيجاد المعلومات التركيبية للمواد، عند سقوط الاشعة السينية على المادة فان هذه الاشعة سوف تعاني حيود وانحراف عن المسار الاصلي لها وان هذا الانحراف ناتج من تفاعلها مع المادة فاذا فقدت الفوتونات للأشعة طاقتها عندها تسمى هذه الظاهرة بالاستطرارة او التشتيت اما اذا لم يحدث تغير بالطاقة للفوتون فتسمى بالاستطرارة المرنة [85] لقد استطاع العالم الانكليزي W.L Bragg في عام 1913 من ايجاد علاقة رياضية لتعيين المسافة بين المستويات البلورية باستخدام الاشعة السينية حيث اعتمد براك على حقيقة ان الذرات في داخل البلورة تصف في مجاميع متميزة من المستويات المتوازية فعند سقوط حزمة من الاشعة على هذه المستويات فإنها تستطير في جميع الاتجاهات داخل البلورة، والشكل (12-2) يبين الاشعة الساقطة بزاوية θ على عدد من المستويات المتوازية ذات الاحداثيات hkl والتي تنفصل عن بعضها بمسافة d_{hkl} وكذلك بين الاشعة المنعكسة عن تلك المستويات وبنفس زاوية السقوط اي ان الاشعة الساقطة والمنعكسة لها نفس الطور فاذا كان فرق المسار البصري للأشعة المنعكسة عن السطح الاعلى والسطح المجاور تساوي $2dsin\theta$ حيث ان θ هي الزاوية المحصورة بين الحزمة الساقطة والعمود المقام عند نقطة الانعكاس و d تمثل المسافة بين المستويات يحصل تداخل بناء في الحزم المنعكسة عندما يكون الفرق بالمسار البصري مساويا للأعداد الصحيحة من الطول الموجي للأشعة الساقطة وبهذا يتحقق شرط براك للحيود بالعلاقة التالية:

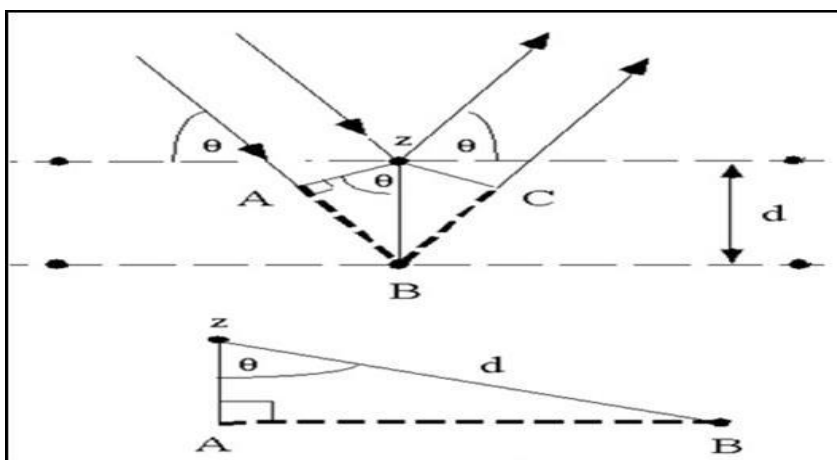
$$n\lambda = 2d \sin \theta \quad \dots \dots \dots (9-2) [86]$$

n: تمثل رتبة الحيود ($n=1, 2, 3, 4, \dots, n$)، كلما زادت رتبة الحيود تقل الشدة.

d: تمثل المسافة بين المستويات البلورية المتعاقبة (المسافة البينية العمودية).

θ : تمثل زاوية براك التي يحدث عندها الحيود.

λ : الطول الموجي للاشعة السينية بوحدة (nm)، ولكي يتم تحقيق انعكاس براك يجب ان يتحقق شرط براك ($2d \geq \lambda$). [86]



الشكل (12-2) يوضح حصول التداخل البناء بين المستويات البلورية [86]

Structure Parameters

(18-2) المعاملات التركيبية

Lattice constant (a)

(1-18-2) ثابت الشبكة

يتم حساب ثابت الشبكة للتركيب البلوري المكعب من العلاقة التالية:

$$d_{hkl} = \frac{a}{\sqrt{h^2+k^2+l^2}} \quad \dots \dots \dots (10-2) [87]$$

d: المسافة بين مستويات السطوح البلورية.

a: ثابت الشبكة في التركيب البلوري للمكعب.

hkl: معاملات ميلر.

من قانون براك نجد

$$d_{hkl} = \frac{n\lambda}{2 \sin \theta} \quad \dots \dots \dots (11-2)$$

من تعويض معادلة (10-2) في معادلة (11-2) نحصل على :

$$a = \frac{n\lambda \sqrt{h^2+k^2+l^2}}{2\sin\theta} \quad \dots\dots\dots (12-2)[87]$$

Average crystalline size (D)**2-18-2) معدل الحجم البلوري**

لحساب الحجم البلوري استخدام معادلة شيرر (D_{sh})

وبحسب المعادلة التالية:

$$D = \frac{k\lambda}{\beta_{hkl}\cos\theta} \quad \dots\dots\dots (13-2)[87]$$

D: معدل الحجم البلوري .nm

λ : الطول الموجي للاشعة السينية والذي قيمته (1.5406 Å).

K: ثابت قيمته (0.94-0.9) ويسمى بعامل الهيئة او التشكيل.

β_{hkl} : اقصى عرض لمنتصف الحزمة (FWHM) ويفاصل بوحدة Rad

θ : زاوية براك (زاوية سقوط الاشعة السينية) [87].

Theoretical Density**3-18-2) الكثافة النظرية**

تم حساب الكثافة النظرية للمادة باستعمال تقنية حيود الاشعة السينية XRD حيث تعتبر الكثافة النظرية من الخواص المهمة للمادة السيراميكية حيث تدخل قيمتها في دراسة الخصائص الكيميائية والخصائص الميكانيكية وكذلك خواص العزل الكهربائي من خلال المعادلة التالية:

$$D_x = \frac{ZM_{wt}}{N_a V} \left(\frac{g}{cm^3} \right) \quad \dots\dots\dots (14-2)[88]$$

D_x : قيمة الكثافة المحسوبة من قياس X-ray بوحدة ($\frac{g}{cm^3}$).

M_{wt} : الوزن الجزيئي للمركب بوحدة (g/mole).

Z: عدد الذرات لوحدة الخلية.

N_a : عدد افوكادرو وقيمتها [6.022×10^{23} atom / mol].

V: a^3 حجم وحدة الخلية بوحدة cm^3 .

(4-18-2) الكثافة الظاهرية**Bulk Density**

الفراءيات سيراميكيات تتشكل بعملية التلبيس كما في صناعة الفخار وان الخصائص الاساسية لها تعتمد على الأساس على كثافتها قبل الحرق لأنها تحتوي على نسبة من المسامات هذه بدورها تندمج مع الاوكسجين خلال عملية التلبيس بهذا يدخل الاوكسجين في التشكيل المتبلور للفرايت او تشكيل الحبيبات للمركب المطلوب عند هذه العملية يزداد متوسط الوقت لعملية تركيز الكتلة، وبوجود فرق في كثافة الأشعة السينية الناتج بسبب الايونات الثانية التكافى يكون الاسهام الاكبر للمسامية تأثيرا على الكثافة للعينة ومن معرفة الابعاد الثلاثة للعينة [88] ، يتم ايجاد الكثافة الظاهرية من تطبيق المعادلة التالية:

$$D=M(g) / V(cm^3) \quad(15-2)[88]$$

D: الكثافة الظاهرية.

M: كتلة العينة.

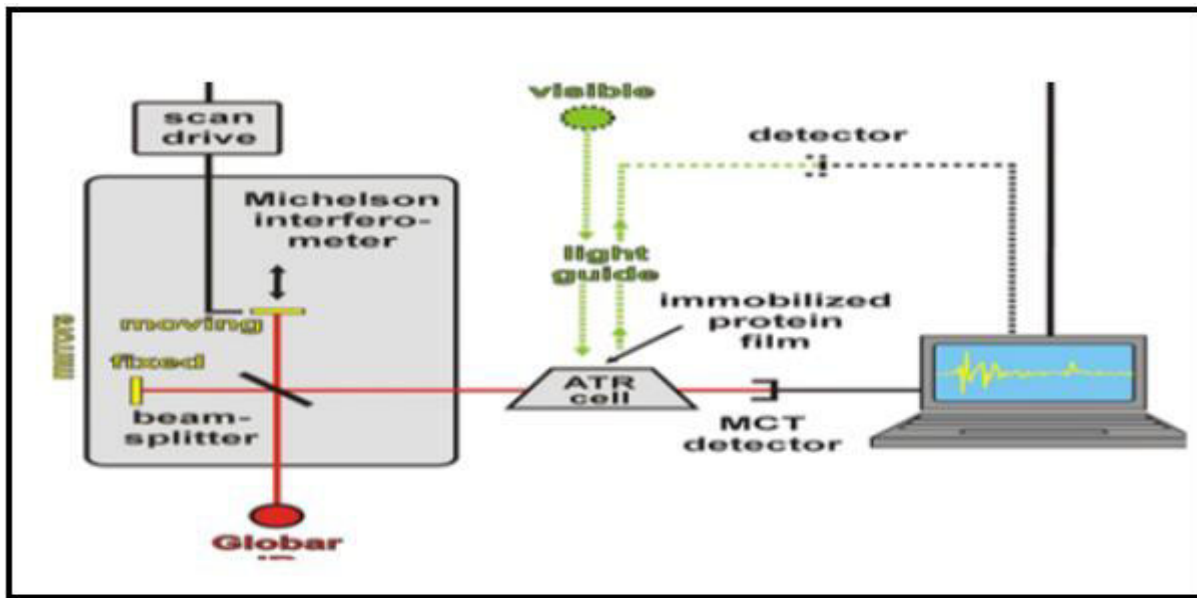
V: حجم العينة.

ومن ايجاد قيم الكثافة الظاهرية والنظرية للفرايتات تم حساب المسامية للفرايت والتي لها تأثير مهم على الخواص الميكانيكية والمغناطيسية للفرايت غالبا ما تكون المسامية المنخفضة مفضلاة في هذه المواد وتتراوح قيمتها بين 1% الى 15% بحسب درجة ونوع الفرايت ويتم حسابها من العادلة التالية [89].

$$P\% = (1 - D / D_x) \times 100 \% \quad(16-2)[89]$$

(19-2) مطياف تحويلات فوريير للأشعة تحت الحمراء**Fourier transform infrared spectroscopy FTIR**

ان فحوصات طيف الاشعة تحت الحمراء ضمن المدى (C^{-1} 400-4000) عند درجة حرارة الغرفة باستخدام مطياف الاشعة تحت الحمراء FTIR تعطينا معلومات حول اهتزاز الشبكة والبنية البلورية، وكيف توزع الايونات بين موقعي رباعي السطوح وثماني السطوح وبالتالي يتم تحديد الخواص الميكانيكية من خلال تحديد ثابت القوة للموقعين A:KA، B:KB كذلك تعطينا معلومات عن نوع البنية للفرايت السبيل ، والشكل (2-13) يبين مخطط توضيحي لعمل جهاز FTIR [90].



.[90] مخطط توضيحي لعمل جهاز FTIR

(20-2) المجهر الإلكتروني الماسح لأنبعاث المجال

Field Emission-Scanning Electron Microscopes (FE-SEM)

تعد تقنية FE-SEM احدى التقنيات المجهرية المستخدمة لتوفير المزيد من المعلومات عن التشكل السطحي او التكوين السطحي والتي ابتكرها العالم Erwin Muller ، لقد دفعت تقنية النانو بقوة الى تطوير المجهر الإلكتروني الحديث ليس فقط للحصول على زيادة دقة بالقياس بل للحصول على المزيد من المعلومات التركيبية للعينة ، بعد المجهر الإلكتروني الماسح لأنبعاث المجال FE-SEM من التقنيات القوية لتطوير مورفولوجيا سطح المواد عن طريق المسح النقطي وذلك من خلال استخدام حزمة عالية الطاقة من الالكترونات ودقة عالية تصل الى بضعة نانو متر تقربيا عند تسليط شعاع الالكترون على حجم بقعة صغيرة جدا باستخدام العدسات الكهروستاتيكية او المغناطيسية ، وعادة يتم استخدام العدسات الكهروستاتيكية لهذا الغرض من خلال مسح الشعاع الدقيق على سطح العينة باستخدام مولد المسح الضوئي حيث تتفاعل الالكترونات مع الذرات المكونة للمادة (العينة) لإنتاج اشارات ، هذه الاشارات التي تم الحصول عليها تنقل المعلومات حول التشكيل او التكوين السطحي وغيرها من الخصائص هذه الإشارات تشتمل على الالكترونات الثانوية والالكترونات المستطرارة والفو نونات والضوء المرئي والحرارة وبذلك يتم استخدام هذه الاشارات بشكل شائع لعينات التصوير حيث تعتبر الالكترونات الثانوية هي الاكثر قيمة لاظهار التشكيل على العينات والالكترونات المستطرارة ذات القيمة الاكثر اهمية لتوضيح بيانات عن التركيب متعدد الطور للعينات [91].

Dielectric Properties**(21-2) الخصائص العزلية الكهربائية**

تعد خاصية العزل الكهربائي من الخصائص البارزة للفراييات ويعتمد ثابت العزل في المواد السيراميكية على شدة المجال الكهربائي الخارجي فعندما تتعرض المادة العازلة إلى مجال كهربائي ذو تردد منخفض فإن ثنائي القطب يستطيع المتابعة في تغيير المجال، وعند هذه الحالة سيكون العازل مثالي أي يعمل على خزن الطاقة نتيجة الاستقطاب ، بالرغم من عدم مرور تيار كهربائي لذا فإن العوازل بإمكانها تخزين الطاقة على الرغم من حصول تسريب للتيار في غالبية المواد العازلة تعتمد الخواص العازلة للمواد على التركيب الكيميائي وحجم الجزيء وهيكله وكذلك على العوامل الخارجية مثل الضغط ودرجة الحرارة والرطوبة والكتافة والمجال الكهربائي المطبق لذلك من الضروري دراسة السلوك العازل للمواد عند الترددات المختلفة يتم دراسة هذه الخصائص باستخدام جهاز LCR meter ومن اسم الجهاز فان الأساس هو L يمثل المحاث C السعة R المقاومة ويتم استخدام جهاز LCR meter لأنّه يعطي نتائج دقيقة ومهمة لمكونات الأجهزة مثل المحوّلات والمكثفات والأجهزة الكهروكيميائية وكذلك قدرة هذا الجهاز على تطبيق شروط محددة مهمة للمقاومة وعامل التشتت ، يمكن قياس قدرة المادة العازلة على إعادة توجيه ثنائية الاقطاب باتجاه معين وتحييد الشحنات على الاقطاب الكهربائية تجريبياً من خلال السماحية النسبية او السماحية العازلة (ثابت العزل الكهربائي) [92].

Dielectric Constant**(1-21-2) ثابت العزل**

يعرف ثابت العزل بأنه النسبة بين السعة بوجود عازل وبين لوحين موصلين إلى السعة نفسها اذا كان بين لوحيها فراغ وتسمى بالسماحية النسبية للمادة (ϵ') (Relative Permittivity) وتعني قدرة المادة على خزن الشحنات الكهربائية خلالها كما في المعادلة التالية:

$$\epsilon' = \frac{C}{C_0} \quad \dots\dots\dots (17-2)$$

C تمثل سعة المتسعة بوجود العازل بين لوحيها وتقاس (بالفاراد).

C_0 تمثل سعة المتسعة بالفراغ (بالفاراد).

ϵ' السماحية النسبية .

فإذا أخذنا لوحين من متسعة المساحة السطحية لكل منها A والمسافة بينهما d وبين لوحيها فراغ ويتم تمثيل هاتين المنطقتين بمتسعة سعتها C_0 لذلك فإن سعة المتسعة عند ربطها بدائرة كهربائية تعطى بالمعادلة التالية:

$$C_o = \frac{\epsilon_0 A}{d} \quad \dots\dots\dots (18-2)$$

ϵ_0 سماحية الفراغ وهي كمية ثابتة $8.85 \times 10^{-12} \text{ F/m}$

وإذا وضعت مادة عازلة بين لوحاتها فان سعة الخزن سوف تزداد وتعطى بالمعادلة الآتية:

$$C = \frac{\epsilon A}{d} \quad \dots\dots\dots (19-2)$$

وعند تعويض معادلة (18-2) في معادلة (17-2) نحصل على :

$$C = \epsilon' \frac{\epsilon_0 A}{d} \quad \dots\dots\dots (20-2)$$

$$\epsilon' = \frac{Cd}{\epsilon_0 A} \quad \dots\dots\dots (2-2)[93]$$

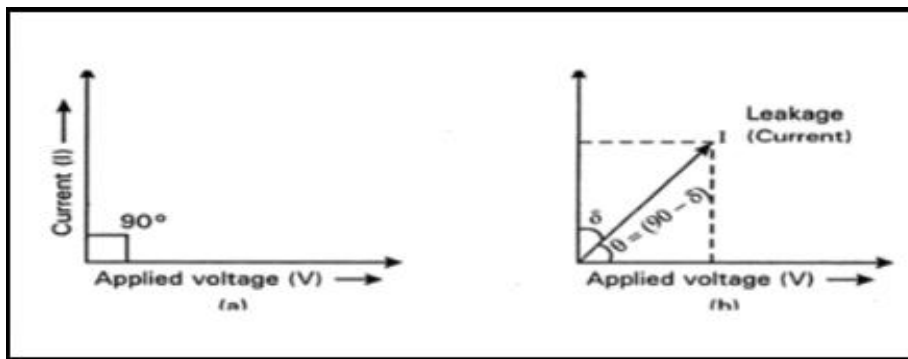
حيث يعتمد ثابت العزل على التردد للمجال الكهربائي الخارجي المطبق والذي ينخفض مع الزيادة بالتردد وكذلك الزيادة بدرجة الحرارة [93] .

Dielectric Loss (2-20-2) فقد العزل

يعرف فقد العزل بأنه ضياع كمية من الطاقة على شكل طاقة حرارية وهو ما يعرف بخسارة الطاقة عند الترددات العالية حيث ان فقدان العزل يؤدي الى تسخين العازل الكهربائي مما يؤدي الى فشل كهربائي وميكانيكي عندما يتم تطبيق تيار متعدد على المواد العازلة فأن قيمة الشحنة لا تقوى الى الجهد المطبق بمقدار 90° كما بالشكل (2.14) وان قيمة الزاوية ستكون $\Theta - 90^\circ = \delta$ وهي زاوية الخسارة العازلة وان هذه الزاوية هي مقياس لقدرة او الحرارة المشتتة في كل دورة ويتم احتساب خسارة العزل الكهربائي "ع من المعادلة التالية:

$$\epsilon'' = \epsilon' \times \tan \delta \quad \dots\dots\dots (22-2) [94]$$

وان هناك فرقاً في الطور بين الفولطية المسلطة على المتسعة والتيار المار فيها بزاوية قدرها 90° اما في حال وجود عازل بين لوحين المتسعة فان زاوية فرق الطور تكون اقل من 90° اي بزاوية δ وهذه تدعى بزاوية فرق الطور كما بالشكل (2-14).



الشكل (14-2) خسارة العزل الكهربائي (عامل التبديد) .

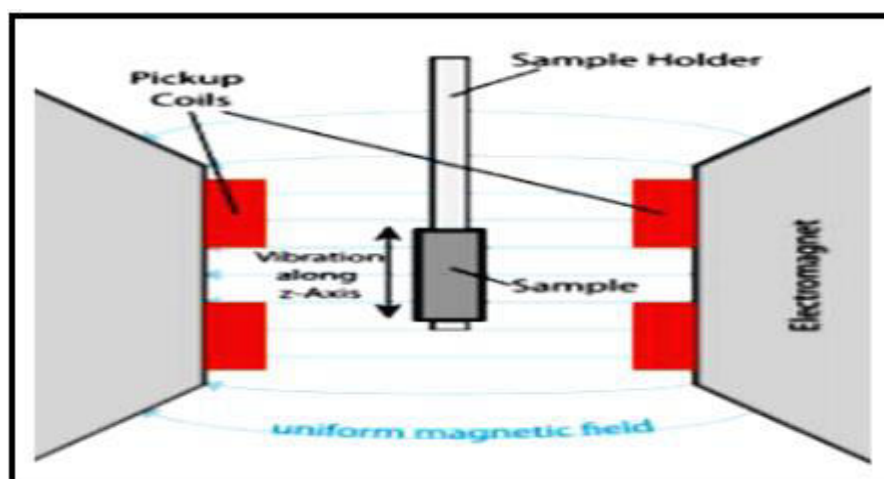
وان هذا يدل على وجود تياران هما وتيار المقاومة I_r التيار السعوي والذى يمتلك نفس الطور مع مقدار الجهد المسلط الخارجى اما التيار السعوي فيكون ذو فرق طور مقداره δ عن التيار المسلط .[94]

22-2) تقنية القياسات المغناطيسية Magnetic Measurements Techniques

نموذج الاهتزاز المغناطيسي Vibrating Sample Magnetometer (VSM)

تعد هذه التقنية باللغة الامريكية في دراسة الخصائص المغناطيسية للمواد وعرفت هذه التقنية من قبل الباحث Fornre Magnetometer لذلک احيانا تعرف باسمه Fornre Magnetometer تستند هذه التقنية على اساس حساب التغير في الفيصل المغناطيسي لملف عندما يسمح للنموذج ذي الخاصية المغناطيسية ان يتذبذب او يهتز بالقرب منه احيانا قد تكون العينة على شكل قرص حلقي صغير مربوط بطرف قضيب من مادة غير مغناطيسية مادة بوليميرية "النفلون" ، الشكل (2-15) يبين تقنية قياس الخواص المغناطيسية VSM

.[95]



الشكل (2-15) يوضح شكل مبسط لتقنية VSM .

ان نشوء هذه الحركة الاهتزازية تؤدي الى نشوء قوة دافعة كهربائية متذبذبة A.C في الملف الذي هو بمثابة قيمة نسبية للعزم المغناطيسي للنموذج المطلوب فحصه . ومن اجل تسجيل هذه الاشارة فيتطلب تكبيرها بواسطة مكبر ومضخم من اجل اظهار اي تغير قد يحصل بالمجال المغناطيسي المطبق، وبذلك سترسم صورة واضحة لحالة الاهتزازة للمادة والتي من الممكن تحولها بدلالة العزم المغناطيسي m او المغنته للمادة M او شدة الفيصل المغناطيسي B كما يجب ان يكون المحرك المولد للذبذبة يهتز ب مدى يجب ان لايزيد HZ 40 وبمسافة تذبذب لا تزيد عن (3mm - 2) وأن وزن العينة لا يتجاوز (1g) تعد تقنية VSM تقنية فعالة وذات حساسية عالية للمواد التي تمتلك خصائص مغناطيسية عالية وضعيفة كما بالامكان اجراء فحوصات VSM للمواد في درجات الحرارة العالية والمنخفضة يتم اجراء التوصيف المغناطيسي باستخدام العينة المراد قياسها عند درجة حرارة الغرفة ومن خلال حلقة التباطئ يتم حساب مغنة التشبع Ms وقيم التخلفية Mr وال المجال القهري Hc [96].

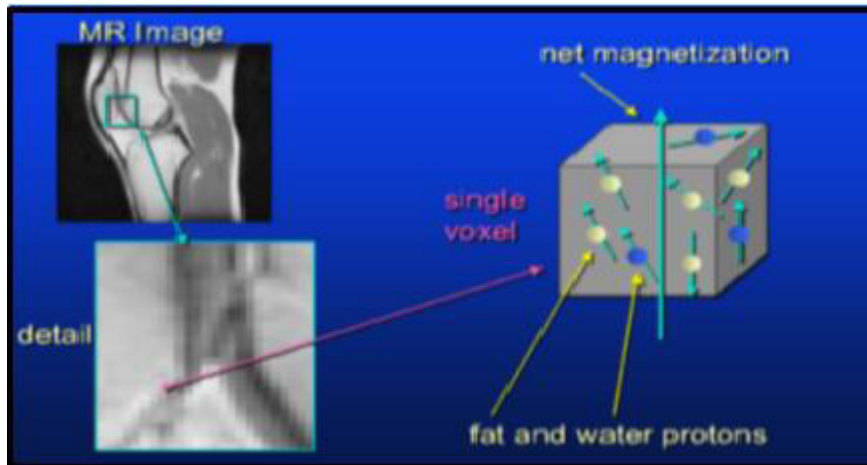
(23-2) تقنية التصوير بالرنين المغناطيسي

Magnetic Resonance Technology Imaging

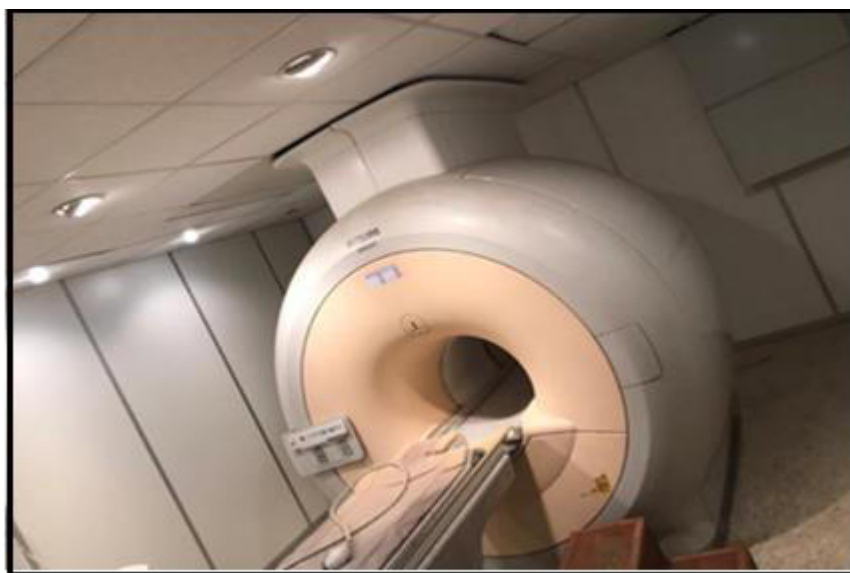
اشتملت الدراسة على تطبيق المادة المحضرة على احد الاجهزه الطبية ذات المبدأ الفيزيائي وهو جهاز التصوير بالرنين المغناطيسي Magnetic Resonance Imaging لذلك سيتم شرح مختصر عن عمل الجهاز:

تقنية جهاز التصوير بالرنين المغناطيسي MRI هو جهاز يعد مزيجا رائعا بين العلوم والهندسة المتقدمة بما في ذلك استخدام التوصيلية الفائقة Superior Connectivity وعلم التجميد والفيزياء الكمية والتكنولوجيا الرقمية والكمبيوتر كل ذلك يحصل بين جسم الانسان وجهاز الرنين المغناطيسي بدأ تطور التصوير بالرنين المغناطيسي في بداية السبعينيات ليصبح في الوقت الحاضر طريقة التصوير المفضلة لنسبة كبيرة من الفحوصات الاشعاعية "الجوهرة على تاج" التكنولوجيا الطبية ويعتمد التصوير بالرنين المغناطيسي بشكل كبير على حساسية وجود خصائص الماء والتي تشكل (70-90%) من الانسجة حيث تتغير كمية الماء في الانسجة بشكل كبير عند المرض او الاصابة مما يجعل جهاز MRI يكون حساسا للغاية كطريقة تشخيصية للأعضاء حيث يكشف عن التغيرات الضعيفة جدا في مغناطيس النواة وهو الكيان الصغير الذي يقع في قلب الذرة لذلك اصبح جهاز MRI وسيلة قوية ليس فقط بشرح الصور في علم الامراض ولكن ايضا لاكتشاف وظائف الاعضاء وللحصول في كيمياء الجسم الحي حتى لتصوير تفكير الدماغ، المبدأ الفيزيائي لعمل جهاز MRI يعتمد على الحقول المغناطيسية "المجال المغناطيسي" والمجواد الراديوية، تستخدم في اخذ صورة الرنين المغناطيسي مواد ملونة تساعد على تحسين الرؤيا لمكونات الجسم الداخلية وان اكثر المواد استخداما لتحسين الصورة هي مادة الكادميونيوم

Gd حيث تعمل هذه المواد على تقصير وقت الاسترخاء لللانوية في انسجة الجسم تبعاً لطريقة اعطائها الصورة بالشكل(16-2) تعطي شكل توضيحي لتكوين صورة الرنين المغناطيسي والشكل (17-2) يوضح صورة لجهاز الرنين المغناطيسي [97].



(16-2) شكل توضيحي لتكوين صورة جهاز الرنين المغناطيسي



الشكل (17-2) يوضح جهاز الرنين المغناطيسي

الفصل الثالث

الجزء العملي

Introduction**(1-3) المقدمة**

في هذا الفصل تم شرح وتوضيح المواد الأولية المستخدمة في تحضير المركب المغناطيسي النانوي فرایت كوبالت زنك حسب الصيغة $\text{Co}_{1-x}\text{Zn}_x\text{Fe}_2\text{O}_4$ وأن قيم x هي ($x = 0, 0.1, 0.3, 0.5, 0.7, 0.9$) على التوالي والفرایت النانوي المغناطيسي فرایت نيكل زنك بحسب الصيغة $\text{Ni}_{1-x}\text{Zn}_x\text{Fe}_2\text{O}_4$ لقيم ($x = 0, 0.1, 0.3, 0.5, 0.7, 0.9$) على التوالي كذلك تم شرح كافة الخطوات العملية والاجهزة التي تم استخدامها في تحضير العينات وحساب الاوزان وتحضير العينات من خلال عملية اذابة المحاليل وخلطها للحصول على الراسب ومن ثم كلسنتها وكبس العينات واجراء القياسات الفيزيائية التركيبية والمغناطيسيّة والكهربائية للفرایت النانوي المغناطيسي المحضر في هذه الدراسة والتي اشتملت على FE-SEM، LCRmeter، VSM، XRD، FTIR وبعدها تم اختيار افضل العينات المحضرة لأجراء التطبيق الطبي.

Raw Materials**(2-3) المواد الأولية**

تم تحضير المركبات الفرایتية باستخدام كل من كلوريدات الحديد الثلاثية، كلوريدات الكوبالت الثنائيّة، كلوريدات الزنك، كلوريدات النيكل الثنائيّة بالإضافة إلى هيدروكسيد الصوديوم مع استخدام الماء منزوع الايونات للحصول على محاليل ذات تجانس تام ويوضح الجدول (1-3) الخصائص الفيزيائية والكميّائية للمواد المستخدمة بالإضافة لكتل المولية لكل مادة والتي تم حسابها من الاوزان الذريّة ووفقاً للنسبة المئوية المعيارية للوزن المعياري تم اعتماد نسبة 2 مول لكلوريدات الحديد و 1 مول لكل من الزنك والكوبالت والنيكل.

جدول (1-3) المواد المستخدمة في تحضير العينات

Materials المواد	Chemical formula الصيغة الكيميائية	Molar mass g/mol الكتلة المولية	Purity النقاوة	The company الشركة	g/cm^3 Density الكثافة
Iron chloride III 	FeCl_3	162.204	97%	Alpha Chemicals	2.898
Znike choride II 	ZnCl_2	136.286	98%	Alpha Chemicals	2.91
Cobalt chloride II 	CoCl_2	129.839	97%	Alpha Chemicals	2.477
Nickel Chloride 	$\text{NiCl}_{26}(\text{H}_2\text{O})$	237.71	99.5%	Alpha Chemicals	3.55
Sodium hydroxide 	NaOH	40	98%	Alpha Chemicals	2.13

Instruments**(3-3) الأجهزة المستخدمة**

لتحضير الفرايت المغناطيسي النانوي سيتم عرض معظم الاجهزه التي تم استعمالها في المختبر واهم التقنيات التي استخدمت في فحص العينات.

Sensitive Electronic Balance**(1-3-3) الميزان الإلكتروني**

تم استخدام الميزان الإلكتروني (أمريكي المنشأ من شركة Genex Laboratories) لحساب الاوزان للمواد المستخدمة في تحضير العينات تصل القيم الى اربع مراتب بعد الفارزة أذ يتم تصفيير الجهاز قبل كل عملية مع مراعاة تنظيفه للحصول على اوزان بدقة عالية .

Magnetic Stirrer**(2-3-3) الخلط المغناطيسي**

هو جهاز يستخدم في عملية تحضير المواد وان أساس عمله هو المجال المغناطيسي الدوار لحركة السائل الموجود في الدورق الزجاجي المقاوم للحرارة بسرعة قابلة للتغيير عن طريق ازرار التحكم بالسرع وكذلك ازرار التحكم بدرجات الحرارة فعندما يكون المغناطيسي الدائم متصلة بمحرك كهربائي فعند دورانه يتأثر القطب المغناطيسي Magnetic Bar المغمور في السائل ويبدا بالدوران في نفس الاتجاه دون اي احتكاك ميكانيكي ولضمان الحصول على اذابة وتجانس للمحلول .

PH meter**(3-3-3) مقياس الأس الهيدروجيني**

هو جهاز يستخدم لقياس شدة الحامضية والقاعدية للمحاليل والمركبات وتعتمد الحامضية للمحلول على تركيز ايونات H^+ لأنها تعتبر المسؤولة عن الصفات الحامضية للمركب، مكونات الجهاز هي عبارة عن حساس (قطب زجاجي) يتصل هذا الحساس بمقاييس الكتروني يقوم بقياس الأس الهيدروجيني للمحلول حيث يتم قراءة الرقم الذي يظهر على شاشة الجهاز الشكل (1-3)

يوضح نوعين من (A) الجهاز الكهربائي (B) والكتروني.



الشكل (1-3) جهاز قياس pH meter

Incineration

(4-3-3) فرن الحرق

هو جهاز مختبري (كوري الصنع لشركة Labtech) يستخدم في عملية التجفيف والكلسنة والتلبيد للمواد حيث تصل درجة حرارته الى (1200 °C) يمتلك عزلاً حرارياً يتوفّر في داخله عناصر للتسخين ويتم السيطرة عليها بواسطة منظم حراري تم اعداده لهذا الغرض والشكل (2-3) يوضح صورة للجهاز المستخدم لklässne العينات.



الشكل (2-3) فرن الحرق المستخدم في تحضير المسحوق .

(4-3) تحضير الفرایت

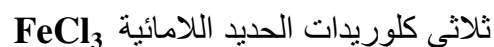
(1-4-3) تحضير الفرایت كوبلت زنك .

تم تحضير فرایت كوبلت زنك النانوي $\text{Co}_{1-x}\text{Zn}_x\text{Fe}_2\text{O}_4$ حيث ان قيم x على التوالي تبعاً للخطوات الآتية:

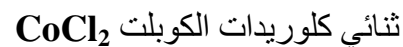
$$(0,0.1,0.3,0.5,0.7,0.9)$$

(1-1-4-3) حساب الاوزان الجزيئية للمواد:

يتم حساب الاوزان الجزيئية للمواد المستخدمة في تحضير الفرایت عن طريق حساب مجموع الاوزان الذرية للعناصر الاساسية المكونة للمادة الاصلية وبحسب الطريقة التالية:



$$\text{FeCl}_3 = 55.845 + (35.453 \times 3) = 162.21 \text{ g/mol}$$



$$\text{CoCl}_2 = 58.9331 + (35.453 \times 2) = 129.89 \text{ g/mol}$$

ثنائي كلوريدات الزنك $ZnCl_2$

$$ZnCl_2 = 65.38 + (35.453 \times 2) = 136.286 \text{ g/mol}$$

هيدروكسيد الصوديوم $NaOH$

$$NaOH = 22.9897 + 1 + 16 = 40 \text{ g/mol}$$

(2-1-4-3) حساب الاوزان للمواد المستخدمة في تحضير الفرایت:

تم الاعتماد على المعادلة (3-1) لحساب اوزان المواد التي تم استخدامها في تحضير الفرایت وكما مبين بالجدول (2-3):

$$[M] = \frac{m}{m.wt} \times \frac{v}{1000} \quad \dots \quad (1-3)$$

حيث ان M يمثل التركيز المولاري، m الوزن g، m.wt الوزن الجزيئي، V الحجم.

الجدول (2-3) يبين اوزان المواد المستخدمة في تحضير كوبالت زنك فیریت:

X	Iron chloride III $FeCl_3$ (g)	Zink chloride II $ZnCl_2$ (g)	Cobalt chloride II $CoCl_2$ (g)	Sodium hydroxide $NaOH$ (g)
0	32.442	0	12.984	5
1	32.442	1.3628	11.6856	5
2	32.442	4.0885	9.0888	5
3	32.442	6.8143	6.492	5
4	32.442	9.5400	3.3452	5
5	32.442	12.2657	1.2984	5

(3-1-4-3) طريقة التحضير:

لتحضير المركب كوبالت زنك فرایت $Co_{1-x}Zn_x Fe_2O_4$ تم اعتماد طريقة الترسيب الكيميائي المشترك Co-Precipitation Method و تتلخص هذه الطريقة بالخطوات التالية:

1. يتم اذابة كل من كلوريدات الحديد $FeCl_3$ في 200 مل من الماء المقطر، واذابة كلوريد الزنك الثنائي $ZnCl_2$ في 50 مل من الماء المقطر واذابة كلوريدات الكوبالت الثنائية في 50 مل من الماء المقطر كلا على حدة وحسب الجدول (2-3) الموضح فيه نسب الاوزان للمواد تتم الاذابة في بيكرات زجاجية مختبرية مقاومة للحرارة باستخدام جهاز التحريك المغناطيسي (Magnetic Stirrer) ولمدة 20 دقيقة للحصول على اذابة للمحاليل 100% كما موضح في الشكل (3-3).



الشكل (3-3) يوضح مراحل اذابة المحاليل

.2. يتم خلط المحاليل مع بعض مع الاستمرار بالتحريك بدون حرارة ولمدة 30 دقيقة الى ان نحصل على خليط متجانس كما بالشكل (4-3).



الشكل (4-3) مرحلة خلط المحاليل والحصول على خليط متجانس

.3. يتم اذابة 5 g من هيدروكسيد الصوديوم ثم نبدأ بالتقشير ببطئ باستخدام سحاحة زجاجية على الخليط المتجانس مع الاستمرار بالتحريك الى ان نحصل على خليط عند قيمة pH=12 كما بالشكل (5-3) مع الاستمرار بإضافة الهيدروكسيد نلاحظ ان الخليط يتحول الى خليط يشبه الجل والتي عندها تحتاج الى زيادة مدة التحريك لضمان حصول التجانس للخليط النهائي.



الشكل (5-3) يوضح مرحلة التقطير على الخليط

4. بعد وصول الخليط الى قيمة $pH = 12$ نقوم بتسخين الخليط الى نحصل على ثبوت بدرجة الحرارة $(90^{\circ}C - 100^{\circ}C)$ ولمدة ساعة كما بالشكل (6-3) الى ان نحصل على راسب.

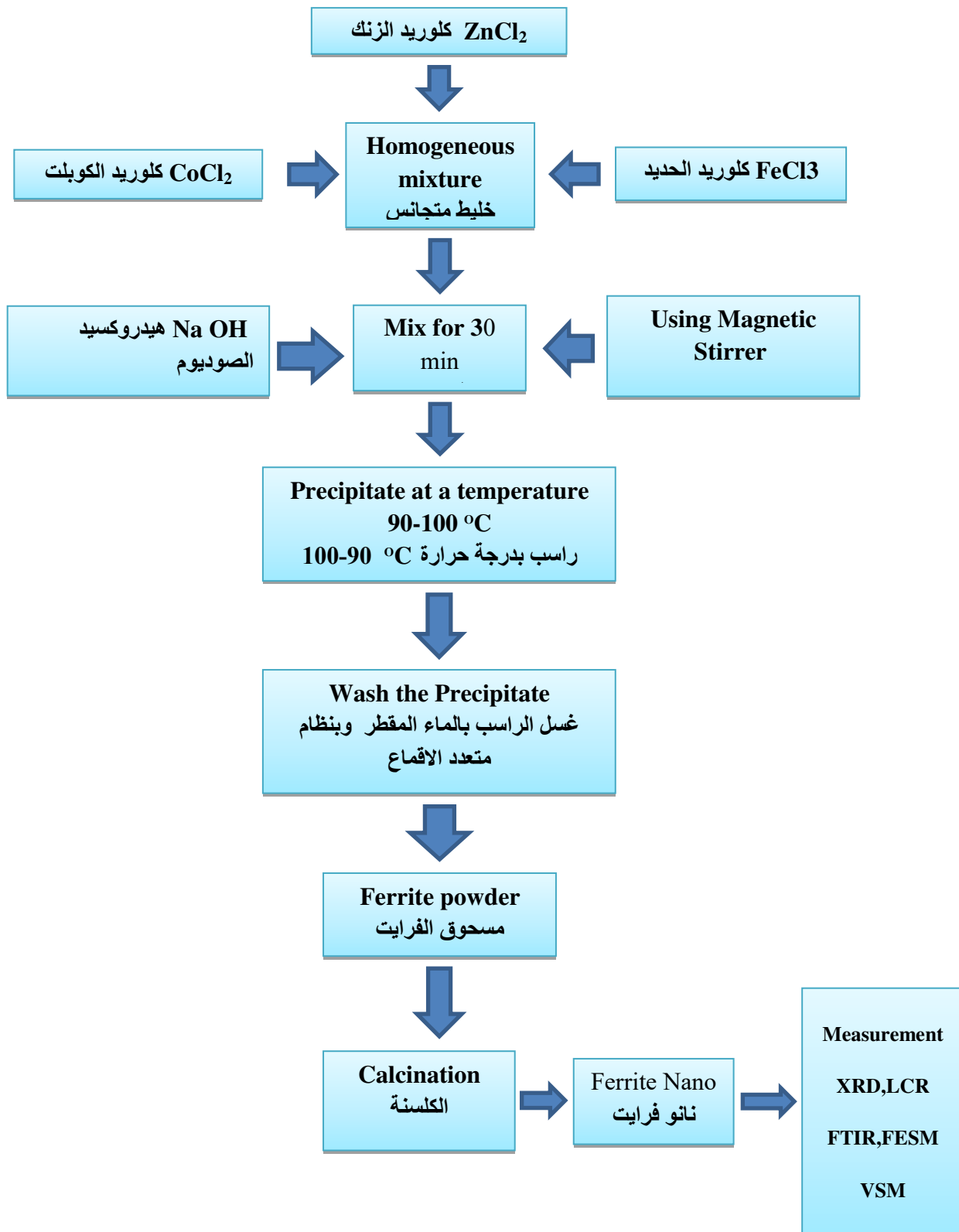


الشكل (6-3) يوضح مرحلة التسخين للخليط والحصول على راسب الفرايت

5. يتم تبريد الراسب وبعدها تبدأ مرحلة غسل الراسب بالماء منزوع الايونات ولعدة مرات باستخدام نظام متعدد الاقماع وذلك لضمان التخلص من الاملاح وكذلك لتسريع مرحلة التجفيف بدرجة حرارة الغرفة وتنتمي بعدها عملية الكلستنة عند درجة حرارة $300^{\circ}C$ للحصول على مسحوق المادة الفرايتيّة كما بالشكل (7-3).



الشكل (7-3) مرحلة الغسل والحصول على المسحوق الفرايتي



(2-4-3) تحضير الفرایت Ni Zn Fe₂O₄

يتم تحضير الفرایت نيكل زنك $Ni_{1-x}Zn_xFe_2O_4$ لقيم ($x=0,0.1,0.3,0.5,0.7,0.9$) على التوالي بطريقة الترسيب الكيميائي المشتركة Co-precipitation method وباتباع الخطوات الآتية:

(1-2-4-3) حساب الاوزان الجزيئية للمواد

يتم حساب الاوزان الجزيئية للمواد المستخدمة في تحضير الفرایت من مجموع الاوزان الذرية للعناصر المكونة للمادة وحسب الطريقة الآتية :

- ثلثي كلوريدات الحديد اللامائية $FeCl_3$ تم حسابها في تحضير الفرایت كوبالت زنك وقيمتها

$$162.21 \text{ g/mol}$$

- ثلثي كلوريدات الكوبالت $CoCl_2$ تم حسابها في تحضير الفرایت كوبالت زنك وقيمتها

$$129.89 \text{ g/mol}$$

- ثلثي كلوريد الزنك $ZnCl_2$ تم حسابها في تحضير الفرایت كوبالت زنك وقيمتها

$$136.286 \text{ g/mol}$$

- كلوريد النيكل الثنائي II المائي $NiCl_2 \cdot 6(H_2O)$

$$NiCl_2 \cdot 6(H_2O) = 58.6934 + (2 \times 35.453) + 6(1 \times 2 + 16) = 237.71 \text{ g/mol}$$

(2-2-4-3) حساب اوزان المواد المستخدمة في تحضير الفرایت:

يتم حساب اوزان المواد المستخدمة في تحضير الفرایت باستخدام المعادلة (1-3) وحسب الجدول (3-3):

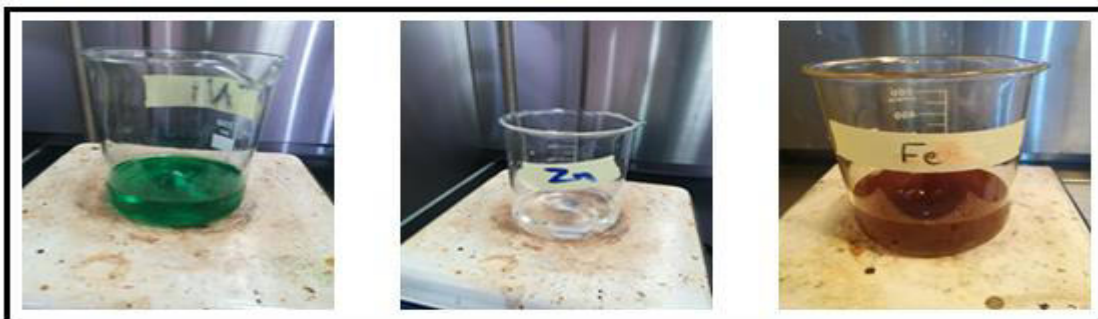
الجدول (3-3) يبين اوزن المواد المستخدمة في تحضير الفرایت نيكل زنك

X	Iron Chloride III $FeCl_3$ (g)	Zn Chloride II $ZnCl_2$ (g)	Nickel Chloride $NiCl_2 \cdot 6(H_2O)$ (g)	Sodium Hydroxide $NaOH$ (g)
0	32.442	0	23.717	5
1	32.442	1.3628	21.3939	5
2	32.442	4.0885	16.601	5
3	32.442	6.8143	11.858	5
4	32.442	9.5400	7.1151	5
5	32.442	12.2657	2.3717	5

(3-2-4-3) طريقة التحضير

لتحضير فرایت نیکل زنك $Ni_{1-x}Zn_xFe_2O_4$ تم اعتماد طريقة الترسيب الكيميائي المشترك Co-Precipitation Method و تتلخص هذه الطريقة بالخطوات الآتية:

1. يتم اذابة كل من كلوريدات الحديد $FeCl_3$ في 200 مل من الماء المقطر، واذابة كلوريد الزنك الثنائي $ZnCl_2$ في 50 مل من الماء المقطر واذابة كلوريدات النikel الثنائي في 50 مل من الماء المقطر كلا على حدة وبحسب الجدول (3-3) الموضح فيه نسب الاوزان للمواد تتم الاذابة في بيكرات زجاجية مختبرية مقاومة للحرارة باستخدام جهاز التحريك المغناطيسي Magnetic Stirrer ولمدة 20 دقيقة للحصول على اذابة للمحاليل 100% كما في الشكل (9 - 3).



الشكل (9-3) بين مرحلة الاذابة للمواد المستخدمة لتحضير فرایت نیکل زنك

2. يتم خلط المحاليل مع بعض مع الاستمرار بالتحريك ولمدة 30 دقيقة الى ان نحصل على خليط متجانس كما بالشكل (10-3).



الشكل (10-3) مرحلة الخلط للمحاليل المذابة

3. يتم اذابة (5g) من هیدروکسید الصوديوم ثم نبدأ بالتقشير ببطئ باستخدام سحاحة زجاجية على الخليط المتجانس مع الاستمرار بالتحريك الى ان نحصل على خليط عند قيمة $pH=12$ كما بالشكل (11-3).



الشكل (11-3) مرحلة التقطير لهيدروكسيد الصوديوم على الخليط

4. بعدها يتم تسخين الخليط الى نحصل على ثبوت بدرجة الحرارة ($90 - 100^{\circ}\text{C}$) ولمدة ساعة كما بالشكل (12-3). الى ان نحصل على راسب.

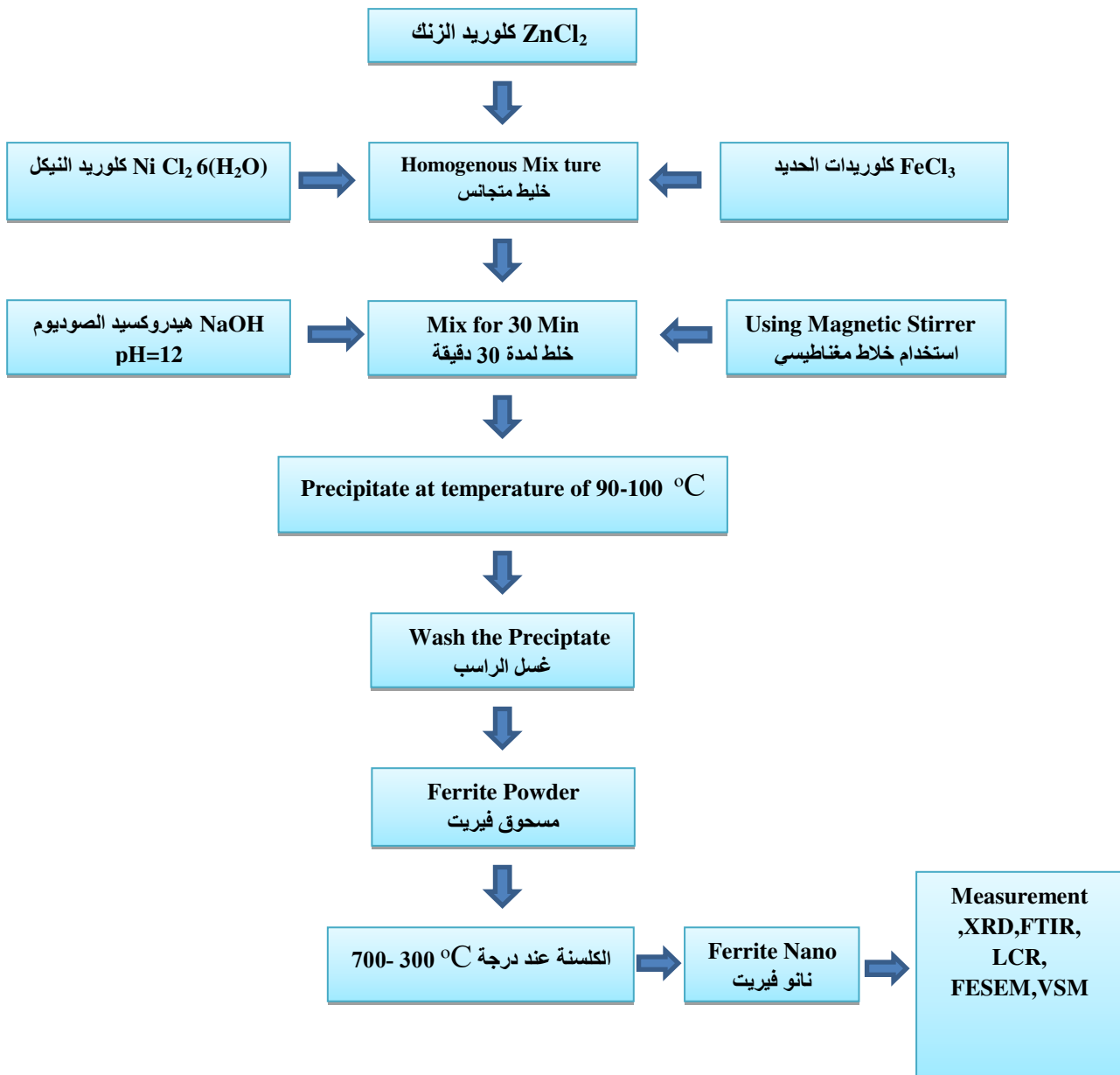


الشكل (12-3) مرحلة التسخين والحصول على الراسب

5. يتم تبريد الراسب وبعدها تبدي مرحلة غسل الراسب بالماء المقطر ولعدة مرات وذلك لضمان التخلص من الاملاح بدرجة حرارة الغرفة وتتم بعدها عملية الكلسنة عند درجة حرارة ($300 - 700^{\circ}\text{C}$) لمدة ساعة للحصول على مسحوق المادة الفرایتیة كما بالشكل (13-3).



الشكل (13-3) يبين مرحلة الغسل والتجفيف والحصول على الراسب الفرایتی .



(14-3) المخطط الانسيابي لتحضير الفرايت نيكل زنك

Thermal Treatment

(5-3) المعاملات الحرارية

بعد مرحلة الحصول على مسحوق الفرايت يتم اجراء عملية الكلسنة Calcinations Process للمسحوق وهي معاملة حرارية للمادة تحت الضغط الجوي الاعتيادي يتم التحكم في النظام الحراري للفرن من خلال وحدة التحكم وتم وضع المسحوق (CoZnFe₂O₄) فرايت كوبالت زنك داخل الفرن الكهربائي عند درجة حرارة (300 °C) ولمدة ساعة واحدة بينما يتم كلسنة المسحوق NiZnFe₂O₄ فرايت نيكل زنك عند درجة حرارة (700 °C و 300 °C) ويتم تعين درجة الحرارة بالاعتماد على درجة انصهار المادة ويترك المسحوق داخل الفرن الى اليوم التالي ليبرد ان الغرض من عملية الكلسنة هو الحصول على نمو الاطوار للمادة الفرايتية وكذلك للتخلص من بعض الاكاسيد .

Formation of Samples

6-3) تشكيل العينات

بعد مرحلة المعاملة الحرارية يتم اعداد العينات ويعتمد شكل العينة على نوع الفحص المطلوب، للقياسات الكهربائية يتطلب ان يكون شكل العينة على شكل اقراص ويتم كبسها باستخدام طريقة الكبس الجاف Dry pressing في مكبس هيدروليكي ، تم اخذ وزن 4g من السحوق المحضر لكلا المركبين وكبسه باستعمال قالب مصنوع من مادة Stainless Steel ذي قطر 2.5 cm وسمك 2mm وبتسليط ضغط مقداره 4000 طن ويترك القالب تحت هذا الضغط لمدة 5 دقائق ، والشكل (15-3) يوضح العينات التي شكلت على شكل اقراص.



الشكل (15-3) يوضح تشكيل العينات على شكل اقراص

Structure Characterization

7-3) الفحوصات التركيبية

1-7-3) قياس طيف حيود الاشعة السينية

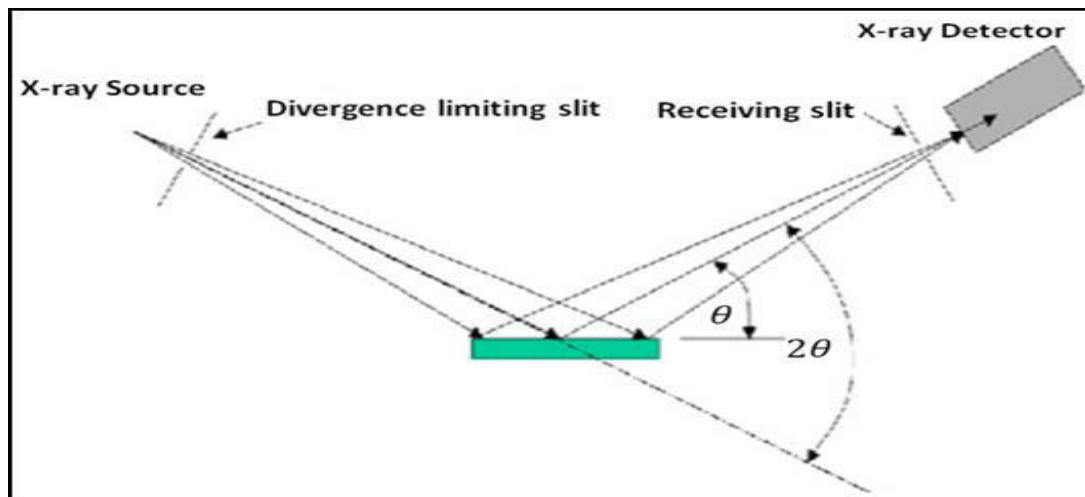
هي احدى التقنيات المستخدمة للحصول على معلومات حول البنية البلورية وكذلك الحصول على الخواص التركيبية للمواد ويستخدم في هذه التقنية جهاز حيود الاشعة السينية من نوع Shimadzu XRD-6000 (تم القياس في المختبر المركزي في كلية التربية ابن الهيثم) يعمل هذا الجهاز على فرق جهد 40 kV وتيار 30 mA علماً ان الطول الموجي 0.154 nm والهدف المستخدم $\text{Cu}-\text{k}_{\alpha 1}$ الشكل (16-3) بين جهاز XRD المستخدم بالقياس وبمدى زاوي مقداره $(80^\circ - 20^\circ)$ والتي يحصل عندها التداخل البناء للموجات الساقطة على سطح المسحوق ومنها نستطيع ان نجد المسافة بين الاسطح البلورية وكذلك اقصى عرض لمنتصف الشدة FWHM والتي منها نجد الحسابات التركيبية ومقارنتها مع البطاقات الخاصة JCPDS التي من خلالها يتم التأكد من صحة البيانات التي تم الحصول عليها.



الشكل (16-3) جهاز حيود الاشعة السينية .

ت تكون اجهزة حيود الاشعة السينية النموذجية من ثلاثة اجزاء رئيسية هي مصدر الاشعة السينية وحامل العينة وكاشف الاشعة السينية ،يقع المصدر والكافش والبصريات المرتبطة به على محيط الدائرة وحامل العينة في المركز.

ان قانون براك هو اساس حيود الاشعة السينية XRD والزاوية بين مستوى العينة ومصدر الاشعة هي θ والمعروفة بزاوية براك في حين تمثل الزاوية بين اسقاط الاشعة السينية والكافش 2θ ، والشكل (17-3) يبين المخطط التوضيحي لحيود الاشعة السينية اذ تمثل(2θ) الزاوية بين الاشعة الساقطة والاشعة المنعكسة [98].



الشكل (17-3) تمثيل تخططي لحيود الاشعة السينية

(8-3) تحولات فوريير للأشعة تحت الحمراء

Fourier Transform Infrared Spectroscopy (FT-IR)

تم استخدام تقنية التحليل الطيفي للأشعة تحت الحمراء لتحولات فورييه وذلك للحصول على معلومات عن هيكلية أنظمة الفرايت المحضرة، تم استخدام اطيف FTIR لتحديد موقع نطاق الامتصاص من اطيف تحولات فورييه لجميع العينات المحضرة فرايت كوبالت زنك $\text{Co}_{1-x}\text{Zn}_x\text{Fe}_2\text{O}_4$ وفرايت نيكل زنك $\text{Ni}_{1-x}\text{Zn}_x\text{Fe}_2\text{O}_4$ حيث تم كلسنة المساحيق المحضرة عند درجتي حرارة 300°C ، 700°C على التوالي لقد تم استخدام جهاز طيف الاشعة عند نطاق موجة يتراوح (cm^{-1}) 4000-250 (4000-250) وباستخدام (KBr) ويتم التعرف من خلال هذا القياس على الطور المتكون للفرايتات المحضرة تم اجراء القياسات FTIR في المختبر المركزي كلية العلوم جامعة دبى والشكل (18-3) أدناه يوضح صورة لجهاز FTIR المستخدم بالقياس.



شكل (18-3) جهاز FTIR

(9-3) انبعاث المجال للمجهر الإلكتروني الماسح

(FE-SEM) Field Emission-Scanning Electron Microscopes

يعد القياس بالمجهر الإلكتروني الماسح بانبعاث المجال FESEM من القياسات شائعة الاستعمال لأنها تعطي قياسات دقيقة وصور، يستخدم هذا الجهاز لتصوير اسطح المواد والتي تعطي صور دقتها تصل إلى مقياس النانومتر.

تم استخدام هذا الجهاز لفحص العينات المحضرة وملاحظة التشكيل السطحي الفرايت كوبالت زنك $\text{Co}_{1-x}\text{Zn}_x\text{Fe}_2\text{O}_4$ وفرايت نيكل زنك $\text{Ni}_{1-x}\text{Zn}_x\text{Fe}_2\text{O}_4$ والمحضرة عند قيم $x = 0, 0.1, 0.3, 0.5, 0.7, 0.9$ على التوالي ولكل المركبين حيث تمت الكلسنة بدرجة حرارة 300°C و 700°C لمركب كوبالت زنك فيرايت و لمركب نيكل زنك فيرايت. تمت عملية الفحص بالمجهر الإلكتروني الماسح لانبعاث المجال FE-SEM عند درجة حرارة الغرفة باستخدام

النموذج (Mira3-XMU, TESCAN, japan) في مركز Dey Petronic co طهران – ايران، من خلال الفحص تم تحديد حجم الجسيمات للمساحيق المحضره وكذلك التركيز على الهيكلية باستخدام هذا الجهاز و الشكل (3-19) يوضح صورة لجهاز المجهر الالكتروني الماسح لانبعاث المجال المستخدم في الدراسة [99].



. الشكل (3-19) جهاز FE-SEM

(10-3) قياس الخصائص الكهربائية:

The Electrical Properties Measurement :

تعتمد الخصائص الكهربائية العزلية للمواد على تركيبها الكيميائي وحجم الجسيمات و هيكلها بالإضافة الى العديد من العوامل الخارجية مثل الضغط و درجة الحرارة والرطوبة ويتم دراسة الخواص العزلية للمواد عند ترددات مختلفة باستخدام جهاز LCR- meter حيث يتضح من اسم الجهاز ان L تمثل محاث اساسي C السعة R المقاومة [100] ، و عادة يتم استخدام جهاز LCR-meter لأجراء الفحوصات الخاصة بالقياسات الكهربائية وهو من نوع:

Gwinsteek,LCR-8105G(50Hz-1MHz),GpIB,Rs-232,Taiwan (20-3) ، اذ يتصل هذا الجهاز مع جهاز حاسوب من اجل اظهار البيانات الخاصة بالفحص للعينات على الشاشة الالكترونية مباشرةً حيث امكن قياس ظل زاوية الفقد $\tan\delta$ ضمن مدى التردد (50Hz-2MHz) كذلك قياس المتغيرات ϵ' ، ϵ'' وتم قياس سعة العينات وثبت العزل اذ ان ϵ''/ϵ' هما الجزء الحقيقي والجزءخيالي لثابت العزل الكهربائي [101].



الشكل(3-20) جهاز LCR meter

Magnetic Measurement

(11-3) الفحوصات المغناطيسية

تختلف انواع المواد التي تصنع منها الفراييات باختلاف نوع التطبيقات التي تصنع من اجلها وعموماً فأن الفراييات تكون مفضلة كثيراً في التطبيقات التكنولوجيا والطبية من خلال اجراء الفحوصات المغناطيسية باستخدام جهاز VSM (Vibrating Sample Magnetometer) يتم الحصول على حلقة الهسترة Hard Ferrite تكون عريضة وهذا يدل على الزيادة في التخلفية المغناطيسية على عكس الفراييات المرنة Soft Ferrite التي تكون حلقة الهسترة لها ضيقه وذلك بسبب نقصان التخلفية المغناطيسية وفي هذه الدراسة تم الحصول على الفحوصات المغناطيسية باستخدام هذا الجهاز عند درجة حرارة الغرفة للعينات المحضره فرايت كوبالت زنك والفرايت نيكل زنك تم الفحص (LBKFB model Meghnatis Daghigh Kavir Company) في مركز Dey Petronic co في طهران - ايران.

ان من اهم مميزات الفحوصات المغناطيسية للفراييات ايجاد حلقة الهسترة والتي تؤكد على امكانية استخدام المواد الفرايية في التطبيقات المختلفة وان افضل الفراييات التي تدخل في تطبيقات نقل الاشارة هي ذات حلقة الهسترة الضيقه وذلك لتجنب الخسارة الكبيرة بالطاقة وتم ايجاد حلقة الهسترة والتشبعية المغناطيسية Saturation Magnetization والنفاذية Permeability والقدرة الفهرية Force Corcivity والشكل (21-3) يوضح صورة الجهاز (VSM) المستخدم في القياس[27].



شكل (21-3) يوضح جهاز قياس الخواص المغناطيسية VSM

Medical Application

(12-3) التطبيق الطبي:

يعد استخدام عوامل التباين في التصوير بالرنين المغناطيسي اداة مهمة في التشخيص الطبي المرتبط بتشخيص الاعضاء الداخلية للجسم حيث تعمل عوامل التباين بشكل ملحوظ على تحسين التصوير خلال تعزيز معدلات الاسترخاء المغناطيسي للبروتونات المائية في الانسجة حيث يتم توزيعها على شكل مجموعات داخل الجسم لذلك تبدي استجابتها للمادة المغناطيسية [102] ، وفي هذه الدراسة سيتم استخدام المادة المحضرة مادة الكادلينيوم المستخدمة في التصوير بالرنين المغناطيسي من خلال ما تمتلكه المادة المحضرة من خواص مغناطيسية وتركيبية متميزة.

بذلك اشتمل التطبيق الطبي للدراسة الحالية على اختيار افضل النسب للفرايتس المحضرة ولكل المركبين فرايت كوبلت زنك وفرايت نيكل زنك اذ تم اختيار العينات اعتماداً على الخواص التركيبية بالإضافة الى الخواص المغناطيسية وذلك بعد التحقق من حجم الجسيمات من فحوصات FE-SEM وكذلك الخواص المغناطيسية التي تم الحصول عليها من فحص VSM وتم تطبيقها على جهاز الرنين المغناطيسي وهو احد الاجهزه الطبية التي تعمل على مبدأ المجالات المغناطيسية وتم استخدام الجسيمات المحضرة لدراسة امكانيتها كوسط تباين (Contrast Medium) في التصوير بالرنين المغناطيسي MRI، من اجل استخدام الجسيمات النانوية المحضرة في التطبيق الطبي يتوجب تحويل المساحيق المحضرة الى سائل مغناطيسي Fluid Ferro وحسب المراحل الآتية:

المرحلة الاولى:

1. تتلخص هذه المرحلة بتحويل المساحيق المحضرة الى سائل مغناطيسي ويتم ذلك من خلال اذابة المساحيق المحضرة وحسب القيم المبينة بالجدول (4-3) وحسب النسب التي تم اختيارها باستخدام مذيب Tetraethyl Ammonium hydroxide (TMAOH) (Solvent) رباعي مثيل هيدروكسيد الامونيوم وهو احد المذيبات الكيميائية وهو ملح امونيوم رباعي الصيغة الجزيئية $\text{N}(\text{CH}_3)_4\text{OH}$ يتمثل عادة ك محلول مركز في الماء او الميثانول غالبا ما يكون عديم الرائحة عندما يكون نقياً الا انه يحتوي على رائحة قوية وليس له تأثير سمية ولديه العديد من التطبيقات الصناعية والبحثية ، كثافته 91.154 غم/مول ، نقطة انصهاره ($^{\circ}\text{C}$ 153) يمتلك قابلية ذوبان عالية في الماء، تمت الاذابة للمساحيق النانوية المحضرة باختيار عينتين من المادة المحضرة والتي تم اذابتها بالمذيب الغروي المستخدم مع الماء منزوع الايونات كما مبين في الجدول (4-3) للفرايت كوبلت زنك ، والجدول (5-3) للفرايت نيكل زنك .

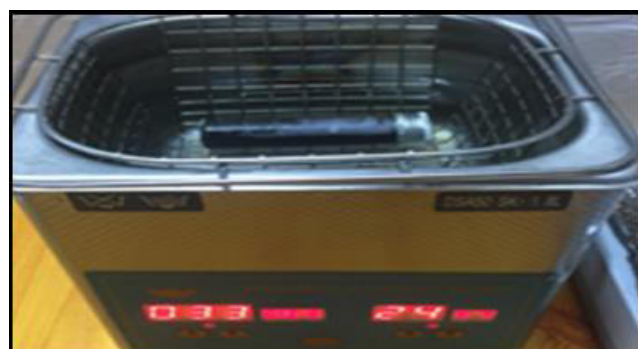
جدول (4-3) النسب التي تم اذابتها لفرايت كوبلت زنك

Sample	$\text{CoZnFe}_2\text{O}_4$ (g)	TAMOH mL	Distilled water mL
A4	0.01	1	9
A5	0.01	1	9

الجدول (5-3) النسب التي تم اذابتها لفرايت نيكل زنك

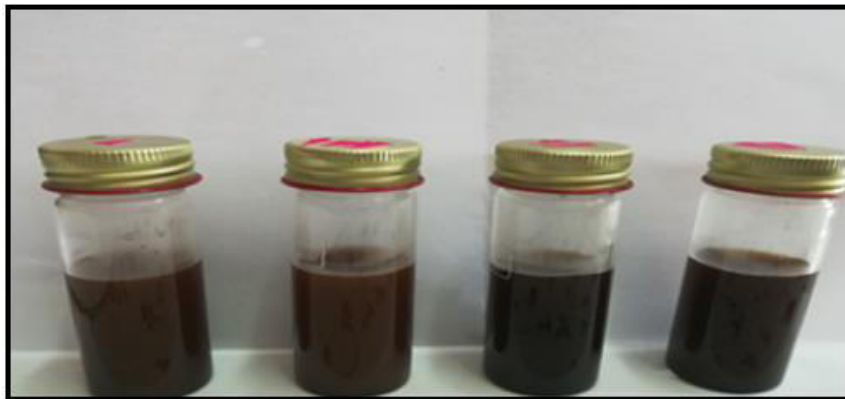
Sample	NiFe_2O_4 (g)	TAMOH mL	Distilled Water mL
C3	0.01	1	9
C4	0.01	1	9

2. تمت عملية الاذابة للمساحيق باستخدام جهاز الموجات فوق الصوتية (Ultra-sonic) الموضح بالشكل (22-3) لمدة خمس ساعات الى ان يتم الحصول على تشتت للمادة دون ان تترسب.



الشكل (22-3) جهاز الموجات فوق الصوتية

تم الحصول على السائل المغناطيسي وللعينات المبينة في الجدول والشكل (23-3) يوضح مرحلة الاذابة للعينات باستخدام المادة المذيبة والماء المقطر إذ تم اضافة الماء بصورة تدريجية من ثم تم اضافة المذيب TMAOH:



الشكل (23-3) مرحلة الحصول على المائع المغناطيسي .

المرحلة الثانية:

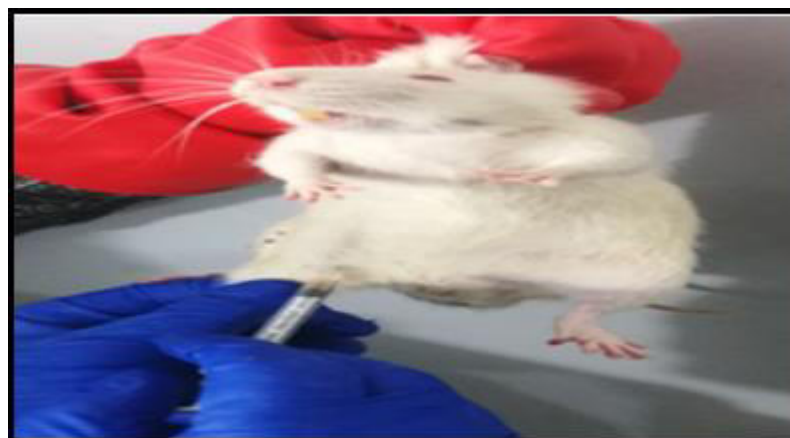
بعد مرحلة الحصول على السائل المغناطيسي تبدأ مرحلة اجراء التطبيق الطبي وتم اختيار دراسة تبادل الوسط على الصور الناتجة من جهاز MRI من خلال استخدام المادة المحضرة كمادة تلوين على الانسجة الرخوة على الجرذان (Rat)، تم استخدام الفئران المختبرية من نوع (Albino rat) والتي تم شراؤها من بيت الحيوانات المختبرية (الجامعة المستنصرية / كلية طب اليرموك / المركز العراقي لبحوث السرطان والوراثة الطبية) تمت معيشتها في كلية الطب / جامعة ديالى / البيت الحيواني باستخدام افراص مختبرية بأحجام (25×40 cm) مع استخدام رقائق الخشب فراشاً لاحفاظ على درجة الحرارة وتمت تغذيتها ب (Pellet) عند درجة حرارة (25-30 °C) في ظل دورة 12-12 ضوء- ظلام وكما مبين في الشكل (24-3) وتم اختيار الفئران المختبرية (rat) للدراسة بوزن 250 g وبعمر يتراوح بين 3-4 أشهر، كما تم اعتماد الاستمارة الخاصة ببروتوكول اخلاقيات البحث العلمي الرسمية لهذا الغرض والصادرة بموجب مقررات كلية العلوم / جامعة ديالى .



الشكل (24-3) الفئران المختبرية التي اجريت عليها الدراسة داخل الاقفاص المختبرية .

المرحلة الثالثة:

تلخص هذه المرحلة بحقن الفئران المختبرية وكما في الشكل (25-3) إذ تم تخدير الفئران المختبرية بواسطة احد انواع المخدرات بجرعة 3 ملغم /كغم من وزن الجسم وذلك لضمان عملية اجراء فحص الرئتين ثم يتم بعدها الحقن بالمادة المحضرة (المائع المغناطيسي النانوي) كما بالشكل (26-3) والتي تم اختيارها اعتنادا على الخواص التركيبية والمغناطييسية والكهربائية ويحسب النسب المبينة بالجدول (4-3)(5-3).



الشكل (25-3) يبيين مرحلة التخدير للفئران المختبرية .



الشكل (26-3) يبين مرحلة الحقن بالمائع النانوي المحضر.

بعد اجراء عملية التخدير والحقن للحيوان المختبري بالمائع المغناطيسي يتم اجراء الفحص لدراسة تعزيز التباين للصور الناتجة من جهاز التصوير بالرنين المغناطيسي MRI من خلال وضع الحيوان المختبري داخل جهاز الرنين مع المحافظة على ضبط وقت التخدير وكما بالشكل (27-3).

ان مرحلة اعطاء الجرعة من الجسيمات النانوية المحضره التي تم تحويلها الى المائع المغناطيسي بجرعة مقدارها 2.5 ملغم /كغم من وزن الجسم بعد فترة من مرحلة الحقن بالمادة مقدارها 15 دقيقة يتم اجراء الفحص بجهاز الرنين المغناطيسي حيث يحدث استقرار للجسيمات الكبيرة في منطقة معينة بينما تستطيع الجسيمات الاصغر من 30 نانو متر ان تصل الى المنطقة المراد تصويرها لتعطي صورة واضحة على جهاز MRI والتي عندها يحدث انخفاض كبير في وقت الاسترخاء T_2 والذي بدوره يعطي شدة للإشارة الناتجة عن الانسجة ذات الصلة بالتصوير بالرنين المغناطيسي [103].



. الشكل (27-3) يوضح الحيوان المختبري داخل جهاز MRI

الفصل الرابع

مناقشة النتائج والاستنتاجات

Introduction

1-4 المقدمة

يتناول هذا الفصل عرض النتائج العملية للفياسات والفحوصات التي اجريت على المسحوق المحضر للمركبين فرایت كوبالت زنك $Co_{1-x}Zn_xFe_2O_4$ وفرایت نيكل زنك $Ni_{1-x}Zn_xFe_2O_4$ والتي تم تحضيرها بطريقة الترسيب الكيميائي المشترك (Co-Precipitation Method) حيث تم اعتماد قيم ($x = 0, 0.1, 0.3, 0.5, 0.7, 0.9$) على التوالي ولكل المركبين والتي من خلالها سيتم مناقشة النتائج واختيار افضل العينات لأجراء التطبيق الطبي وسيتم ادراجها في اربعة محاور اساسية هي:

المحور الاول: يتضمن هذا المحور دراسة الخصائص التركيبية للمركبين فرایت كوبالت زنك $Co_{1-x}Zn_xFe_2O_4$ والمركب فرایت نيكل زنك $Ni_{1-x}Zn_xFe_2O_4$ والتي تشتمل على نتائج فحوصات حيود الاشعة السينية XRD ونتائج فحوصات FTIR ونتائج فحوصات FE-SEM.

المحور الثاني: يتضمن هذا المحور الخواص الكهربائية العزلية للمركبين فرایت كوبالت زنك $Co_{1-x}Zn_xFe_2O_4$ والمركب فرایت نيكل زنك $Ni_{1-x}Zn_xFe_2O_4$ والتي اجريت باستخدام جهاز LCR meter والتي اشتغلت على حساب الخواص العزلية لفريایتات المحضر.

المحور الثالث: يتضمن هذا المحور دراسة الخصائص المغناطيسية للمركبات المحضرة من خلال فحوصات VSM حيث تم ايجاد حلقة الہسترة للمركبات المحضرة ولكافة النسب وكذلك ايجاد التشبعية المغناطيسية M_r وحساب القوة القهريّة H_c وحساب المغنة المتبقية M_s .

المحور الرابع: يتضمن هذا المحور التطبيق الطبي الذي تم اعتماده بعد الحصول على النتائج وذلك من خلال اختيار افضل النسب المحضرة من الفريایتات من حيث الخواص التركيبية والخواص المغناطيسية والخواص الكهربائية العزلية واشتمل التطبيق على استخدام الجسيمات النانوية المحضرة في احد الاجهزه الفيزيائية الطبية باستخدامه كمادة تلوين وكوسط تباين في جهاز التصوير بالرنين المغناطيسي MRI (Magnetic Resonance Imaging).

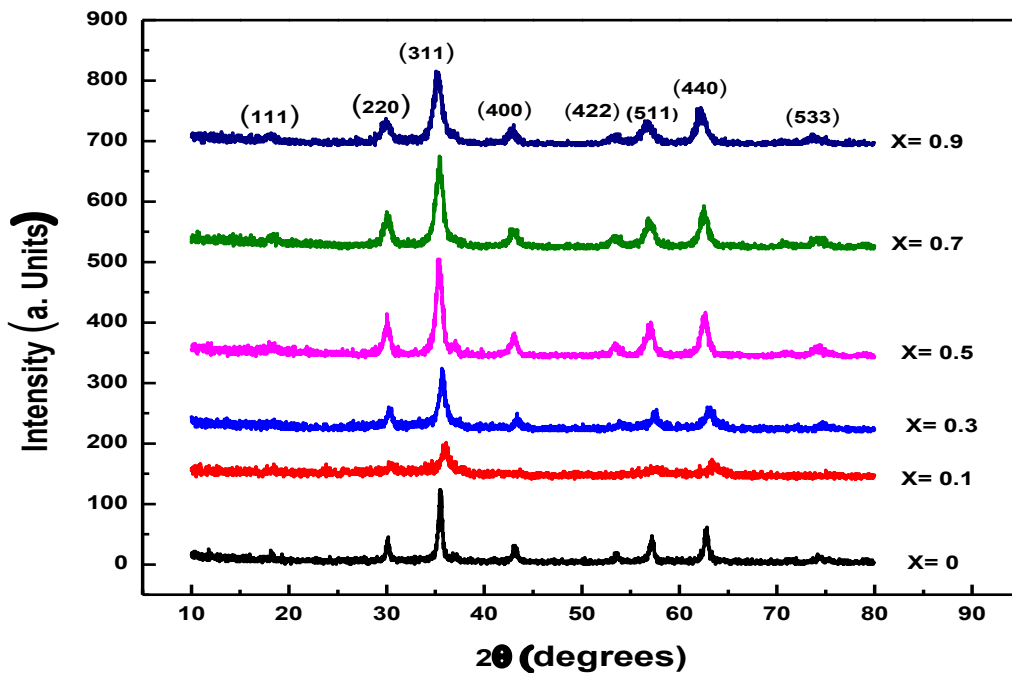
2-4 نتائج الفياسات التركيبية للمركبات المحضرة .

تلخص الفحوصات التركيبية للمركبات المحضرة اعطاء معلومات عن التركيب البلوري للمساحيق المحضرة بالإضافة الى اعطاء هوية المادة عن طريق تقنية حيود الاشعة السينية XRD وكذلك طيف حيود الاشعة تحت الحمراء FTIR وكذلك فحوصات جهاز المجهر الالكتروني الماسح للانبعاث المجلاني FE-SEM الذي يعطي معلومات عن التشكيل

السطحى للمواد والفراءيات المحضره والتي تمت كلسنتها بدرجة حرارة (300°C) لفرايت كوبالت زنك وبدرجة حرارة (300 و 700°C) لفرايت نيكل زنك ولمدة ساعة.

(1-2-4) نتائج فحوصات حيود الاشعة السينية للمركب فرايت كوبالت زنك

تم اجراء قياسات حيود الاشعة السينية (XRD) للعينات المحضره لفرايت كوبالت زنك حسب الصيغة الكيميائية $\text{Co}_{1-x}\text{Zn}_x\text{Fe}_2\text{O}_4$ وبحسب النسب لقيم ($x=0,0.1,0.3,0.5,0.7,0.9$) على التوالي والتي تم تحضيرها بطريقة الترسيب الكيميائي المشترك عند درجة حرارة 300°C ومن خلال النتائج للفحوصات ظهرت قمم واضحة ضمن المدى ($2\Theta=10-80$) ان القمم تعود لمستويات البلورية (111,220,311,400,422,511,440,533) كما موضحة بالشكل (1-4) وتشير القمم الظاهرة في الشكل الى طبيعة التركيب البلوري لمسحوق الفرايت هو نوع التركيب المكعب المترافق الوجه FCC ومع زيادة استبدال الزنك Zn نلاحظ نشوء تركيب الأسبيل مع مرحلة واحدة لجميع بدائل الزنك وعند زيادة درجة الحرارة يزداد عند 300°C عرض منتصف الشدة العظمى لمستويات البلورية مما يشير الى صغر حجم الدقائق الفرائبية المحضره حتى تصل للاحجام النانوية التي تتراوح بين 8.5-20.2nm (ICSD 00-022-1086) لفرايت CoFe_2O_4 النقية عند قيمة ($x=0$), كذلك ان النتائج تؤكيد تركيب الأسبيل المكعب احدى الطور group Fd-3m (ICSD 00-022-1012) اما البطاقة القياسية ZnFe_2O_4 كما نلاحظ ان اقوى حيود يكون عند الذروة (311) ولجميع العينات بشكل عام وينتج تحويل طفيف في موضع الذروة مع مجموعة مستوى عرض الذروة والذي ينتج بسبب الاختلاف في طبيعة الكاتيونات المعدنية ،اما قيم ثابت الشبكة للعينات المحضره والتي قيمها بين (8.373-8.430 Å) وهذا يتلقى مع الباحث [104].



الشكل (1-4) انماط حيود الاشعة السينية للفرايت كوبالت زنك $\text{Co}_{1-x}\text{Zn}_x\text{Fe}_2\text{O}_4$ عند درجة حرارة 300°C .

Lattice constant

1-1-2-4) ثابت الشبكة

تم حساب ثابت الشبكة للعينات المحضرة باستخدام المعادلة (2-12) وذلك من خلال الاعتماد على قيمة المسافة بين المستويات البلورية (d -spacing)، يحدث التغيير في القيم لثابت الشبكة مع زيادة تركيز الزنك وكما مبين في الجدول (1-4)، والناتج بسبب اشغال ايونات الزنك (Zn^{+2}) في موقع رباعي السطوح (A-site) ، واسغال ايونات الكوبالت (Co^{+3}) في موقع ثمانى السطوح (B-site). ومن النتائج وكما مبين في الجدول (1-4) نلاحظ تغير قيم ثابت الشبكة مع زيادة تركيز الزنك وهذا يتفق مع الباحث [105].

2-1-2-4) الحجم الحبيبي

تم قياس الحجم الحبيبي باستخدام معادلة شيرر (2-13) من خلال معرفة عرض منتصف الشدة FWHM للمستوى (311) وكما في الجدول (1-4) ومن خلال النتائج التي تم حسابها نلاحظ ان جميعها تقع ضمن الحجم النانوي وان الحجم الحبيبي يقل مع زيادة تركيز الزنك حيث نلاحظ النقصان بالحجم الحبيبي وهذا يعود الى طريقة التحضير باستخدام المواد غير المائية وكذلك الترسيب الكيميائي ساعد على تحضير مواد فرايتية باحجام نانوية وهذا يتفق مع الباحث [106].

جدول (1-4) يبين قيم ثابت الشبكة والحجم الحبيبي للفرايت كوبلت زنك $\text{Co}_{1-x}\text{Zn}_x\text{Fe}_2\text{O}_4$

Sample العينة	Molur ratio النسبة المولارية	Composition	2Θ	FWHM	$a \text{ \AA}$ ثابت الشبكة	D (nm) الحجم الحبيبي
A1	0	CoFe_2O_4	35.5279	0.4110	8.373	20.2
A2	0.1	$\text{Co}_{0.9}\text{Zn}_{0.1}\text{Fe}_2\text{O}_4$	35.9820	0.8500	8.370	14.8
A3	0.3	$\text{Co}_{0.7}\text{Zn}_{0.3}\text{Fe}_2\text{O}_4$	35.726	0.6317	8.328	12.6
A4	0.5	$\text{Co}_{0.5}\text{Zn}_{0.5}\text{Fe}_2\text{O}_4$	35.404	0.773	8.401	10.8
A5	0.7	$\text{Co}_{0.3}\text{Zn}_{0.7}\text{Fe}_2\text{O}_4$	35.4175	0.945	8.397	9.07
A6	0.9	$\text{Co}_{0.1}\text{Zn}_{0.9}\text{Fe}_2\text{O}_4$	35.267	1.060	8.430	8.5

3-1-2-4) الكثافة النظرية والكثافة الظاهرية والمسامية للفرايت كوبلت زنك .

لقد تم حساب الكثافة النظرية ($\rho_{x\text{-ray}}$) للفرايت حسب المعادلة (14-2) والكثافة الظاهرية (ρ_{bulk} gm/cm³) حسب المعادلة (15-2) ولجميع العينات المحضره للفرايت كوبلت زنك مع حساب المسامية حسب المعادلة (16-2) حيث اظهرت النتائج وكما مبين في الجدول ان قيم الكثافة الظاهرية، قيم الكثافة النظرية تكون متقاربة والتي تعطي قيم دقيقه للمسامية وان التغير في قيم الكثافة للعينات مع زيادة تركيز الزنك والذي يجب ان يكون بسبب الوزن الذري للزنك مقارنة مع الكوبلت (2-4).

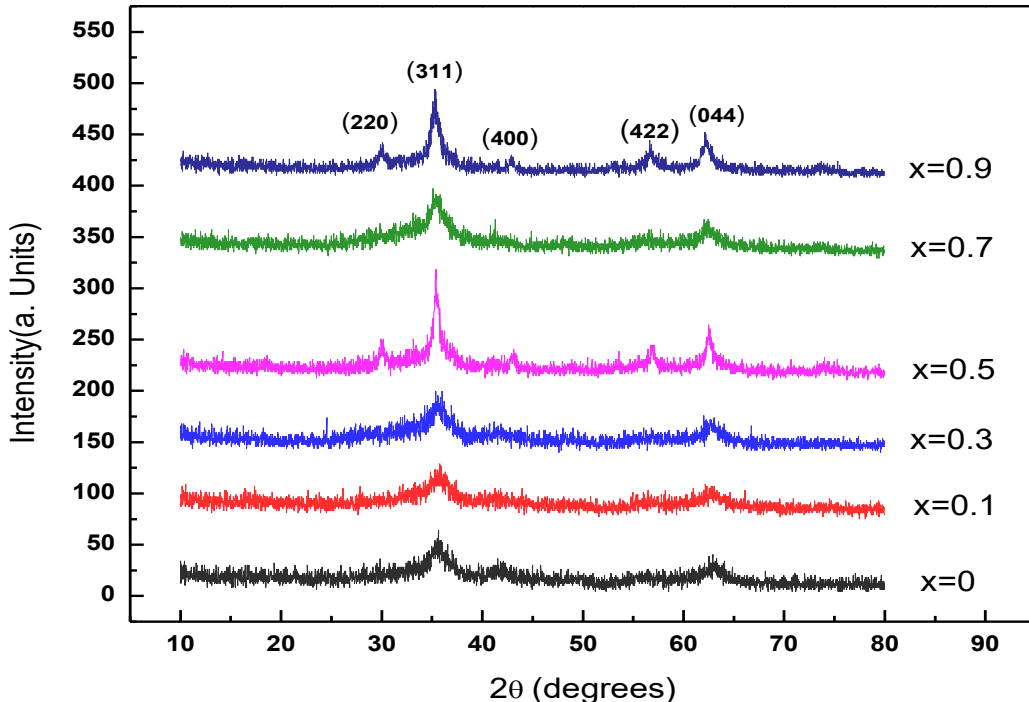
جدول (2-4) يوضح قيم الكثافة الظاهرية والكثافة النظرية والمسامية للفرايت كوبلت زنك

Sample العينة	Molur ratio النسبة المولارية	Composition	الكثافة الظاهرية $\rho_{\text{bulk}} \text{ gm/cm}^3$	الكثافة النظرية $\rho_{x\text{-ray}} \text{ gm/cm}^3$	P% المسامية
A1	0	CoFe_2O_4	2.79	4.76	43.27
A2	0.1	$\text{Co}_{0.9}\text{Zn}_{0.1}\text{Fe}_2\text{O}_4$	2.96	4.82	39.83
A3	0.3	$\text{Co}_{0.7}\text{Zn}_{0.3}\text{Fe}_2\text{O}_4$	2.64	4.78	45.60
A4	0.5	$\text{Co}_{0.5}\text{Zn}_{0.5}\text{Fe}_2\text{O}_4$	2.66	4.60	43.47
A5	0.7	$\text{Co}_{0.3}\text{Zn}_{0.7}\text{Fe}_2\text{O}_4$	2.51	4.74	47.25
A6	0.9	$\text{Co}_{0.1}\text{Zn}_{0.9}\text{Fe}_2\text{O}_4$	2.70	4.72	42.79

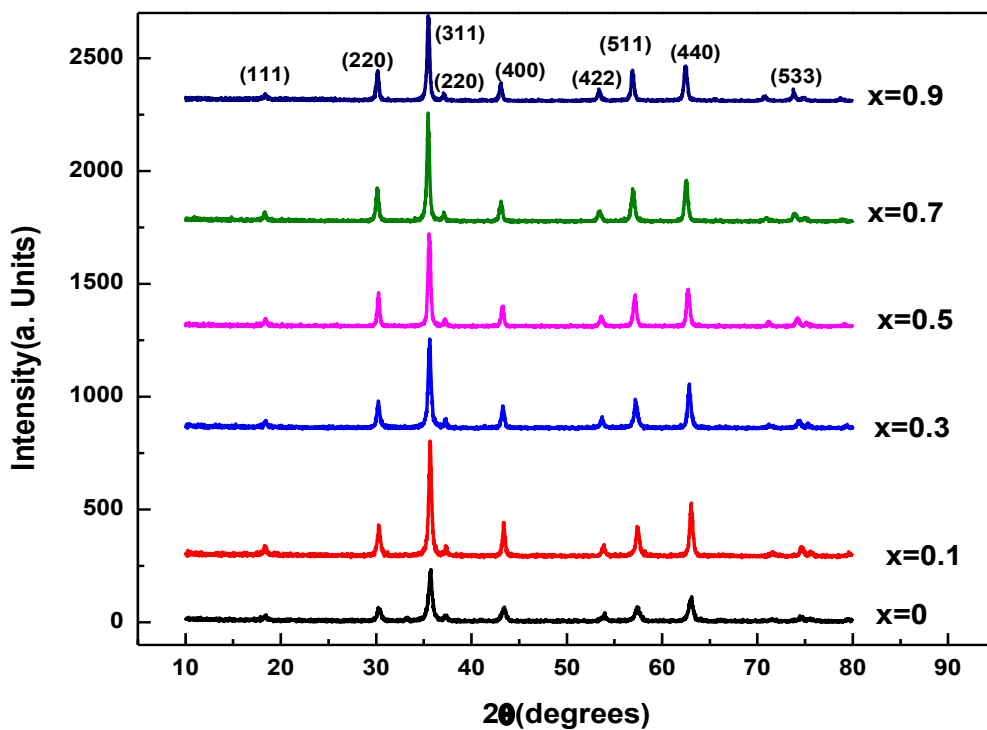
2-2-4) نتائج فحوصات حيود الاشعة السينية للمركب فرايت نيكل زنك .

من خلال فحوصات حيود الاشعة السينية للعينات المحضره لفرايت نيكل زنك $\text{Ni}_{1-x}\text{Zn}_x\text{Fe}_2\text{O}_4$ ولقيم x (0,0.1,0.3,0.5,0.7,0.9) على التوالي لقد اوضحت النتائج وكما مبين في الشكلين (2-4) ، والذي يبين انماط حيود الاشعة السينية XRD للفرايت نيكل

زنك عند درجة حرارة (300-700) على التوالي ، فعند درجة الحرارة (300 °C) وجد ان القمم العريضة في انماط XRD من فرایت النيكل المستبدل بالزنك تشير الى المرحلة غير المترابطة كما وجد ظهور قمم تعود للسطح (220) (311) (400) (422) والتي وجد انها توافق بين انمط الحبيبات لأشعة السينية لفرایت نيكيل النقي مع البطاقة القياسية (ICDS 00-054-0964) اما عند درجة حرارة 700 °C فيتم ملاحظة تبلور المادة الفرایتية وظهور القمم التي تعود للسطح (533) (511) (422) (400) (311)(220)(222) (311) (220) (111) والتي تتوافق مع البطاقة القياسية (ICDS 01-070-6496) ومن خلال ظهور القمة (311) وفي كلتا الحالتين مما يدل على تشكيل مرحلة السبنل بالنسبة للعينات المحضرة عند درجة حرارة 300 °C ولكن نلاحظ ان القمم تكون عريضة مقارنة بالعينات المكلسنة عند درجة حرارة 700 °C وعندها تظهر قمم اكثر حدة وهذا يشير الى زيادة التبلور والى نمو حبيبات لدقائق الفرایت مع زيادة درجة حرارة الكلسنة والذي ينتج عنه زيادة في الحجم الحبيبي مع زيادة درجة الحرارة وهذا يتواافق مع الباحث [107].



الشكل (4-2) انمط حيود الاشعة السينية لعينات فرایت النيكل زنك المحضر بدرجة حرارة 300 °C .



الشكل (3-4) انماط حيود الاشعة السينية لفراءيت نيكل زنك المحضر بدرجة حرارة 700°C .

Lattice Constant

1-2-2-4) ثابت الشبكة

تم حساب ثابت الشبكة للعينات لفراءيت نيكل زنك المحضرة عند درجة حرارة (300°C) باستخدام المعادلة (12-2) وحسب النتائج المبينة في الجدول (3-4) ، والذي يؤكد تشكيل الطور البلوري المكعب وان تشكيل تركيب السبيل من خلال ظهور القمة (311) مع زيادة كبيرة في قيمة عرض منتصف الشدة (FMHW) والذي يدل على عدم تبلور المادة ومن خلال النتائج نلاحظ تباين القيم لثابت الشبكة مع زيادة تركيز الزنك إذ ادت ايونات الزنك البديلة الى زيادة في ثابت الشبكة وهذا يتفق مع الباحث [34] كما بالشكل (4-2)، اما نتائج فحص حيود الاشعة السينية عند درجة الحرارة (700°C) فنلاحظ ظهور القمم لأعلى شدة وهذا يدل على تبلور المادة عند زيادة درجة الحرارة وكما مبين بالشكل (3-4) كما تم حساب ثابت الشبكة والذي يؤكد على تباين القيم مع زيادة نسب الزنك Zn^{+2} وكما مبين بالجدول (4-4).

Grain Size

2-2-4) الحجم الحبيبي

تم حساب الحجم الحبيبي للعينات المحضرة فراءيت نيكل زنك عند درجة حرارة 300°C باستخدام معادلة شيرر (13-2) وحسب القيم المبينة في الجدول (3-4) حيث تؤكد القيم الحجم النانوي للعينات المحضرة مع ظهور القمة (311) التي تؤكد الطور المغزلي للعينات ، اما عند زيادة درجة حرارة الكلسنة

فلاحظ زيادة الحجم الحبيبي وهذا يشير إلى زيادة التبلور والى نمو دقائق الفرايت مع زيادة درجة حرارة وهذا يتفق مع الباحث [108].

جدول (3-4) يبين قيم ثابت الشبكة والحجم الحبيبي للفرايت نيكل زنك $Ni_{1-x}Zn_xFe_2O_4$ عند درجة حرارة $300^{\circ}C$

Sample العينة	Molur ratio النسبة المولارية	Composition المركب	2Θ	FWHM	$a \text{ \AA}$ ثابت الشبكة	D (nm) الحجم الحبيبي
B1	0	$NiFe_2O_4$	35.662	1.25	8.341	6.9
B2	0.1	$Ni_{0.9}Zn_{0.1}Fe_2O_4$	35.677	0.960	8.337	9.1
B3	0.3	$Ni_{0.7}Zn_{0.3}Fe_2O_4$	35.116	0.559	8.467	14.3
B4	0.5	$Ni_{0.5}Zn_{0.5}Fe_2O_4$	35.494	0.660	8.381	13.2
B5	0.7	$Ni_{0.3}Zn_{0.7}Fe_2O_4$	35.417	1.280	8.394	7.2
B6	0.9	$Ni_{0.1}Zn_{0.9}Fe_2O_4$	35.327	0.940	8.417	14.5

جدول (4-4) يبين قيم ثابت الشبكة والحجم الحبيبي للفرايت نيكل زنك $Ni_{1-x}Zn_xFe_2O_4$ عند درجة حرارة $700^{\circ}C$

Sample العينة	Molur ratio النسبة المولارية	Composition المركب	2Θ	FWHM	$a \text{ \AA}$ ثابت الشبكة	D (nm) الحجم الحبيبي
C1	0	$NiFe_2O_4$	35.705	0.444	8.331	20.8
C2	0.1	$Ni_{0.9}Zn_{0.1}Fe_2O_4$	35.683	0.331	8.337	23.1
C3	0.3	$Ni_{0.7}Zn_{0.3}Fe_2O_4$	35.623	0.354	8.351	24.2
C4	0.5	$Ni_{0.5}Zn_{0.5}Fe_2O_4$	35.593	0.329	8.357	25.1
C5	0.7	$Ni_{0.3}Zn_{0.7}Fe_2O_4$	35.476	0.314	8.382	27.1
C6	0.9	$Ni_{0.1}Zn_{0.9}Fe_2O_4$	35.494	0.304	8.374	27.4

3-2-2-4) الكثافة النظرية والكثافة الظاهرية والمسامية للفرايتات .

تم حساب الكثافة النظرية والكثافة الظاهرية والمسامية للفرايت نيكل زنك باستخدام المعادلات (14-2)(15-2)(16-2) على التوالي وكما مبين في الجدول (5-4) عند درجة حرارة $(300^{\circ}C)$ والجدول (6-4) عند درجة حرارة $700^{\circ}C$ ، حيث نلاحظ القيمة المتقاربة بين قيم الكثافة الظاهرية والكثافة النظرية والتي اعتمدت عليها قيمة المسامية للفرايت ، ان المسامية تتناسب عكسياً مع الكثافة الظاهرية وان حجم الايونات المعرفة لها دور ايضاً فاذا كانت ذات حجم او نصف قطر اكبر من الايون المعرف فانها تزيد من المسامية وان كانت ذات نصف قطر اقل تقل المسامية لان الدقائق الصغيرة يمكنها من الدخول بالفراغات بين الايونات ذات نصف قطر الافضل وبالتأكيد فان زيادة درجة الحرارة تزيد من الانحناء البلوري والحجم الحبيبي فالدقائق الصغيرة تنتشر بين الدقائق الكبيرة او بداخلها فتقل المسافات وتزيد الكثافة [109] ، وكلما زاد النمو الحبيبي مع زيادة درجة الحرارة تزداد الكثافة وتقل المسامية ، والجدول (6-4) يوضح قيم الكثافة والمسامية للفرايت المحضر.

الجدول (4-5) يبين قيم الكثافة النظرية والكثافة الظاهرية والمسامية للفرايت نikel زنك عند درجة حرارة 300°C .

Sample العينة	Molur ratio النسبة المولارية	Composition المركب	الكثافة الظاهرية $d_{\text{bulk}} \text{ gm/cm}^3$	الكثافة النظرية $d_{\text{theo}} \text{ gm/cm}^3$	P% المسامية
B1	0	NiFe_2O_4	2.80	4.77	41.2
B2	0.1	$\text{Ni}_{0.9}\text{Zn}_{0.1}\text{Fe}_2\text{O}_4$	2.60	4.78	45.6
B3	0.3	$\text{Ni}_{0.7}\text{Zn}_{0.3}\text{Fe}_2\text{O}_4$	2.76	4.70	42.55
B4	0.5	$\text{Ni}_{0.5}\text{Zn}_{0.5}\text{Fe}_2\text{O}_4$	2.93	4.6	36.9
B5	0.7	$\text{Ni}_{0.3}\text{Zn}_{0.7}\text{Fe}_2\text{O}_4$	2.76	4.74	43.03
B6	0.9	$\text{Ni}_{0.1}\text{Zn}_{0.9}\text{Fe}_2\text{O}_4$	2.72	4.73	42.9

الجدول (4-6) يبين قيم الكثافة النظرية والكثافة الظاهرية والمسامية للفرايت نيكيل زنك عند درجة حرارة 700°C .

Sample العينة	Molur ratio النسبة المولارية	Composition المركب	الكثافة الظاهرية $d_{\text{bulk}} \text{ gm/cm}^3$	الكثافة النظرية $D_{\text{theo}} \text{ gm/cm}^3$	P% المسامية
C1	0	NiFe_2O_4	2.74	4.78	43.51
C2	0.1	$\text{Ni}_{0.9}\text{Zn}_{0.1}\text{Fe}_2\text{O}_4$	2.88	4.77	41.29
C3	0.3	$\text{Ni}_{0.7}\text{Zn}_{0.3}\text{Fe}_2\text{O}_4$	2.81	4.75	41.2
C4	0.5	$\text{Ni}_{0.5}\text{Zn}_{0.5}\text{Fe}_2\text{O}_4$	3.03	4.67	40.04
C5	0.7	$\text{Ni}_{0.3}\text{Zn}_{0.7}\text{Fe}_2\text{O}_4$	2.76	4.76	40.02
C6	0.9	$\text{Ni}_{0.1}\text{Zn}_{0.9}\text{Fe}_2\text{O}_4$	2.82	4.62	38.96

(3-4) الخواص التركيبية لفرايتات المحضرة FTIR

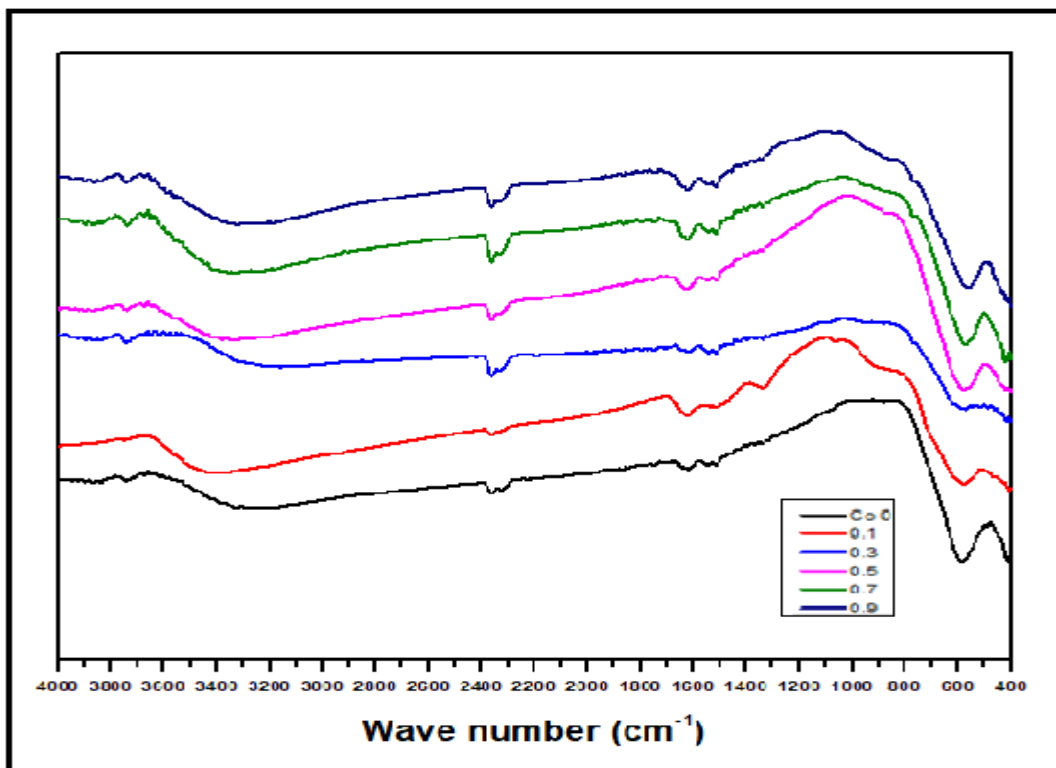
. (1-3-4) نتائج فحوصات FTIR لفرايت كوبالت زنك . $\text{CoZnFe}_2\text{O}_4$

تم اجراء فحوصات طيف الاشعة تحت الحمراء للعينات المحضرة باستخدام جهاز FTIR في حدود ($4000-400\text{cm}^{-1}$) وكما مبين في الشكل (4-4) حيث نلاحظ تشكل الاطياف حول اهتزاز الشبكة وان النطاقات التي تتراوح بين ($3531.01 - 3022.1\text{cm}^{-1}$) تعزى الى وجود اهتزاز لمجموعة الهيدروكسيد (OH) اما نطاقات المجموعة ضمن الحدود ($1413.5-1246.6\text{cm}^{-1}$) فأنها تعزى الى سلسلة (CO) اما اطياف الاهتزاز ضمن المدى ($1664.6-1524.6\text{cm}^{-1}$) فأنها ناتجة بسبب مجموعة الكلوريدات ، كما يمكن ملاحظة نمط الاهتزاز بين ($250 - 600\text{ cm}^{-1}$) والتي تعزى الى بنية الفرايت السبنل ، حيث نلاحظ ظهور القمم بكثافة ضمن هذه الحدود وهذا دليل على نقاوة المادة المحضرة كذلك تشير هذه القمم الى الفرايت المحضر هي مادة غير عضوية ومن المعروف طيفيا ان القمم الطيفية للمواد اللاعضوية تكون اكثر وضوحا بعد العدد الموجي (1000 cm^{-1}) ، اما القمم التي تظهر قبل هذا المدى فتشير للمواد العضوية، ان اطياف الاشعة تحت الحمراء لفرايت الكوبالت زنك تعرض نمطين للموجة الاول (v_T) والذي يعود الى الاهتزاز المتمدد للروابط المعدنية رباعي السطوح

(Tetrahedral) بينما يشير نمط الاهتزاز (v_B) إلى موقع (Octahedral) أن نطاق الامتصاص v_T أكبر من v_B بسبب الوضع لموقع رباعي السطوح أعلى من موقع ثماني السطوح، والجدول (7-4) يبين قيم انماط الاهتزاز v_T ، v_B [109].

جدول (7-4) نتائج FTIR لفرايت كوبالت زنك عند درجة حرارة 300 °C

Sample	Molur ratio	Composition	$v_T \text{ cm}^{-1}$	$v_B \text{ cm}^{-1}$
A1	0	CoFe ₂ O ₄	591.1	493.7
A2	0.1	Co _{0.9} Zn _{0.1} Fe ₂ O ₄	585.2	487.1
A3	0.3	Co _{0.7} Zn _{0.3} Fe ₂ O ₄	577.6	480.2
A4	0.5	Co _{0.5} Zn _{0.5} Fe ₂ O ₄	542.7	473.0
A5	0.7	Co _{0.3} Zn _{0.7} Fe ₂ O ₄	563.5	489.1
A6	0.9	Co _{0.1} Zn _{0.9} Fe ₂ O ₄	556.8	473.0



الشكل (4-4) يبين اطيفات FTIR لفرايت كوبالت زنك عند درجة حرارة 300°C .

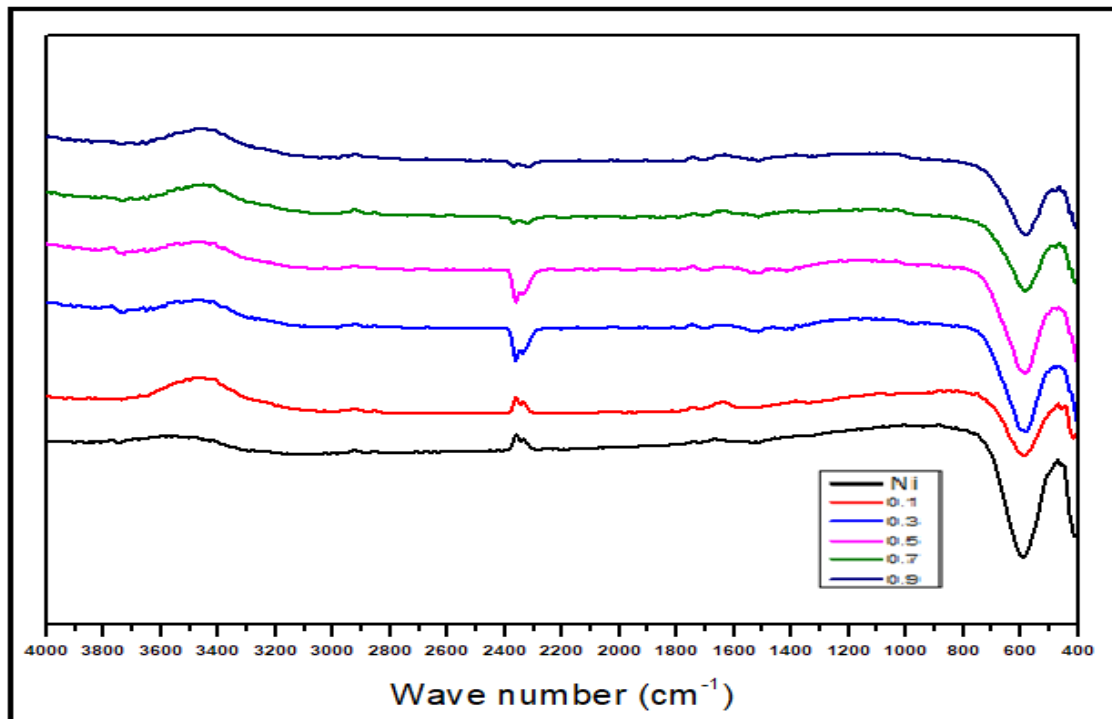
2-3-4) الخواص التركيبية لفرايت نيكل زنك $\text{NiZnFe}_2\text{O}_4$

تم دراسة التحليل الطيفي بالأشعة تحت الحمراء لفرايت نيكل زنك $\text{NiZnFe}_2\text{O}_4$ عند درجة (300 °C) ومن خلال النتائج لفحص FTIR وجد النطاقات التي تقع ضمن الحدود (400-600cm⁻¹) تعود إلى وجود مجموعات رباعي السطوح في حين توضح النطاقات

ضمن الحدود (cm^{-1} 583-563) الى مجموعات ثمانية السطوح كما موضح بالشكل(4-5) عند درجة حرارة (700 °C)، وان الوضع الاهتزازي لعنصر رباعي السطوح اكبر مقارنة من عنصر ثمانى السطوح والسبب هو ان مجموعات ثمانى السطوح تمتلك رابطة اطول من رابطة رباعي السطوح وفقا للتكوين الهندسى للفرايت، ان الايونات المعدنية اقرب الى ايونات الاوكسجين ضمن الشبكتين الفرعتين موقع رباعي السطوح A وموقع ثمانى السطوح B، حيث ان نطاقات الامتصاص ضمن المدى (cm^{-1} 587-557)(383-363) ظهرت بسبب اهتزازات ايونات المعادن والاوكسجين في موقع رباعي السطوح وموقع ثمانى السطوح وبشكل عام يعتمد التردد الاهتزازي على كثافة الايونات وقوة الترابط بين مسافة الايون والاوكسجين والجدول (4-8) يوضح حدود نطاقات الامتصاص للمركب كما نلاحظ ان القمم تظهر ضمن المدى (cm^{-1} 600-400) وهذه دلالة على ان الفرايتات المحضرة هي مواد غير عضوية وحسب النسب المبينة والتي تتفق مع الباحث [50].

جدول (8-4) نتائج FTIR لفرايت نيكل زنك عند درجة حرارة 700 °C .

Sample	Molar ratio	Composition	$v_T cm^{-1}$	$v_B cm^{-1}$
C1	0	$NiFe_2O_4$	583.6	421.7
C2	0.1	$Ni_{0.9}Zn_{0.1}Fe_2O_4$	574.3	428.0
C3	0.3	$Ni_{0.7}Zn_{0.3}Fe_2O_4$	586.8	421.7
C4	0.5	$Ni_{0.5}Zn_{0.5}Fe_2O_4$	593.0	415.5
C5	0.7	$Ni_{0.3}Zn_{0.7}Fe_2O_4$	580.6	428.0
C6	0.9	$Ni_{0.1}Zn_{0.9}Fe_2O_4$	574.3	402.3

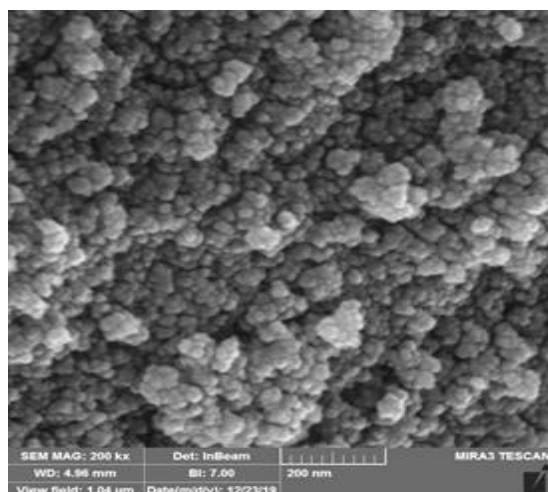


الشكل (5-4) يبين طيف FTIR لفرايت النيكل زنك عند درجة حرارة 700°C .

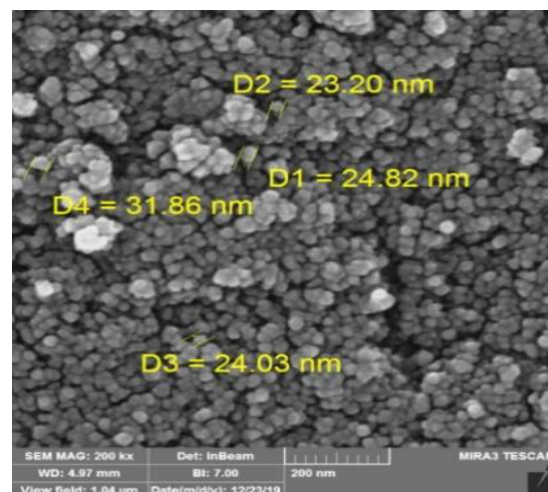
4-4) نتائج الفحوصات الترکیبیة المجهر الالکترونی الماسح للانبعاث المجالی . FE-SEM

4-4-4) نتائج فحوصات FE-SEM للمركب CoZnFe

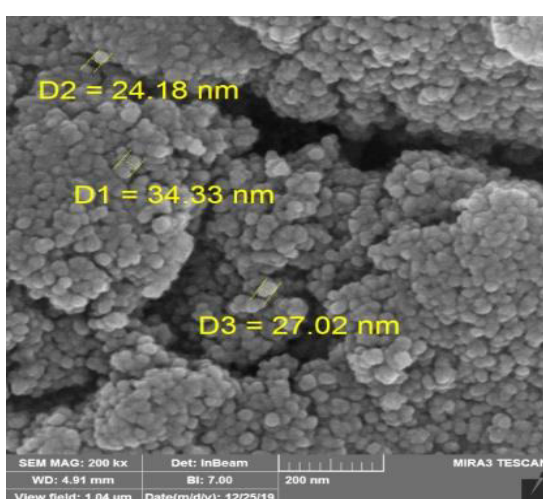
تم دراسة فحوصات FE-SEM للمركب $\text{CoZnFe}_2\text{O}_4$ والتي تقدم دليلاً على التكوين والمسامية للجسيمات النانوية ولجميع النسب ، حيث أظهرت النتائج ان الجسيمات تمتلك تركيباً هيكلياً واحد أحادي كروي مع توزيع ضيق لحجم الجسيمات النانوية كما نلاحظ التكثل المتجانس للجسيمات الكروية الدقيقة حيث ان الجسيمات ذات الحجم الاصغر تمتلك منطقة دائمة وبالتالي فأن كل جسيم يمتلك تمغناطياً دائم والذي يظهر من التكثل والتجمع بين الجسيمات والشكل (6-4) يوضح نتائج الفحوصات FE-SEM عند قيم x (0.0,0.1,0.3,0.5,0.7,0.9) على التوالي والتي تظهر جميعها ضمن المدى النانوي والذي يعود الى نقاوة المواد المستخدمة وكذلك الى طريقة التحضير [110] .



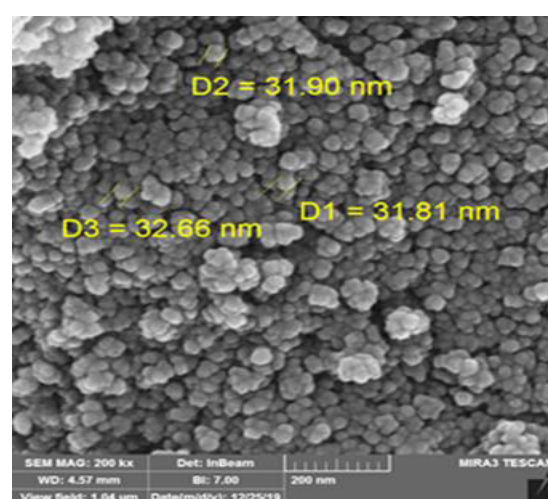
CoFe_2O_4



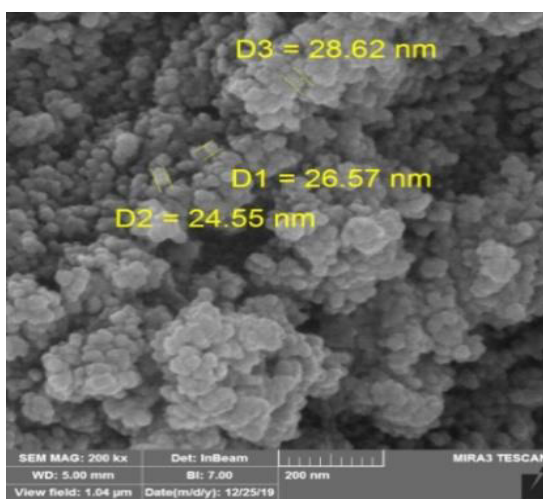
$\text{Co}_{0.9}\text{Zn}_{0.1}\text{Fe}_2\text{O}_4$



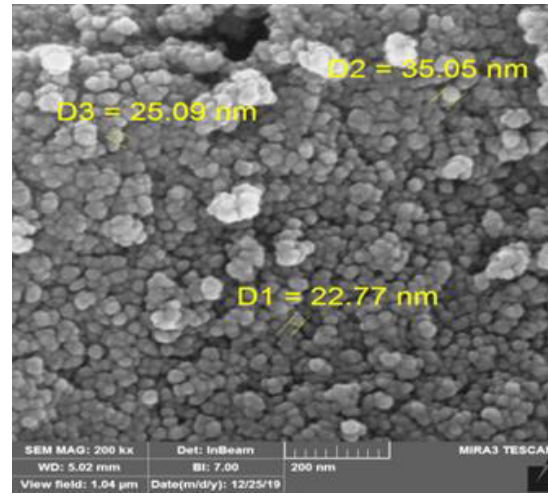
$\text{Co}_{0.5}\text{Zn}_{0.5}\text{Fe}_2\text{O}_4$



$\text{Co}_{0.7}\text{Zn}_{0.3}\text{Fe}_2\text{O}_4$



$\text{Co}_{0.3}\text{Zn}_{0.7}\text{Fe}_2\text{O}_4$

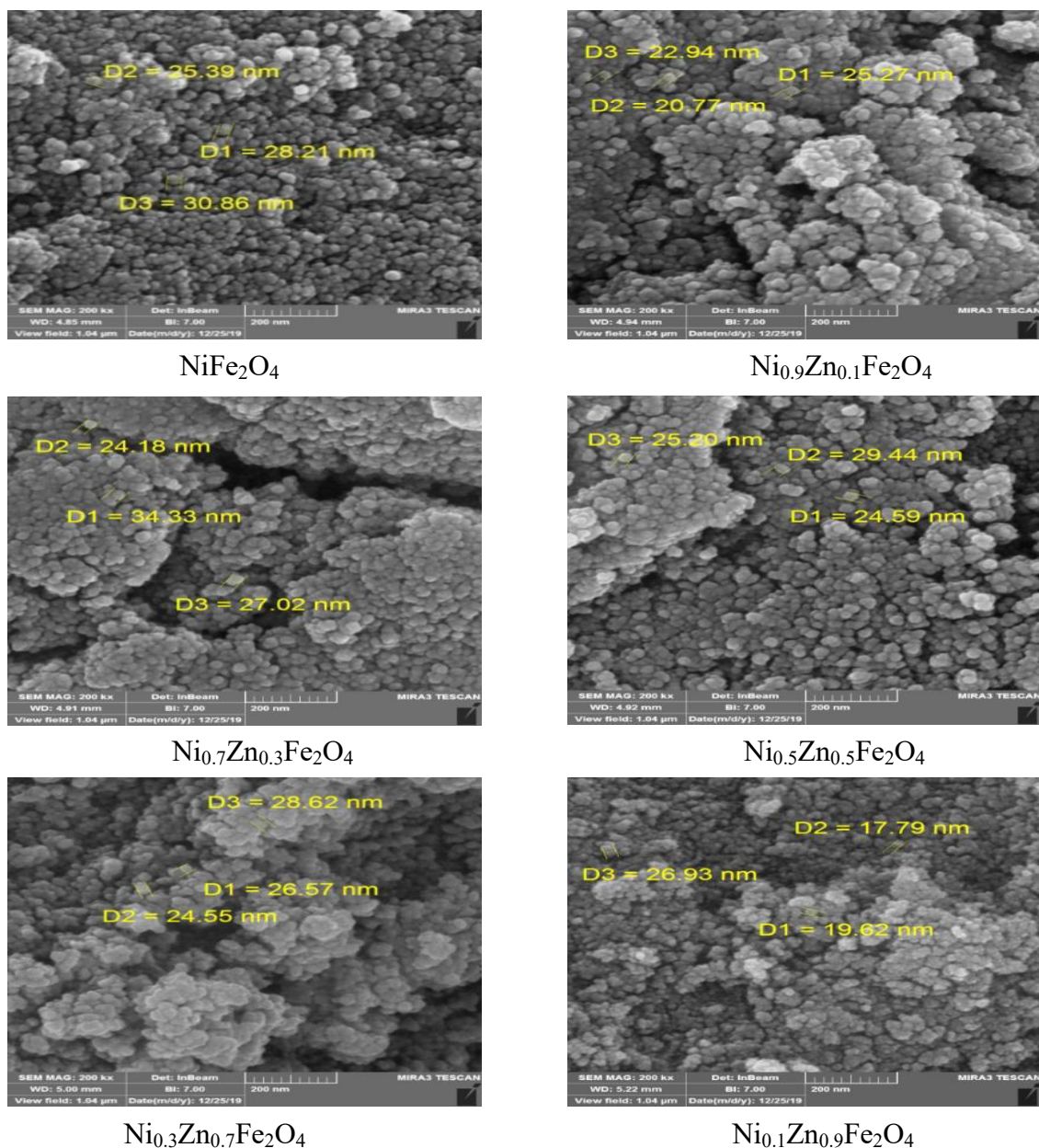


$\text{Co}_{0.1}\text{Zn}_{0.9}\text{Fe}_2\text{O}_4$

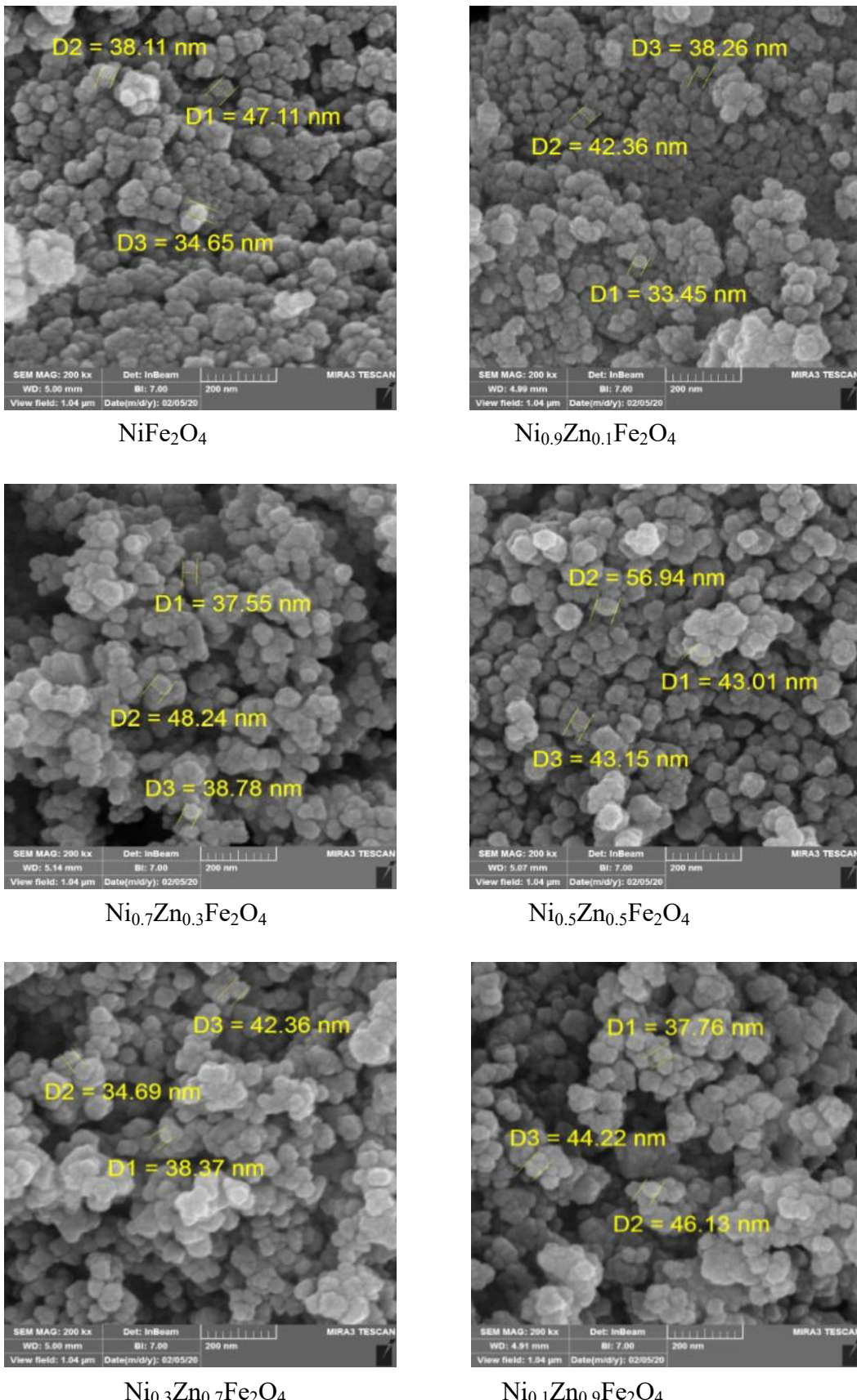
. 300 °C نتائج FE-SEM للجيسيمات النانوية للفرايت كوبلت زنك $\text{Co}_{1-x}\text{Zn}_x\text{Fe}_2\text{O}_4$ عند درجة حرارة

2-4-4) نتائج فحوصات FE-SEM للمركب $\text{NiZnFe}_2\text{O}_4$

تم دراسة فحوصات FE-SEM للمركب $\text{NiZnFe}_2\text{O}_4$ حيث اظهرت النتائج ان الجسيمات تمتلك تركيب كروي مع توزيع ضيق لحجم الجسيمات النانوية لقيم ($x=0.0, 0.1, 0.3, 0.5, 0.7, 0.9$) عند درجة حرارة ($700-300^\circ\text{C}$) ويظهر من خلال الاشكال زيادة الحجم البلوري مع زيادة درجة الحرارة والشكل (7-4) يوضح نتائج فحوصات FE-SEM عند درجة حرارة 300°C ولجميع النسب والشكل (8-4) يوضح نتائج FE-SEM عند درجة حرارة 700°C وكما نلاحظ ان جميع الدقائق تظاهر احجام نانوية.



. الشكل (7-4) نتائج فحوصات FE-SEM للفراتيت نيكل زنك عند درجة حرارة 300°C



. الشكل (4) نتائج فحوصات FESEM لفرايت نيكل زنك $\text{NiZnFe}_2\text{O}_4$ عند درجة حرارة 700°C

(5-4) الخصائص الكهربائية للفرايتات المحضرة LCR meter

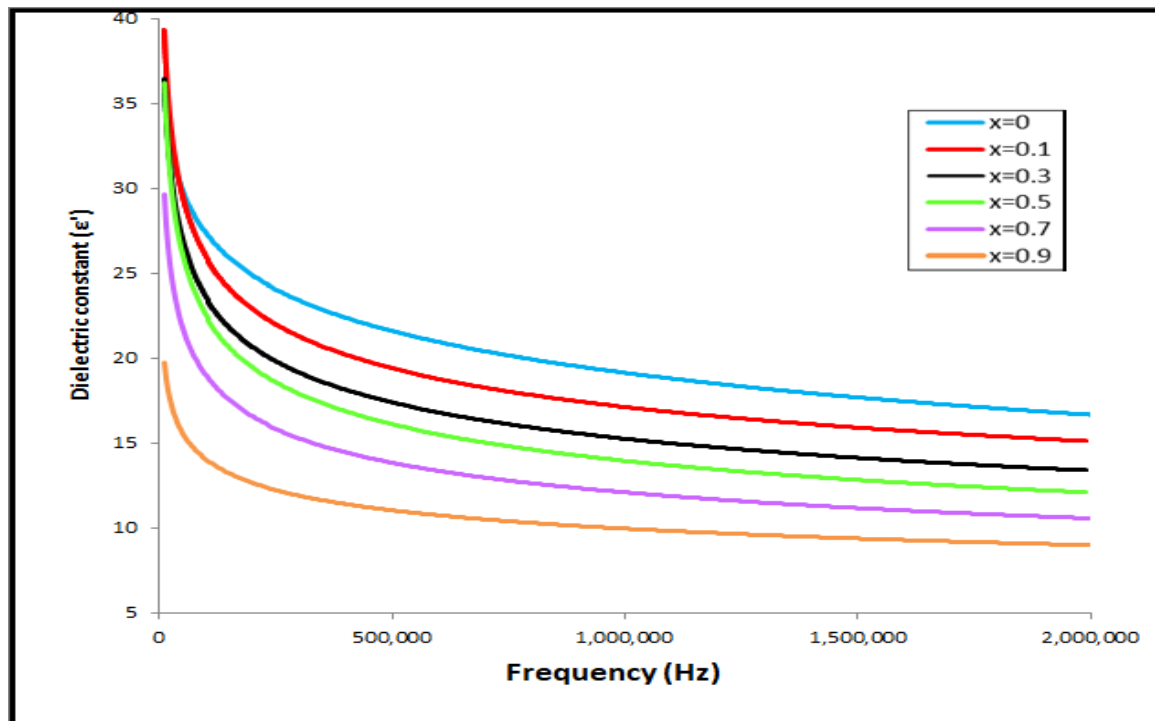
تضمنت الخصائص الكهربائية دراسة الخواص العزلية للفرايتات كدالة لتردد المجال الكهربائي، وان دراسة الخصائص العازلة للجسيمات النانوية الفرايتية تزودنا بمعلومات حول آلية التوصيل الكهربائي من حيث الاستجابة العازلة في المجال الكهربائي المطبق وتعتمد هذه الخصائص على عوامل مختلفة مثل : طريقة التحضير، التركيب الكيميائي، المسامية والشحنة الايونية والحجم الحبيبي وتوزيع الكاتيونات بين التراكيب السطحية، وفي المواد الفرايتية يتصرف ثابت العزل الحقيقي وفق آلية استقطاب العازل وهذا يشبه بدوره تصرف التوصيلية الكهربائية للمواد ذاتها، حيث يعتمد تصرف العازل على كمية الوفرة من وجود الايونات الموجبة Fe^{+2} و Fe^{+3} المحددة بالاستقطاب والذي يؤدي الى نشوء ثابت العزل الكهربائي، وفي هذه الدراسة تم حساب ثابت العزل الكهربائي ومعامل فقد العزل وظل فقد ضمن مدى التردد (50Hz-2MHz).

(1-5-4) الخواص العزلية للفرايت كوبالت زنك $CoZnFe_2O_4$

Dialectic Constant (ϵ')

1-1-5-4) ثابت العزل الكهربائي

تم حساب ثابت العزل الكهربائي للفرايت كوبالت زنك $Co_{1-x}Zn_xFe_2O_4$ للعينات المحضررة ضمن المدى (50Hz-2MHz) باستخدام المعادلة(21-2) عند درجة حرارة $^{\circ}C$ 300 عند قيم $x = 0,0.1,0.3,0.5,0.7,0.9$ على التوالي وكما مبين في الشكل(9-4)، حيث اظهرت النتائج انخفاضاً في ثابت العزل مع زيادة التردد والذي يعود الى اعتبار المواد الفرايتية مكونة من طبقتين هما الحبيبات التي يمكن اعتبارها ذات توصيلية جيدة وحدود الحبيبات التي تعتبر رديئة التوصيل الكهربائي بذلك تشارك الحبيبات ضمن ثابت العزل عند الترددات المرتفعة بينما تشارك الحبيبات في ثابت العزل ضمن الترددات الواطئة، من الشكل (9-4) نلاحظ ان ثابت العزل الكهربائي ينخفض بزيادة التردد وبشكل غير خططي كما نلاحظ انه كلما زادت قيمة x ينخفض ثابت العزل وذلك بسبب زيادة النمو الحبيبي مما يرافقها نقصان بالحدود الحبيبية والذي يؤدي الى انخفاض بقيمة ثابت العزل الحقيقي وكذلك بالنسبة لثابت العزل الخيالي والذي يتفق مع الباحث [47].

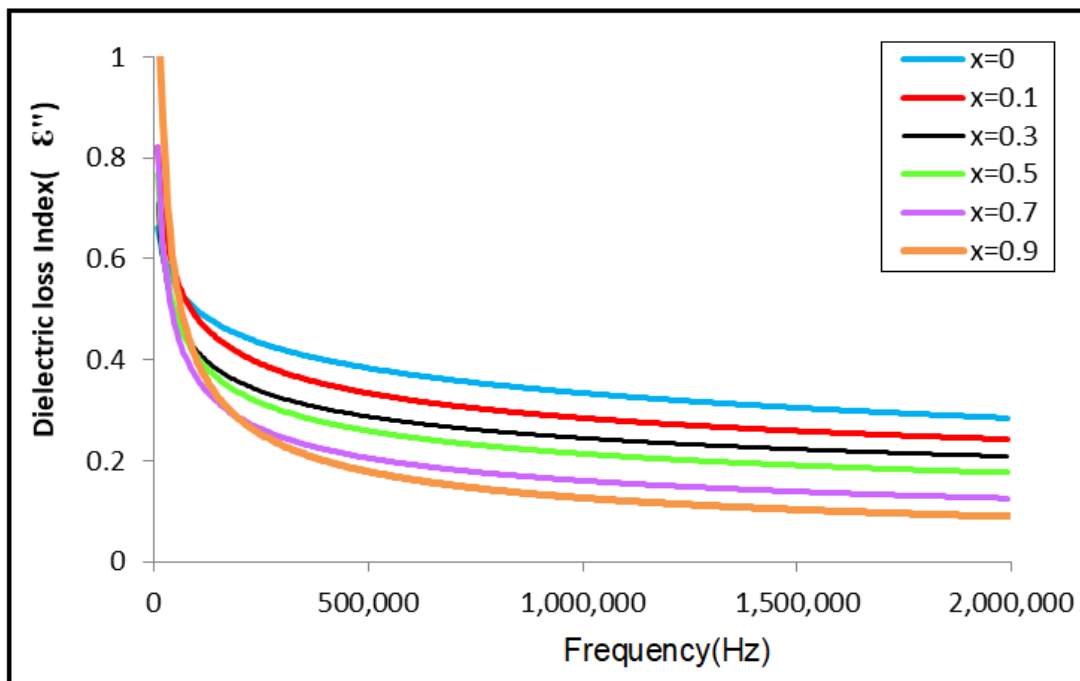


الشكل (9-4) تغير ثابت العزل مع التردد لفرايت كوبلت زنك .

Dielectric Loss Index

2-1-5-4) معامل الفقد العزلي

يعتبر معامل الفقد العزلي عامل مهم في تطبيقات المواد الفراتية وذلك لمعرفة تردد التشغيل في المواد المغناطيسية حيث تم ملاحظة ظهور سلوكية متماثلة تقريريا في جميع العينات المحضرة حيث وجد ان اعلى قيمة لمعامل الفقد العزلي تكون عند الترددات الواطئة وتتحفظ مع زيادة التردد للمجال الكهربائي المسلط كما موضح بالشكل (10-4) يمكن تفسير هذا الانخفاض من خلال العلاقة (22-22). ان هذا التناوب العكسي بين عامل الفقد العزلي والتردد يعود الى الطاقة الكبيرة التي تكتسبها ثنائيات الاقطب Dipoles من المجال الكهربائي المسلط عليها والذي بدوره يزيد من احتمالية حدوث تصدامات بين هذه الثنائيات اثناء دورانها عند الترددات الواطئة وبهذا ينتج عن ذلك اضعاف خاصية العزل الكهربائي اما عند زيادة التردد للمجال المسلط فأن قابلية ثنائيات الاقطب سوف تقل عن متابعة التغير للمجال مما يقلل هذا من الطاقة الممتصة من قبل ثنائيات الاقطب من المجال المسلط والذي ينتج عنه نقصان بعامل الفقد العزلي [109] .

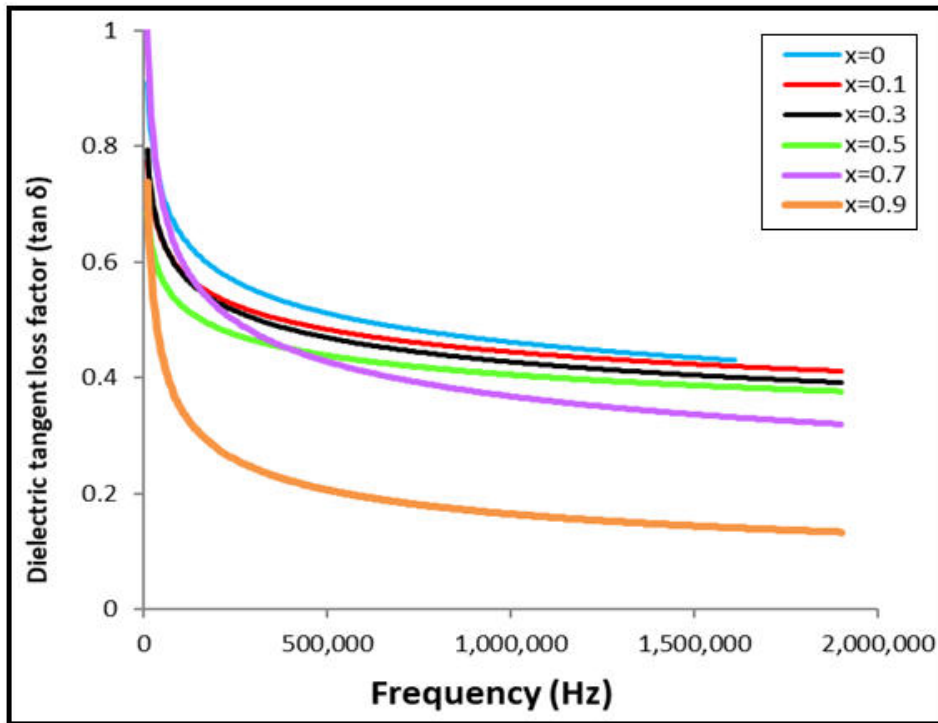


الشكل (4-10) يوضح تغير عامل الفقد العزلي لفرايت كوبالت زنك كدالة للتتردد ضمن المدى (50 Hz-2MHz).

Dialectical Loss Tangent

3-1-5-4) ظل الفقد الكهربائي

يعرف عامل الفقد العزلي بأنه تبديد الطاقة في المادة العازلة ويتم تعريفه اعتماداً على ظل الفقد ($\tan \delta$) وعامل الفقد العزلي (ϵ'') ينشأ بسبب تخلفية العزوم تحت تأثير التيار المتردد الناتج بسبب الشوائب والعيوب البلورية للمواد ويوضح الشكل (11-4) التغير بظل الفقد كدالة للتتردد ولكل من Zn , Co المعروضة بحسب قيم x حيث نلاحظ التغير في بظل الفقد كدالة عند الترددات المختلفة بزيادة تركيز الزنك، يمكن ان نلاحظ بوضوح ان ظل زاوية الفقد (δ) تظهر اتجاهها تنازليا مع زيادة التردد وهو سلوك طبيعي لاي مواد حديدية ، فعند الترددات العالية والتي تتواافق مع المقاومة المنخفضة بسبب وجود الحبيبات فهناك حاجة الى كمية صغيرة من الطاقة لكي تتفز الالكترونات بين الايونات Fe^{+2} , Fe^{+3} في موقع ثمانى السطوح A بينما في منطقة الترددات المنخفضة تكون حدود الحبيبات نشطة مسببة مقاومة عالية لذلك تتطلب طاقة عالية لكي تتفز الالكترونات بين الايونات Fe من موقع رباعي السطوح B وهذا يتافق مع العديد من الباحثين [48].



الشكل (11-4) تغير ظل الفقد كدالة للت剌د لفرايت كوبلت زنك .

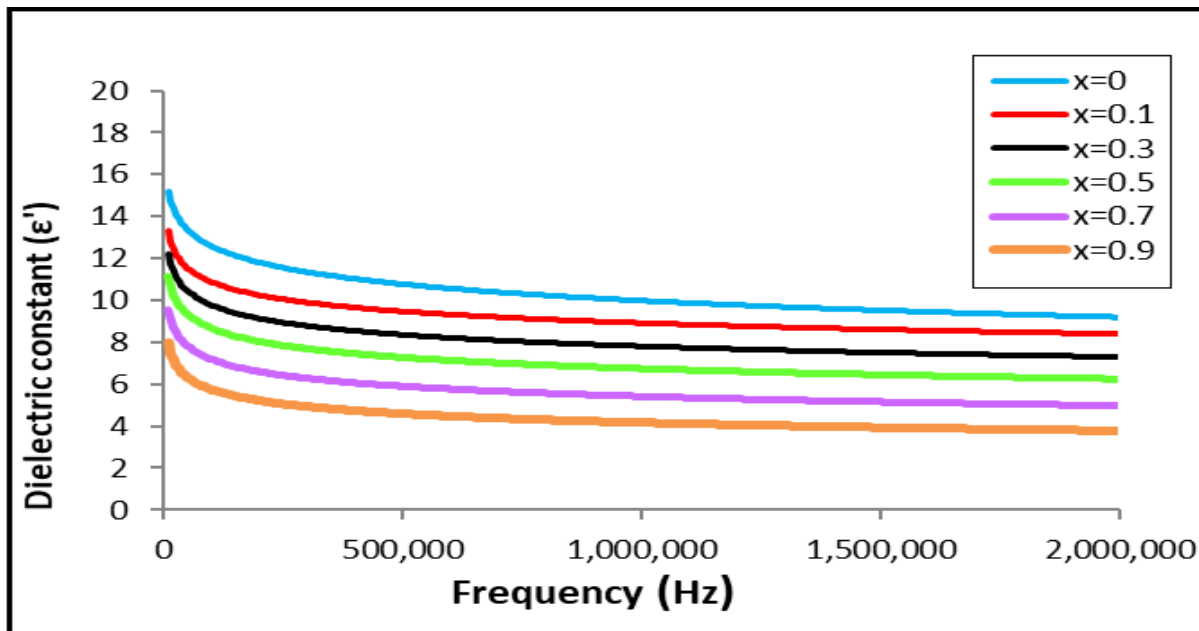
2-5-4) الخواص العزلية لفرايت نيكل زنك $\text{NiZnFe}_2\text{O}_4$

تم دراسة الخواص الكهربائية العزلية لفرايت نيكل زنك $\text{NiZnFe}_2\text{O}_4$ ولجميع العينات المحضرية عند درجات حرارة مختلفة $300-700^\circ\text{C}$ حيث تم الحصول على تغيرات في قيم ثابت العزل الكهربائي وعامل الفقد الكهربائي وقيم ظل الفقد كدالة للت剌د .

Dielectric Constant

1-2-5-4) ثابت العزل الكهربائي

من خلال دراسة الخواص العزلية لفرايت نيكل زنك المحضرية بدرجة حرارة $300-700^\circ\text{C}$ اظهرت النتائج ان ثابت العزل الكهربائي يظهر انخفاضاً مع زيادة الت剌د ضمن المدى (50Hz-2MHz) ان هذا السلوك ناتج من الاستجابة لقفز الالكترونات مع زيادة الت剌د كذلك ان ثابت العزل الكهربائي يظهر تغيرا ملحوظا مع زيادة تركيز الزنك ومع زيادة درجة الحرارة ولجميع العينات كدالة للت剌د وكما مبين بالشكل (12-4) لفرايت المحضر ، وقد اظهر ثابت العزل الكهربائي تغيرا بنفس الاتجاه عند درجة حرارة 700°C حيث ان زيادة درجة الحرارة ينتج عنها زيادة بالحجم الحبيبي مما يتسبب في نقصان ثابت العزل الكهربائي لفرايت نيكل زنك [47] .

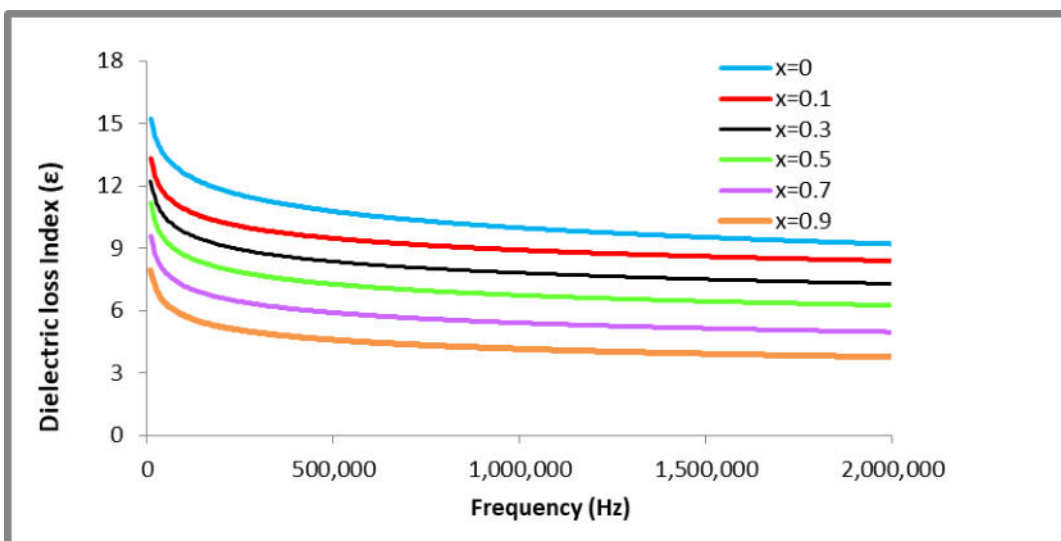


. الشكل (12-4) تغير ثابت العزل الكهربائي كدالة للتردد لفرايت نيكل زنك .

Dielectric Loss Index

2-2-5-4) معامل الفقد العزلي

تم دراسة تغير عامل الفقد العزلي لفرايت النيكل زنك كدالة للتردد ضمن المدى (50Hz-2MHz) وكما مبين بالشكل (13-4) حيث اظهرت النتائج ان عامل الفقد العزلي ينخفض مع زيادة التردد ولجميع العينات المحضرة لقيم ($x=0,0.1,0.3,0.5,0.7,0.9$) على التوالي، ان عامل الفقد العزلي في الفرايت ينشأ بشكل رئيسي بسبب قفز الالكترون وثنائي القطب ويساهم قفز الالكترون في فقدان العزل الكهربائي في نطاق التردد المنخفض وتتحفظ استجابة قفز الالكترون مع زيادة التردد للمجال المطبق وبالتالي ينخفض عامل الفقد العزلي مع زيادة التردد ولكل العينات المحضرة.

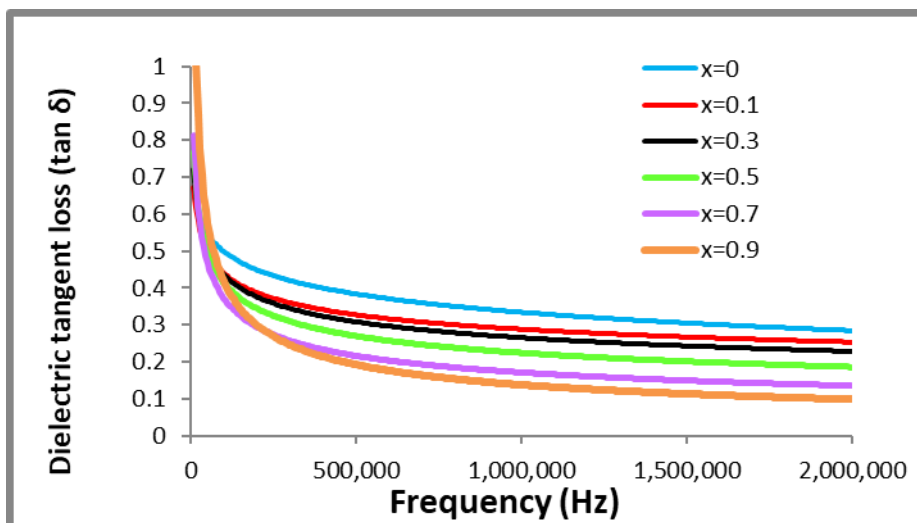


. الشكل (13-4) يوضح تغير معامل الفقد العزلي كدالة للتردد لفرايت نيكل زنك.

Tangent Losses

(3-2-5-4) ظل الفقد

تم دراسة تغير ظل الفقد كدالة للت剌دد ضمن مدى (50Hz-2MHz) لفرايت نيكل زنك ولجميع العينات المحضرة حيث اظهرت النتائج ان ظل عامل الفقد العزلی تبدي انخفاضا مع زيادة الت剌دد ولجميع العينات وكما موضح بالشكل (14-4) للفرايتات المحضرة عند درجتي حرارة (C°) 300-700 على التوالي حيث يمكن ملاحظة عندما تصل القيمة الى منتصف قيم ظل الفقد فأنه سيحصل انخفاض سريع لعامل الفقد مع زيادة الت剌دد وعندها يبدا بالانخفاض تدريجيا ولكن له ان يصل الى الصفر وهذا يتفق مع الباحثين [60].



الشكل (14-4) تغير ظل الفقد مع الت剌دد لفرايت نيكل زنك

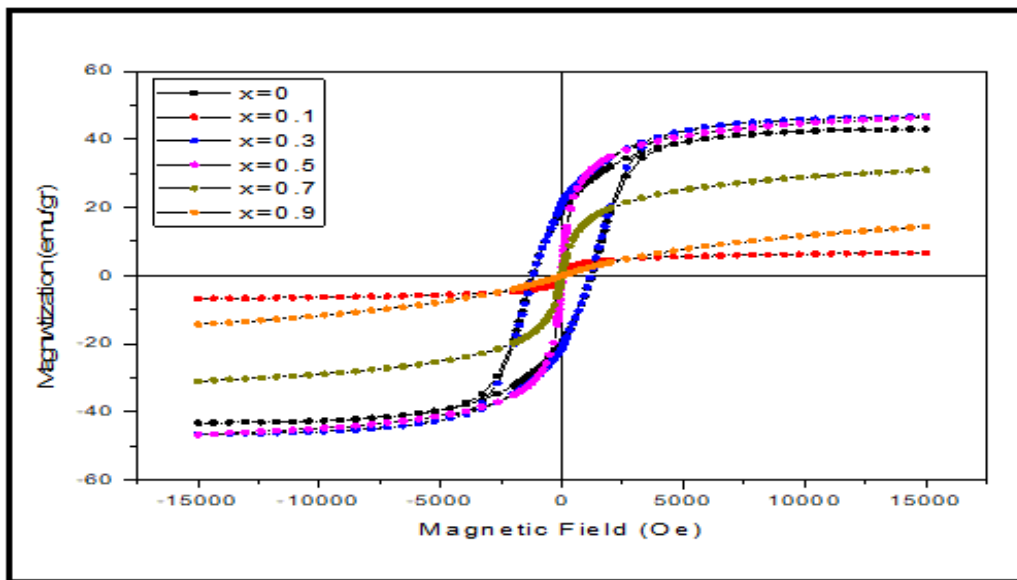
(4-6-4) نتائج الفحوصات المغناطيسية

(1-6-4) نتائج فحوصات VSM لفرايت زنك Cobalt ZnFe₂O₄

احدى اهم الخصائص المغناطيسية لأي مادة مغناطيسية تتمثل بالعلاقة بين شدة المجال (H) والكثافة الفيض المغناطيسي (B) والمتمثلة بحلقة الهسترة (B-H Loop) والتي تعرف بانها مقياس الطاقة المفقودة لكل وحدة حجم خلال دورة التمغنت الواحدة ومن اجل دراسة الخواص المغناطيسية للمواد فأن الشكل لحلقة الهسترة المغناطيسية ضروري لتحديد نوعية المادة فيما لو كان الفرايت المرن (soft) او الفرايت الصلد (hard).

تم دراسة الخواص المغناطيسية للمواد المحضرة من خلال استخدام جهاز VSM عند درجة حرارة الغرفة عند المجال المغناطيسي المطبق الذي مقداره (KOe) 15 حيث يوضح الشكل (15-4) منحنيات MH للعينات المحضرة عند النسب لقيم (x=0,0.1,0.3,0.5,0.7,0.9) على التوالي عند درجة حرارة (C°) 300 وان تحضير المادة عند الدرجات الحرارة المنخفضة تظهر لنا الصفات

المغناطيسية الملائمة للتطبيق حيث يظهر من خلال الرسم التباين بالخواص المغناطيسية المتمثلة بحلقة ال�سترة من خلال زيادة نسبة الزنك للفرايت وان ضيق حلقة ال�سترة تعطي صفات الفرايت (Soft) كما ان بعض النسب اظهرت حلقة ال�سترة بشكل خط دلالة على تحول المادة لحالة Superparamagnetic، وهذا يؤكد عدم استهلاك طاقة عالية، وتعتبر هذه الحالة المرغوب بها للتطبيقات الطبية، والتي من خلالها تم اعتماد واختيار النسب في التطبيق الطبيعي وهي النسبة A4,A5 اي عند قيم على التوالي ($x=0.5,0.7$) يعود الترتيب المغناطيسي للفرايت السبيل المكعب الى الية التفاعل التي تحدث بين الايونات المعدنية في الموضع رباعي السطوح A والموضع ثماني السطوح B من خلال الرسم يتم حساب قيم التشبعية المغناطيسية M_s وقيم المغنة المتبقية M_r وكذلك قيم القوة القهري (المجال القهري) H_c والجدول (4-9) يوضح قيم M_s, M_r, H_c لفرايت كوبالت زنك عند درجة حرارة 300°C والتي تتفق مع الباحث [111].

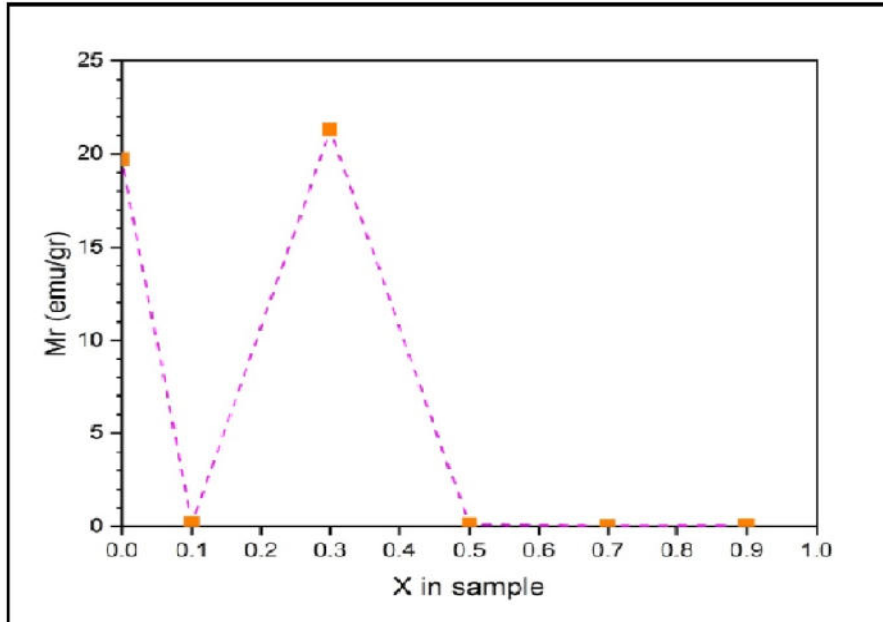


الشكل (15-4) حلقة ال�سترة لفرايت كوبالت زنك $\text{Co}_{1-x}\text{Zn}_x\text{Fe}_2\text{O}_4$ عند درجة حرارة 300°C .

الجدول (4-9) يوضح قيم مغنة التشبع والمغنة المتبقية وقيم المجال القهري لفرايت كوبالت زنك فرايت عند درجة حرارة 300°C .

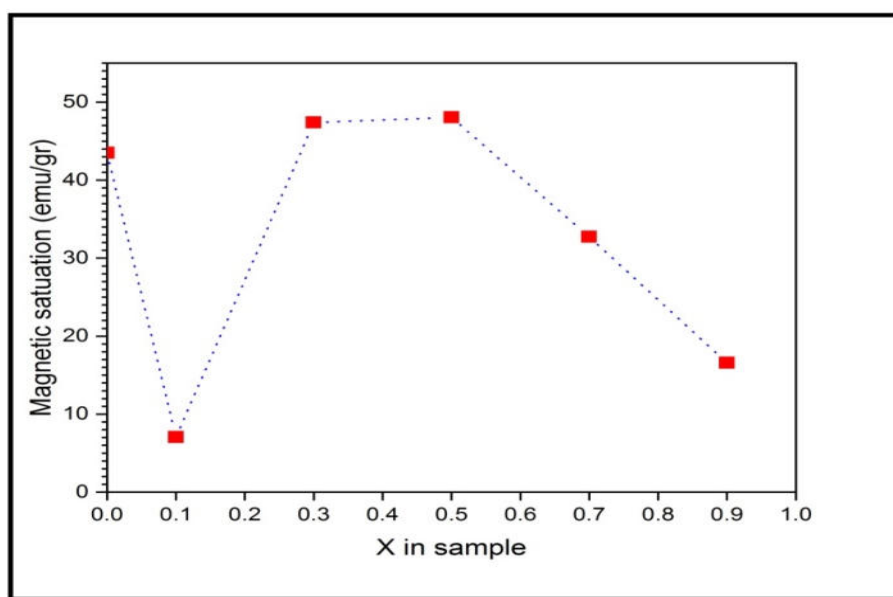
Sample	Molar ratio	Composition	M_s (emu/g)	M_r (emu/g)	H_c (Oe)	$S=M_r/M_s$
A1	0	CoFe_2O_4	43.143	18.91	1209	0.43
A2	0.1	$\text{Co}_{0.9}\text{Zn}_{0.1}\text{Fe}_2\text{O}_4$	6.750	2.04	89.4	0.31
A3	0.3	$\text{Co}_{0.7}\text{Zn}_{0.3}\text{Fe}_2\text{O}_4$	46.339	21.865	1069.2	0.47
A4	0.5	$\text{Co}_{0.5}\text{Zn}_{0.5}\text{Fe}_2\text{O}_4$	46.495	14.766	89.424	0.31
A5	0.7	$\text{Co}_{0.3}\text{Zn}_{0.7}\text{Fe}_2\text{O}_4$	30.996	6.719	159.40	0.21
A6	0.9	$\text{Co}_{0.1}\text{Zn}_{0.9}\text{Fe}_2\text{O}_4$	14.421	0.5	89.42	0.03

من خلال الشكل (15-4) نلاحظ التغير بين قيم المغنة المتبقية M_r مع قيم x حيث تزداد هذه القيمة او تقل مع تغير اتجاه العزوم المغناطيسي وهذا دلالة على المغناطيسية العالية للمادة وان اعظم مجال قهري يسلط على المادة من اجل عكس اتجاه العزوم ليتوافق مع الحث الكهرومغناطيسي المسلط ($T = 15000$ T). [112]



الشكل (16-4) تغير قيم x مع قيم المغنة المتبقية

وكذلك الحال بالنسبة للعلاقة بين قيم التشبعة المغناطيسية مع قيم x كما في الشكل (17-4)، حيث نلاحظ التباين في قيم التشبعة المغناطيسية مع زيادة تركيز الزنك اما عند التساوي بين قيم الكوبالت والزنك فنلاحظ قيم متساوية لقيم التشبعة المغناطيسية.

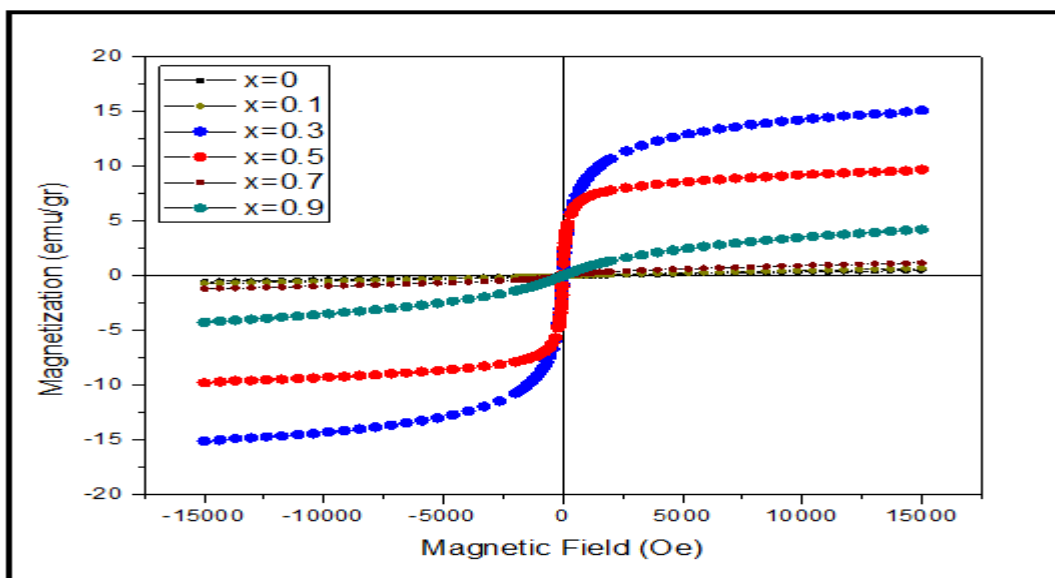


الشكل (17-4) يبين تغير قيم x مع قيم التشبعة المغناطيسية .

2-6-4) نتائج القياسات المغناطيسية لفرايت نيكل زنك $\text{Ni}_{1-x}\text{Zn}_x\text{Fe}_2\text{O}_4$

1-2-6-4) نتائج فحوصات VSM لفرايت نيكل زنك $\text{NiZnFe}_2\text{O}_4$ عند درجة حرارة 300°C

تم دراسة الخواص المغناطيسية لفرايت نيكل زنك عند درجة حرارة 300°C (وكما موضح بالشكل 19-4) حيث من خلال النتائج لفحوصات VSM عند درجة حرارة الغرفة عند مجال مطبق مقداره (15 KOe) اقد اظهرت منحنيات MH للعينات المحضرة بطريقة الترسيب الكيميائي المشترك عند النسب لقيم ($x=0, 0.1, 0.3, 0.5, 0.7, 0.9$) على التوالي وان حلقة الهسترة تظهر نوع الفرايت (Soft)، كما ان قيم التمغناط M_r تكون اعظم ما يمكن عند التركيز ($x=0.5, 0.3$)، وتم حساب قيم التشبعية المغناطيسية M_s والمغناطيسية المتبقية M_r والمجال القهري H_c مع حساب النسبة بين قيم M_s / M_r التي ظهرت لجميع العينات اقل من 0.5 وكما مبين بالجدول (10-4).



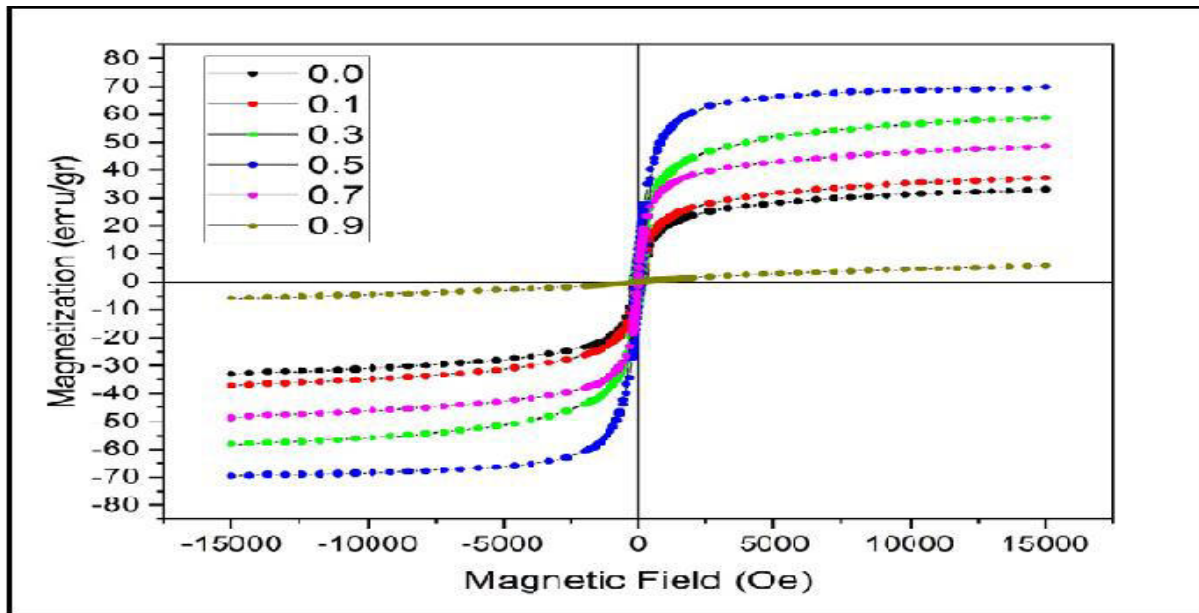
الشكل (18-4) يبين التباين لحلقة الهسترة للعينات المحضرة لفرايت نيكل زنك عند درجة حرارة 300°C

الجدول (10-4) يوضح قيم مغنة التشبع والمغنة المتبقية وقيم المجال القهري لفرايت نيكل زنك فرايت عند درجة حرارة 300°C .

Sample	Molar ratio	Composition	M_s (emu/g)	M_r (emu/g)	H_c (Oe)	$S=M_r/M_s$
B1	0	NiFe_2O_4	0.54	0.004	27.21	0.007
B2	0.1	$\text{Ni}_{0.9}\text{Zn}_{0.1}\text{Fe}_2\text{O}_4$	0.691	0.03	80	0.04
B3	0.3	$\text{Ni}_{0.7}\text{Zn}_{0.3}\text{Fe}_2\text{O}_4$	15.2	4.627	27.21	0.29
B4	0.5	$\text{Ni}_{0.5}\text{Zn}_{0.5}\text{Fe}_2\text{O}_4$	9.68	4.728	154.4	0.48
B5	0.7	$\text{Ni}_{0.3}\text{Zn}_{0.7}\text{Fe}_2\text{O}_4$	1.177	0.08	89.42	0.06
B6	0.9	$\text{Ni}_{0.1}\text{Zn}_{0.9}\text{Fe}_2\text{O}_4$	4.218	0.301	229.4	0.07

2-2-6-4) نتائج فحوصات VSM لفرايت نيكل زنك $\text{NiZnFe}_2\text{O}_4$ عند درجة حرارة 700°C .

تم دراسة الخواص المغناطيسية لفرايت نيكل زنك عند درجة حرارة 700°C حيث اظهرت النتائج وكما مبين بالشكل (4-20) ان العينات جميعها بزيادة درجة الحرارة تحولت الى حالة Superparamagnetic والتى تمتلك حلقة هسترة ضيقة مما يدل على تكون الفرايت (Soft) وهي الحالة المرغوب بها للتطبيقات الطبية وان قيم التشباعية المغناطيسية M_s وقيم المغнطة المتبقية M_r تزداد مع زيادة تركيز الزنك وان قيم النسبة بين M_r/M_s تكون اقل من 0.5 مما يدل على ان العزوم المغناطيسية التي تتضمن اتجاهين قد انتظمت باتجاهها اي ان العزوم الغير متوجهة قد انتظمت مع الاتجاهات السائد وكما مبين بالجدول (11-4) حيث ان القيمة تصل ذروتها عند النسبة 0.3 والنسبة 0.5 ثم تنخفض وهذا يتافق مع الباحث [113] تمت الاشارة لجميع الرموز بالملحق الرفق (1).



الشكل (4-19) يوضح حلقة الهسترة لعينات نيكل زنك المحضرة عند درجة حرارة 700°C .

من النتائج المبينة بالجدول (15-4) نلاحظ قيم المغنطة تغيير مع زيادة درجة الحرارة فاما ان تقل او تزداد وان الزيادة والنقصان لقيم التشباعية المغناطيسية والمجال القهري والمغنطة المتبقية سببها تأثير درجة الحرارة الذي ينتج عنه زيادة في الحجم الحبيبي وهذا التغير يفسر ان المعالجة الحرارية كان تأثيرها كبير باعادة العزوم المغناطيسية الغير متوجهة مع الاتجاه السائد وان قيمة النسبة بين M_r/M_s هي اقل من 0.5 ولجميع العينات والذي يدل على ان جميع العينات عند درجة حرارة 700°C قد حصل فيها انتظام في توجيه العزوم نحو الاتجاه السائد وهو الحالة المرغوبة في التطبيق الطبي وهذا يتافق مع الباحث [1].

الجدول (4-11) يوضح قيم مغفطة التشبّع والمغفطة المتبقية وقيم المجال القهري لفرايت نيكل زنك عند درجة حرارة 700°C .

Sample	Molar ratio	Composition	M_s (emu/g)	M_r (emu/g)	H_c (Oe)	$S=M_r/M_s$
C1	0	NiFe_2O_4	32.9	12.4	89.4	0.37
C2	0.1	$\text{Ni}_{0.9}\text{Zn}_{0.1}\text{Fe}_2\text{O}_4$	37.3	11.67	159.42	0.31
C3	0.3	$\text{Ni}_{0.7}\text{Zn}_{0.3}\text{Fe}_2\text{O}_4$	58.71	21.35	89.41	0.36
C4	0.5	$\text{Ni}_{0.5}\text{Zn}_{0.5}\text{Fe}_2\text{O}_4$	69.74	27.01	89.42	0.38
C5	0.7	$\text{Ni}_{0.3}\text{Zn}_{0.7}\text{Fe}_2\text{O}_4$	48.85	17.7	89.41	0.36
C6	0.9	$\text{Ni}_{0.1}\text{Zn}_{0.9}\text{Fe}_2\text{O}_4$	5.76	0.18	159.4	0.03

Medical Application

7-4) التطبيق الطبي

1-7-4) المقدمة

لقد تطور التصوير بالرنين المغناطيسي MRI تطوراً كبيراً حيث يعتبر طريقة ممتازة لأنها توفر آليات تبادل متعددة للتحقق من جوانب مختلفة من الجسم الحي وكذلك في علم وظائف الأعضاء وتحتاج دراسات التصوير بالرنين المغناطيسي للفئران بأن يراعي العديد من الخطوات أهمها:

1. طريقة آمنة للتصوير.

2. المراقبة الفسيولوجية.

3. التصوير لعدة مواضع ومن زوايا مختلفة.

4. التحكم البيئي.

5. مراعاة تطبيق مبادئ أخلاقيات البحث العلمي في التعامل مع الحيوانات المختبرية.

إن المواقع المغناطيسية التي تحتوي على جسيمات نانوية مغناطيسية والتي تم تصنيعها بطريقة الترسيب الكيميائي المشترك بمتوسط حجم نانوي مقداره (30-20nm) تمتلك استقرارية عالية جداً مع اختلافات الوقت والتغيرات البيئية كما في الشكل (4-20) والتي تعتبر من الشروط المهمة لاستخدام السوائل المغناطيسية في هذا المجال والتي استُخدمت لدراسة تعزيز التبادل في صور الرنين المغناطيسي MRI كما أنه تم اختيار المركبات المغناطيسية التي تميزت بضيق حلقة الهاسترة (خطي) ذات أقل خسارة في الطاقة المغناطيسية وعند نقطة تحولها إلى طور المواد فائقة البارا مغناطيسية [114] (Super paramagnetic).



الشكل (4-20) استقرارية نسبية للمائع المغناطيسي النانوي بعد مرور شهرين .

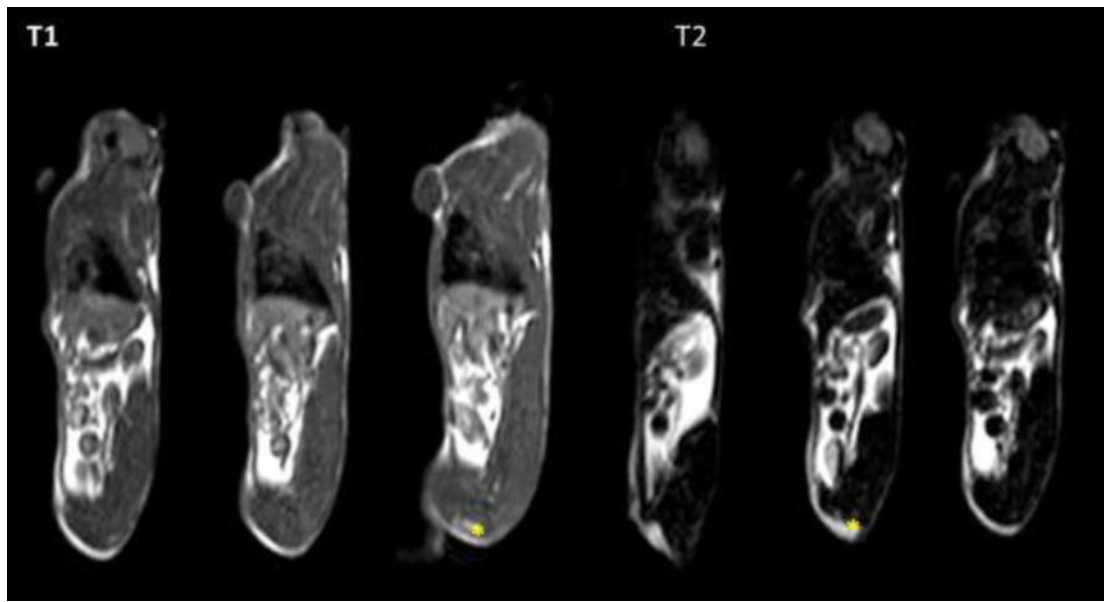
MRI Results

2-7-4 نتائج MRI Magnetic Resonance Imaging

لقد اجريت فحوصات التصوير بالرنين المغناطيسي على الفئران المختبرية (rat) وكما تم ذكره في الفصل الثالث باستخدام المائع المغناطيسي النانوي المحضر من الفرايت كوبلت زنك والفرايت نيكل زنك وحسب النسب المبينة في الفصل الثالث الجدول (4-3)(5-3) على التوالي حيث تم استخدام الجسيمات النانوية المغناطيسية كعوامل تباثن في التصوير بالرنين المغناطيسي MRI لتشخيص اجزاء القلب والامعاء والكبد حيث تميل الجسيمات الدقيقة الى التراكم عند مستويات اعلى بسبب الاختلافات في تكوين الانسجة وكذلك بسبب عمليات الامتصاص لكريات الدم الداخلية لذلك هناك العديد من جزيئات اوكسيد الحديد تستخدم في نطاق واسع في تشخيص وظائف الخلايا الكبدية [103] ، حيث تكونت عملية الفحص بمرحلتين الاولى بإجراء الفحص دون استخدام المائع النانوي المغناطيسي المحضر والمرحلة الثانية باستخدام المائع المغناطيسي المحضر من خلال حقنه بجسم الحيوان المختبري (rat) بعد مرحلة تخدير الحيوان ومن ثم مقارنة الصور الناتجة من جهاز الرنين بين المرحلتين:

المرحلة الاولى:

في هذه المرحلة يتم فحص الحيوان المختبري (rat) دون استخدام المائع النانوي باستخدام جهاز MRI حيث تظهر في الصور زمن الاسترخاء T1،T2 من خلال اخذ الصور لموضع جانبي لجسم (rat) وذلك ليكون له مستوى سهمي مع زمن الاسترخاء T1,T2 الشكل (22-4) يوضح الصور الناتجة من التصوير بجهاز MRI دون استخدام المائع المغناطيسي المحضر حيث من الصور نلاحظ بوضوح الدهون تحت الجلد وعند منطقة البطن والتي تظهر طبيعية بوضوح عند اخذ الصور بجهاز MRI.

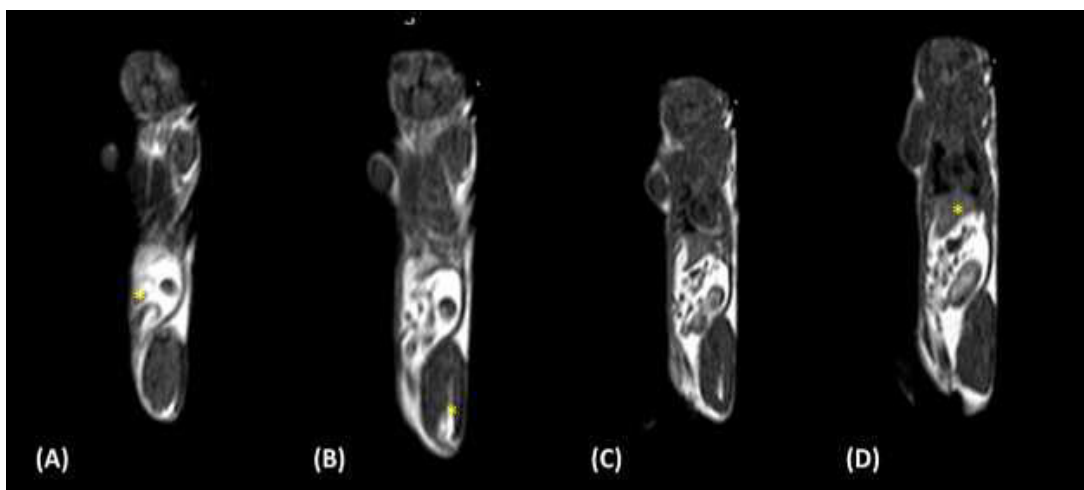


الشكل (21-4) يوضح الصور الناتجة من جهاز الرنين المغناطيسي دون استخدام المائع النانوي المغناطيسي.

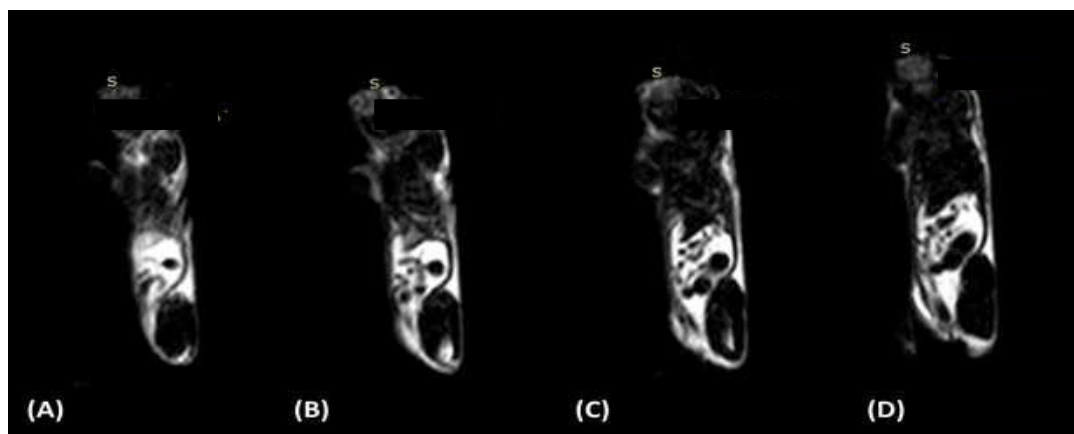
المرحلة الثانية:

تمت مرحلة الحقن بالمائع المغناطيسي النانوي المحضر العينة A4 المتمثلة بفراء زنك النانوي النسبة ($x=0.5$) بمعدل حجم نانوي (10.8nm) وتحت اشراف طبي حيث اظهرت الصور الناتجة من جهاز MRI المادة التي تم حقنها بوضوح عند زمن الاسترخاء T1، T2 حيث ان التراكم للمادة الذي اظهرته للصورة بوضوح والذي اظهر اشاره مميزة للمادة النانوية المغناطيسية في موقع الحقن والذي ظهر بعد اول زمن من اخذ الصور وكما مبين بالشكل (22-4).

حيث يظهر الشكل (A) صورة لعدم ظهور المادة المغناطيسية مباشرة بعد فترة الحقن اما بعد مرور فترة من الزمن مقدارها (5 دقائق) نلاحظ في الشكل (B) ظهور واضح وكبير للمادة المغناطيسية عند منطقة الحقن، اما الشكل (C) فنلاحظ ظهور قليل للمادة نتيجة اخترافها بسرعة كبيرة لأنسجة الجسم وصولا الى منطقة الكبد (D) تشتت للمادة المغناطيسية وتمررها بوضوح عند منطقة الكبد والذي يظهر بوضوح (*).

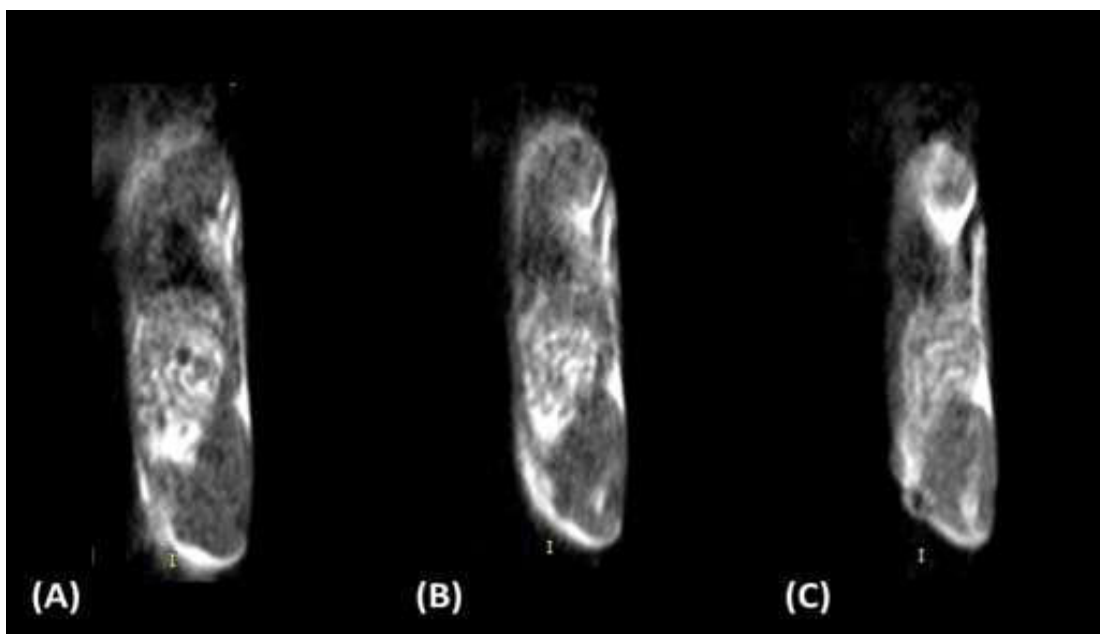


الشكل (22-4) (T1) يمثل الصور الناتجة من جهاز MRI باستخدام المانع النانوي المغناطيسي (A4).

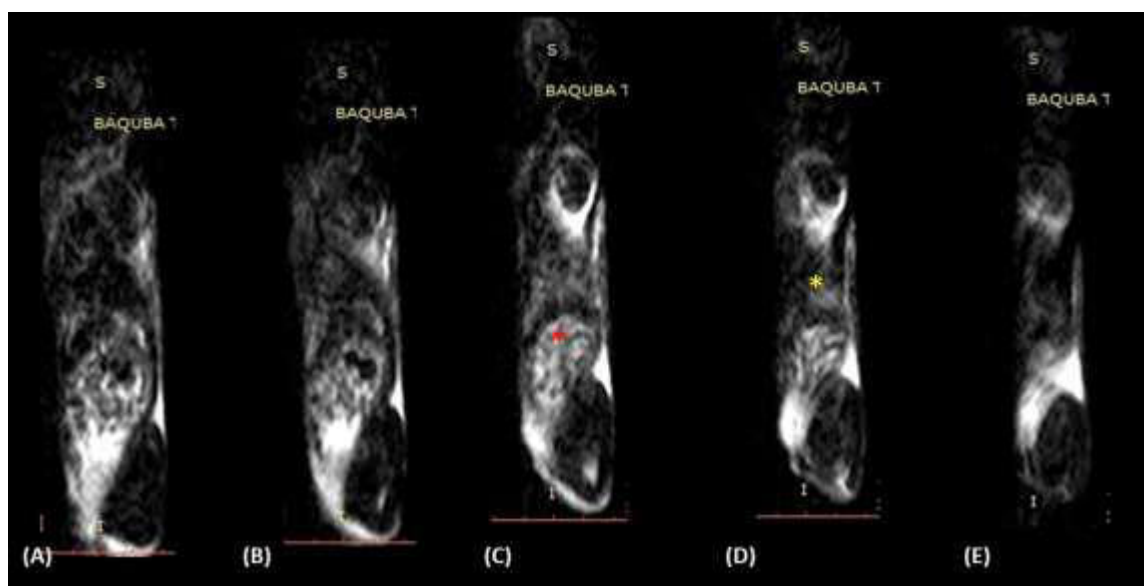


الشكل (23-4) (T2) يمثل الصور الناتجة من جهاز MRI باستخدام المادة المغناطيسي (A4).

تمت عملية الحقن بالتركيز الثاني لنفس الفرايت النانوي كوبلت زنك التركيز ($x = 0.7$) العينة A5 ذي الحجم النانوي (9.07nm) حسب الجدول (3-4) وبasherاف طبي، وقد اظهرت نتائج الفحص بجهاز الرنين الصور وكما مبين بالشكل (24-4) حيث تمثل الصور المرجح T1 الذي بين مظهر عالي في منطقة الامعاء والقلب والشكل (25-4) يمثل الصور الناتجة من المرجح T2 والتي اظهرت ايضا مظهر واضح للصور لمنطقة البطن والامعاء وهذا يدل على سرعة استجابة المادة النانوية المغناطيسية وكذلك استقرارية المادة في منطقة الامعاء لجهاز MRI عند المرجح T2.



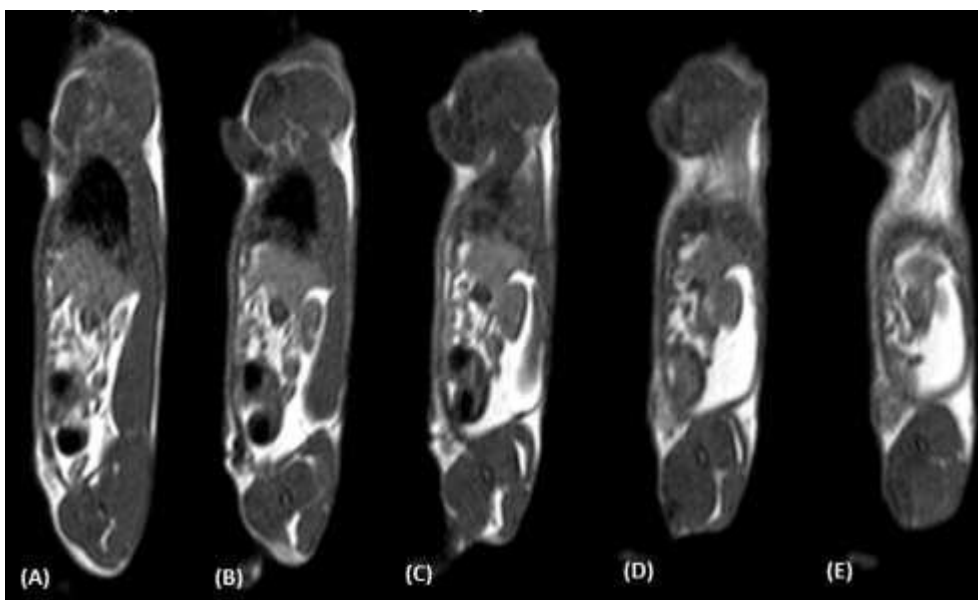
الشكل (24-4) الصور الناتجة من المرجح T1 باستخدام المائع النانوي فرایت كوبلت زنك .



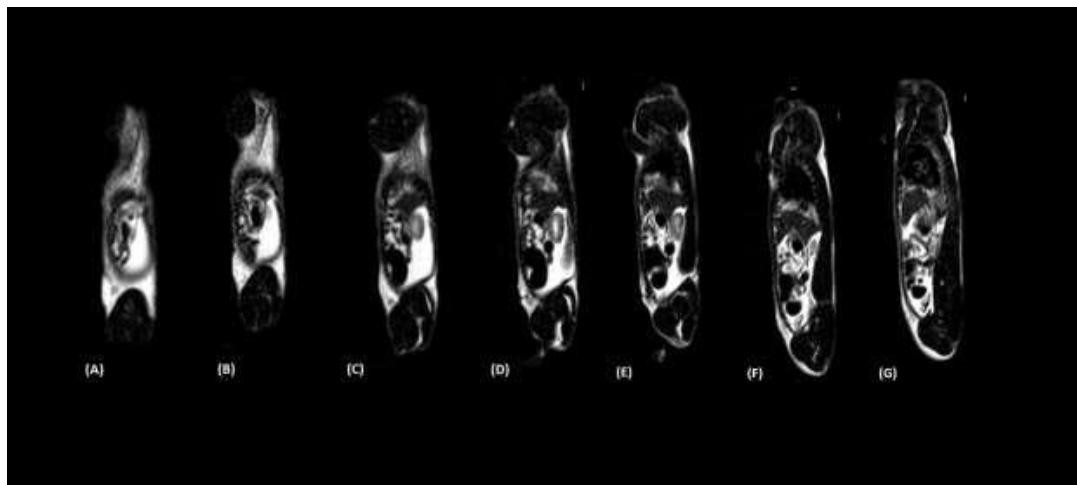
الشكل (25-4) يوضح الصور الناتجة من المرجح T2 (*) تبين منطقة الامعاء (*) منطقة القلب .

للكشف عن تعزيز التباين في صور الرنين المغناطيسي MRI تم استخدام المائع النانوي فرایت نيكل زنك بترakisز مختلفة وحسب الجدول (5-3).

تم الحقن بالمائع النانوي المغناطيسي فرایت نيكل زنك العينة C3 ذات التركيز $\text{X}=0.3$ الحجم النانوي (24.2nm) حيث كشف الفحص بجهاز MRI لهذه العينة الصور للمرجح T1 الموضحة بالشكل (26-4) والذي يبين مظهر شديد الحساسية للمادة كما يبدي اختراف المادة للأنسجة عند المرجح T2 الموضحة بالشكل (28-4).

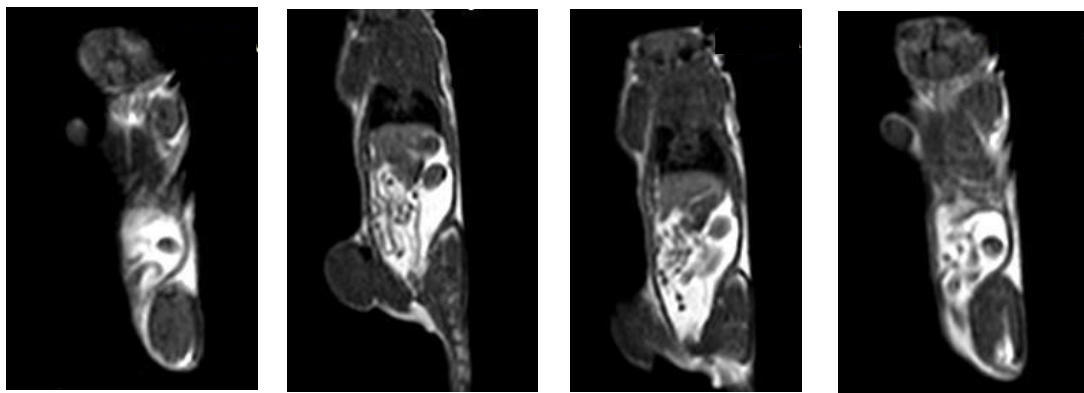


الشكل (4-26) يوضح الصور الناتجة من المرجح T1 والذي يبدي استجابة الجهاز للمادة المغناطيسية

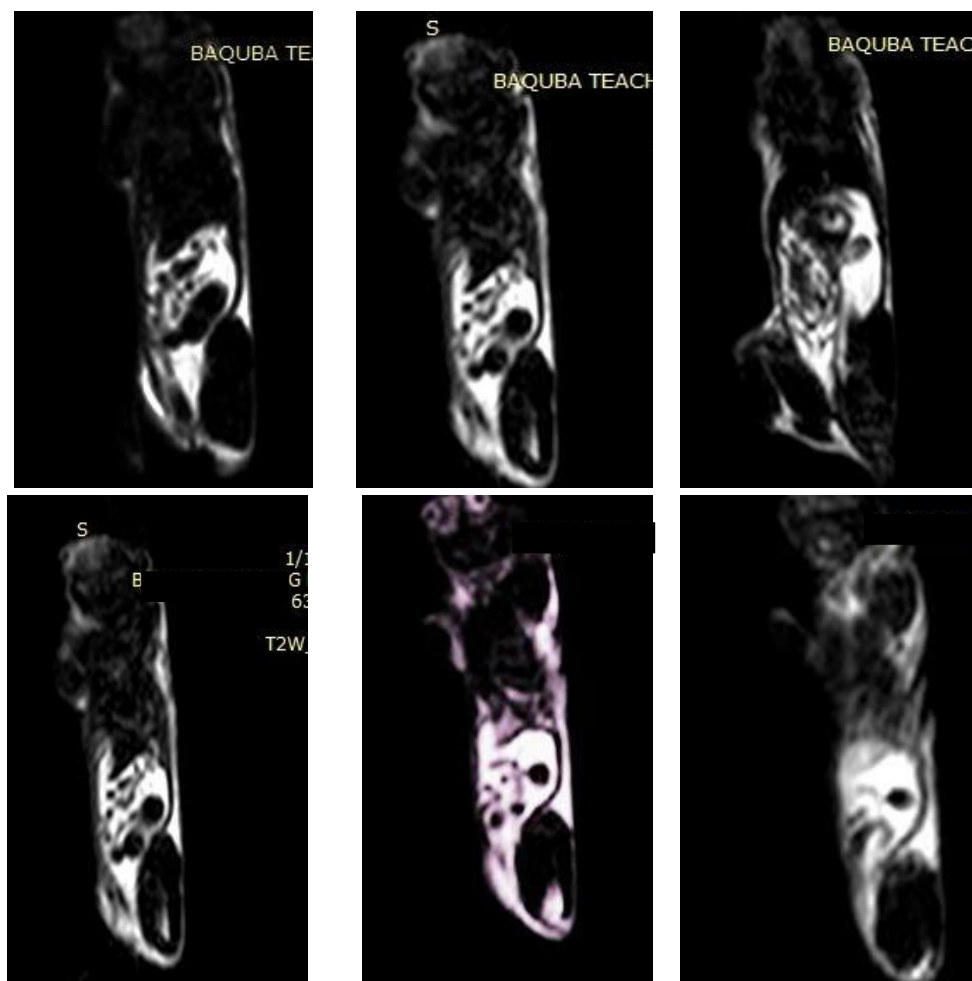


الشكل (4-27) يوضح الصور الناتجة من المرجح T2 والذي يظهر التأثير الكبير والواضح على مساحة كبيرة على أنسجة الجسم

تم الحقن بالتركيز الثاني للفراييت النانوي نيكل زنك العينة C4 ذي التركيز ($x=0.5$) ذي الحجم النانوي (25.1nm) حيث اظهرت نتائج الفحص الصور الناتجة بالشكل (28-4) للمرجح T1 والتي اظهرت استجابة المادة للفحص والذي يظهر من خلال الصور اجزاء للأمعاء والكبد وكذلك بالنسبة للمرجح T2 المبينة بالشكل (30-4) والتي تظهر صور واضحة لأجزاء البطن والأمعاء [115].



. الشكل (28-4) المرجح T1 الذي يبين استجابة المادة لجهاز MRI .



. الشكل(29-4) الصور الناتجة تمثل المرجح T2 للعينة C4 للفريات النانوي نيكل زنك .

Conclusions**(8-4) الاستنتاجات**

1. اظهرت الدراسة امكانية تحضير فراييات كوبالت زنك ونيكل زنك النانوية المغناطيسية ذات النقاوة العالية بطريقة (Co -Precipitation Method) عند درجة حرارة (300-700 °C).
2. اثبت فحص حيد الاشعة السينية XRD ان الفراييات تمتلك تركيب السبلي Spinal وان الجسيمات المحضرة ذات احجام نانوية من خلال فحص FE-SEM بالإضافة الى القوى المغناطيسية التي ظهرت من خلال التكتل بين الجسيمات.
3. اثبت دراسة الخصائص المغناطيسية VSM ان الفراييات المحضرة لكلا المركبين ذات خواص Super Paramagnetic وهي الحالة المرغوبة لإجراء التطبيق الطبي.
4. اثبتت دراسة الخواص الكهربائية العزلية إن الجسيمات المحضرة تمتلك ثابت عزل كهربائي ينخفض مع زيادة التردد ضمن المدى (50 Hz-2MHz).
5. استخدام الفراييات المحضرة عالماً في تعزيز التباين في صور الرنين المغناطيسي MRI والتي تم انتقاءها لإجراء التطبيق الطبي اثبتت توافقها مع المجال المسلط الكهربائي للجهاز المستخدم للتطبيق MRI والتي قيمتها (15000 تسلا) مما ساعد في اظهار الصور بدقة وتبين عالي يفوق الصور الناتجة باستخدام المواد الاخرى بالإضافة الى قصر الفترة الزمنية بين فترة الحقن والفحص ،حيث كان لطريقة التحضير والمعالجة الحرارية المناسبة دور مهم في تغيير اطوار المادة الفرايية الى الحالة Superpara Magnetic وهي الحالة التي يتطلب الوصول اليها لإجراء التطبيق الطبي.
6. اثبتت الدراسة ان افضل النسب التي اظهرت استجابة في تعزيز الصورة من جهاز MRI هي العينات التي امتلكت افضل الخواص التركيبية وخواص مغناطيسية Superpara Magnetic وهي العينتين . C3 – A5

Future Work**(9-4) الاعمال المستقبلية:**

1. دراسة تأثير طلاء المواد المغناطيسية النانوية المحضرة بمادة بوليمرية وذلك لمنع ظاهرة التكتل ذات التأثير السلبي على الخلايا الحميدة.
2. استخدام المادة المغناطيسية في العلاج الحراري لقتل الخلايا الخبيثة.
3. استخدام المادة النانوية لايصال الدواء(Drug Delivery) الى المنطقة المصابة بطريقة سليمة وامنة دون تأثيرها على الخلايا المجاورة.
4. تصنيع جسيمات نانوية مغناطيسية بطرق كيميائية اخرى وبيان مدى تأثيرها في التطبيقات الطبية.

المصادر

References :

- [1]Mahmood, L.S., 2012. Preparation of Co_{1-x}Zn_xFe₂O₄ nano ferrite and study of its electrical and structural properties. Scientific Research University of Diyala College of Science Department of Physics, P (1).
- [2] Mattis, D.C., 2012. The theory of magnetism I: Statics and Dynamics (Vol. 17). Springer Science & Business Media.
- [3]Goldman, A., 1990. Recent advances in ferrite materials technology. Modern Ferrite Technology, Van Nostrand Reinhold, New York, p.191.
- [4] Roy, P.K. and Bera, J., 2006. Effect of Mg substitution on electromagnetic properties of (Ni_{0.25}Cu_{0.20}Zn_{0.55}) Fe₂O₄ ferrite prepared by auto combustion method. *Journal of magnetism and magnetic materials*, 298(1), pp.38-42.
- [5] Saija, K.G., 2012. Synthesis and Characterization of Tetravalent Cation Substituted Mn-Zn Ferrite Suitable for High Frequency Applications (Doctoral dissertation, Saurashtra University).
- [6] Kittel, C. and McEuen, P., 1976. Introduction to solid state physics (Vol. 8). New York: Wiley.
- [7] Standley, K.J., 1972. Electrical Properties of Ferrites and Garnets. Oxide Magnetic Materials, Second Edition, Clarendon Press Oxford, pp.140-143.
- [8] Cullity, B.D. and Graham, C.D., 2011. Introduction to magnetic materials. John Wiley & Sons.
- [9] Lazarević, Z.Z., Jovalekić, C., Milutinović, A., Romčević, M.J. and Romčević, N.Ž., 2012. Preparation and Characterization of Nano Ferrites. *Acta Physica Polonica*, A., 121(3).
- [10] Mehta, N., 2008. Textbook of engineering physics. PHI Learning Pvt. Ltd.
- [11] N.H.Alwash , " The effect of sintering time on the magnetic properties Ni 1-x ZnxFe₂O₄ for the syntheses" , The Iraqi Journal For Mechanical And Material Engineering,(c), 499-511 , (2009).

- [12] زياد طارق خضير " تصنيع وتصميم التراكيب النانوية المنماة بتقنية APCVD ودراسة بعض الخواص الفيزيائية وظروف الترسيب للمركب (ZnO:Fe) " اطروحة دكتوراه في فلسفة الفيزياء ، كلية التربية ابن الهيثم – جامعة بغداد ، (2011).
- [13] C. Raab, M. Simko, U. Fiedeler, M. Nentwich, A. Gazso" Production of nanoparticles and Nanomaterials" Institute of technology assessment of the austrian academy of sciences, No. 006en ,(2011).
- [14] Buschow, K.H.J. and Boer, F.R., 2003. Physics of magnetism and magnetic materials (Vol. 7). New York: Kluwer Academic/Plenum Publishers.
- [15] Potakova, V.A., Zverev, N.D. and Romanov, V.P., 1972. On the cation distribution in $Ni_{1-x-y}Fe_xZn_yFe_{1-x-y}O_4$ spinel ferrites. physica status solidi (a), 12(2), pp.623-627.
- [16] Globus, A., Pascard, H. and Cagan, V., 1977. Distance between magnetic ions and fundamental properties in ferrites. Le Journal de Physique Colloques, 38(C1), pp.C1-163.
- [17] Kim, Y.I., Kim, D. and Lee, C.S., 2003. Synthesis and characterization of $CoFe_2O_4$ magnetic nanoparticles prepared by temperature-controlled coprecipitation method. Physica B: Condensed Matter, 337(1-4), pp.42-51.
- [18] Mohanty, D., 2011. Effect of sintering on some properties of NiZn-ferrite (Doctoral dissertation).
- [19] Berry, C.C. and Curtis, A.S., 2003. Functionalisation of magnetic nanoparticles for applications in biomedicine. Journal of physics D: Applied physics, 36(13), p.R198.
- [20] Chinnasamy, C.N., Senoue, M., Jeyadevan, B., Perales-Perez, O., Shinoda, K. and Tohji, K., 2003. Synthesis of size-controlled cobalt ferrite particles with high coercivity and squareness ratio. Journal of colloid and interface science, 263(1), pp.80-83.
- [21] Hyeon, T., 2003. Chemical synthesis of magnetic nanoparticles. Chemical Communications, (8), pp.927-934.

- [22] Pankhurst, Q.A., Connolly, J., Jones, S.K. and Dobson, J., 2003. Applications of magnetic nanoparticles in biomedicine. *Journal of physics D: Applied physics*, 36(13), p.R167.
- [23] Berger, M., Castelino, J., Huang, R., Shah, M. and Austin, R.H., 2001. Design of a micro fabricated magnetic cell separator. *Electrophoresis*, 22(18), pp.3883-3892.
- [24] Bergmann, C., Müller-Schulte, D., Oster, J.A., à Brassard, L. and Lübbe, A.S., 1999. Magnetic ion-exchange Nano-and micro particles for medical, biochemical and molecular biological applications. *Journal of Magnetism and Magnetic Materials*, 194(1-3), pp.45-52.
- [25] Curtis, A., 2003. Biomedical aspects of magnetic nanoparticles. *europhysics news*, 34(6), pp.210-211.
- [26] Fu, L., Dravid, V.P., Klug, K., Liu, X. and Mirkin, C.A., 2002. Synthesis and patterning of magnetic nanostructures. *European cells and Materials*, 3(SUPPL. 2), pp.156-157.
- [27] Laura H. Lewis “Fundamentals of Magnetism & Magnetic Materials” Northeastern University, Boston MA 2015 IEEE Summer School – June 14-19, University of Minnesota .
- [28] Bucak, S., Yavuzturk, B. and Sezer, A.D., 2012. Magnetic nanoparticles: synthesis, surface modifications and application in drug delivery. *Recent Advances in Novel Drug Carrier Systems*, 2, pp.165-200.
- [29] Simon-Yarza, T., Mielcarek, A., Couvreur, P. and Serre, C., 2018. Nanoparticles of metal-organic frameworks: on the road to in vivo efficacy in biomedicine. *Advanced Materials*, 30(37), p.1707365.
- [30] Suwalka, O., Sharma, R.K., Sebastian, V., Lakshmi, N. and Venugopalan, K., 2007. A study of nanosized Ni substituted Co-Zn ferrite prepared by coprecipitation. *Journal of magnetism and magnetic materials*, 313(1), pp.198-203.

- [31] Lan, N.T., Hien, T.D., Duong, N.P. and Truong, D.V., 2008. Magnetic properties of Mn_{1-x}Zn_xFe₂O₄ ferrite nanoparticles prepared by using co-precipitation. *Journal of the Korean Physical Society*, 52(5), p.1522.
- [32] حسام غانم حسيب القطان، خالد طه مهدي الرسول ، رياض ابراهيم عطيه "تأثير درجة حرارة التلبيذ على الخصائص المغناطيسية للمركب (Ni_xZn_{1-x}Fe₂O₄) " المؤتمر العلمي الثالث لكلية العلوم جامعة بغداد . 2009
- [33] Velmurugan, K., Venkatachalapathy, V.S.K. and Sendhilnathan, S., 2010. Synthesis of nickel zinc iron nanoparticles by coprecipitation technique. *Materials Research*, 13(3), pp.299-303.
- [34] Manouchehri, S., Yousefi, M.H., Mozaffari, M. and Amighian, J., 2010. Preparation of Superparamagnetic of Co_{0.5}Zn_{0.5}Fe₂O₄ at Room Temperature by Co-precipitation Method and Investigation of Its Physical Properties. *International Journal of Nanoscience and Nanotechnology*, 6(1), pp.15-22.
- [35] Khandekar, M.S., Kambale, R.C., Patil, J.Y., Kolekar, Y.D. and Suryavanshi, S.S., 2011. Effect of calcination temperature on the structural and electrical properties of cobalt ferrite synthesized by combustion method. *Journal of Alloys and compounds*, 509(5), pp.1861-1865.
- [36] Pathan, A.T. and Shaikh, A.M., 2012. Synthesis and characterization of cobalt substituted Li-Ni-Zn nano ferrites by chemical route. *European Journal of Applied Engineering and Scientific Research*, 1(4), pp.173-178.
- [37] ABEDINI, K.S., Mahmoudzadeh, G., Madani, S.S., Sepehr, S.S., Manie, S., Moradi, S., Gharib, F., MEHRDAD, S.A. and ABROMAND, A.P., 2010. Determination of magnetic properties of nano-size CoFe₂O₄ particles synthesized by combination of sol-gel auto-combustion and ultrasonic irradiation techniques.
- [38] Lotfi, R., Derakhshi, P. and Khorramie, S.A., 2012. Effect of temperature on synthesis and morphology of nickel doped cobalt ferrite in presence of htab by co-precipitation route. *World Appl Sci J*, 18(7), pp.929-32.

- [39]Doaga, A., Cojocariu, A.M., Constantin, C.P., Hempelmann, R. and Caltun, O.F., 2013, November. Magnetic nanoparticles for medical applications: Progress and challenges. In *AIP Conference Proceedings* (Vol. 1564, No. 1, pp. 123-131). American Institute of Physics.
- [40]Leng, P.L., Naseri, M.G., Saion, E., Shaari, A.H. and Kamaruddin, M.A., 2013. Synthesis and characterization of Ni-Zn ferrite nanoparticles ($\text{Ni}_{0.25}\text{Zn}_{0.75}\text{Fe}_2\text{O}_4$) by thermal treatment method. *Advances in Nanoparticles*, 2(4), pp.378-383.
- [41]Yattinahalli, S.S., Kapatkar, S.B. and Mathad, S.N., 2014. Structural and mechanical properties of a nano ferrite. *Advanced Science Focus*, 2(1), pp.42-46.
- [42]Kumar, R., Singh, R.R. and Barman, P.B., 2014. Cobalt doped nickel zinc ferrite nanoparticles–XRD analyses an insight.
- [43] Venkatesan, K., Babu, D.R., Bai, M.P.K., Supriya, R., Vidya, R., Madeswaran, S., Anandan, P., Arivanandhan, M. and Hayakawa, Y., 2015. Structural and magnetic properties of cobalt-doped iron oxide nanoparticles prepared by solution combustion method for biomedical applications. *International Journal of Nanomedicine*, 10(Suppl 1), p.189.
- [44] Ahmed, A.I., Siddig, M.A., Mirghni, A.A., Omer, M.I. and Elbadawi, A.A., 2015. Structural and optical properties of $\text{Mg}_{1-x}\text{Zn}_x\text{Fe}_2\text{O}_4$ nano-ferrites synthesized using co-precipitation method. *Advances in Nanoparticles*, 4(02), p.45.
- [45] Ding, Z., Wang, W., Wu, S. and Liu, J.P., 2015. Synthesis and characterization of Co–Zn ferrite nanoparticles by hydrothermal method: a comparative study. *IEEE Transactions on Magnetics*, 51(11), pp.1-4.
- [46] Yadavalli, T., Jain, H., Chandrasekharan, G. and Chennakesavulu, R., 2016. Magnetic hyperthermia heating of cobalt ferrite nanoparticles prepared by low temperature ferrous sulfate based method. *AIP Advances*, 6(5), p.055904.

[47] تحسين حسين مبارك, صباح محمد علي and عمر عبد الوهاب احمد, 2017. تحضير و دراسة الخواص العزلية لغشاء متراكب (CoFe₂O₄-PVA). مجلة ديالى للعلوم الصرفة, 13(4-2), pp.73-82.

[48] Dawoud, H.A., Ouda, L.S.A. and Shaat, S.K., 2017. AC and Dielectric Properties of Polycrystalline Zn–Ni Spinel Ferrites Prepared by Double Sintering Technique. IUG Journal of Natural Studies.

[49] Amir, M., Gungunes, H., Baykal, A., Almessiere, M.A., Sözeri, H., Ercan, I., Sertkol, M., Asiri, S. and Manikandan, A., 2018. Effect of annealing temperature on magnetic and Mössbauer properties of ZnFe₂O₄ nanoparticles by sol-gel approach. *Journal of Superconductivity and Novel Magnetism*, 31(10), pp.3347-3356.

[50] Khan, S.B., Irfan, S. and Lee, S.L., 2019. Influence of Zn⁺ Doping on Ni-Based Nanoferrites;(Ni_{1-x}ZnxFe₂O₄). *Nanomaterials*, 9(7), p.1024.

[51] Abdulwahab, K., 2013. Synthesis and Characterisation of Monodispersed Ferrite Nanoparticles (Doctoral dissertation, The University of Manchester (United Kingdom)).

[52] Yamauchi, J., 2008. Fundamentals of magnetism. Nitroxides: Applications in Chemistry, Biomedicine, and Materials Science.

[53] Bhattacharjee, K , Ghosh, C.K., Mitra, M.K., Das, G.C., Mukherjee, S. and Chattopadhyay, K.K., 2011. Novel synthesis of Ni_xZn_{1-x}Fe₂O₄ (0≤x≤1) nanoparticles and their dielectric properties. *Journal of Nanoparticle Research*, 13(2), pp.739-750.

[54] Babak ,M . The Secret of Magnetism .,May 31, 2015 , Ariticles ,Materias Science Engineering Magnetism .

[55] Jiles, D. 2015. Introduction to magnetism and magnetic materials. CRC press.

[56] Costa, A.C.F., Morelli, M.R. and Kiminami, R.H., 2004. Combustion synthesis, sintering and magnetical properties of nanocrystalline Ni-Zn ferrites doped with samarium. *Journal of materials science*, 39(5), pp.1773-1778.

[57] كاظم احمد محمد, "الحرارة وخواص المادة", جامعة الموصل (1999).

[58] تحسين حسين مبارك "تحضير مادة قلب المحولة الكهربائية ودراسة خصائصها التركيبية و الفيزيائية" اطروحة دكتوراه ،جامعة التكنولوجية، قسم العلوم التطبيقية ،(2003) .

[59] Srivastava, R., 2012. Synthesis and characterization techniques of nanomaterials. International Journal of Green Nanotechnology, 4(1), pp.17-27.

[60] Liu, Q., Lv, L., Zhou, J.P., Chen, X.M., Bian, X.B. and Liu, P., 2012. Influence of nickel-zinc ratio on microstructure, magnetic and dielectric properties of Ni (1- x) ZnxFe₂O₄ ferrites. J. Ceram. Process. Res, 13(2), pp.110-116.

[61] الكهربائية والمغناطيسية / الدكتور محمد بن علي احمد ال عيسى / قسم الفيزياء كلية العلوم جامعة الملك سعود .

[62] فيزياء الجوامد / د. عبدالفتاح احمد الشاذلي / جامعة عين الشمس ج.3.

[63] Berry, C.C. and Curtis, A.S., 2003. Functionalisation of magnetic nanoparticles for applications in biomedicine. Journal of physics D: Applied physics, 36(13), p.R198.

[64] Bradford, P., 2012. *The aggregation of iron oxide nanoparticles in magnetic fields* (Doctoral dissertation, University of Birmingham). مصدر الجدول الدوري

[65] Nalwa, H.S. ed., 1999. Handbook of low and high dielectric constant materials and their applications, two-volume set. Elsevier.

[66] Srivastava, R. and Yadav, B.C., 2012. Ferrite materials: introduction, synthesis techniques, and applications as sensors. *International Journal of Green Nanotechnology*, 4(2), pp.141-154.

[67] Singh, J.P., Kumar, H., Singhal, A., Sarin, N., Srivastava, R.C. and Chae, K.H., 2016. Solubility limit, magnetic interaction and conduction mechanism in rare earth doped spinel ferrite. *Appl. Sci. Lett*, 2(1), pp.03-11.

[68] Goldman, A., 2006. Modern ferrite technology. Springer Science & Business Media.

[69] Disegi, J.A., Kennedy, R.L. and Pilliar, R., 1999, October. Cobalt-base alloys for biomedical applications. Danvers: ASTM.

- [70] Panda, R.K., 2016. Studies on electric and magnetic properties of cobalt ferrite and its modified systems (Doctoral dissertation).
- [71] Nlebedim, I.C., Ranvah, N., Melikhov, Y., Williams, P.I., Snyder, J.E., Moses, A.J. and Jiles, D.C., 2009. Magnetic and Magnetomechanical Properties of CoAl_{2-x}Fe_{2-x}O₄ for Stress Sensor and Actuator Applications. *IEEE Transactions on magnetics*, 45(10), pp.4120-4123.
- [72] Mohanty, D., 2011. Effect of sintering on some properties of NiZn-ferrite (Doctoral dissertation).
- [73] ردينة صديق "دراسة الخصائص التركيبية والبصرية لاغشية Ni_{1-x}Zn_xO المحضرة بطريقة التحلل الكيميائي الحراري " رسالة ماجستير، جامعة ديالى، كلية العلوم 2013.
- [74] Rajendra, R. and RAJLAKSHMI, N., Structural and Electric Properties of Titanium Substituted Ni-Cu-Zn Ferrite.
- [75] Street, B.G, Present technology of hard and soft ferrites. Powder Metallurgy, 22(2), pp.62-74,1979 .
- [76] Ito, S, Basics of ferrite and noise countermeasures. TDK EMC Technology; TDKCorporation Magnetics Business Group: Tokyo, Japan,2011.
- [77]- نزهت عزيز عبود ، صباح جميل مزهر ، زياد نبيل ، ""دراسة تركيب الحجارات المغناطيسية وعلاقتها بمنحنى الهاسترة المغناطيسية ""، مجلة كلية التربية الاساسية ، الاصدار 64، صفحة 607-614 . (2010)
- [78] Awadallah, A.M. and Sami, M, Effects of preparation conditions and metal ion substitutions for barium and iron on the properties of M-type barium hexaferrites (Doctoral dissertation, The University Of Jordan) ,2014 .
- [79] Cui, Z., Zhang, W. and Wang, H, Magnetic permeability measurement method for particle materials. In 2018 IEEE International Instrumentation and Measurement Technology Conference (I2MTC) (pp. 1-6). IEEE,2018 .
- [80] Petrova, A.B., Astafyev, A.L. and Ershov, A.V , January. The study of initial permeability temperature dependences for LiTiZn ferrite ceramics. In IOP Conference Series: Materials Science and Engineering (Vol. 289, No. 1, p.

012042). IOP Publishing,2018 .

- [81] Ganachari, S.V., Banapurmath, N.R., Salimath, B., Yaradoddi, J.S., Shettar, A.S., Hunashyal, A.M., Venkataraman, A., Patil, P., Shoba, H. and Hiremath, G.B, Synthesis techniques for preparation of nanomaterials. Handbook of Ecomaterials, Springer, Cham. https://doi.org/10.1007/978-3-319-48281-1_149-1,2017 .
 - [82] Tünay, O. and Kabdaşlı, N.I, Hydroxide precipitation of complexed metals. Water Research, 28(10), pp.2117-2124,1994.
 - [83] Packter, A, The precipitation of transition metal oxalate powders from aqueous solution. Crystal numbers and final sizes. *Kristall und Technik*, 11(11), pp.1131-1138,1976 .
 - [84] D. William, "material science and engineering an introduction" John wiley &son ,Inc , p.676-681, (2000).
- [85] د. غازي ياسين الفيسي ""فيزياء الحالة الصلبة""المملكة المتحدة – جامعة ريدنك – دار المسيرة (2011).
- [86] Sharma, R., Bisen, D.P., Shukla, U. and Sharma, B.G., X-ray diffraction: a powerful method of characterizing nanomaterials. Recent Research in Science and Technology,2012.
 - [87] J.Connolly," Elementary Crystallography for X-Ray Diffraction" Introduction to X-Ray powder diffraction, Spring, (2012).
 - [88] Speakman, S.A. Basics of X-ray powder diffraction. the Center for Materials Science and Engineering at MIT, Tech. Rep. Massachusetts-USA,2011 .
 - [89] Batoo, K.M. and Ansari, M.S. Low temperature-fired Ni-Cu-Zn ferrite nanoparticles through auto-combustion method for multilayer chip inductor applications. Nanoscale Research Letters, 7(1), p.112, 2012 .
 - [90] N. S. Ahmade “Synthesis and Magnetic Characterization of $\text{Co}_x\text{Zn}_{1-x}\text{Fe}_2\text{O}_4$ Spinel Ferrite nano Particles for Biological Applications” Phd , University of Technology, 2019 .

- [91] A. S. H. Makhlof, and A. Barhoum, *Emerging Applications of Nanoparticles and Architectural Nanostructures: Current Prospects and Future Trends*: William Andrew, 2018.
- [92] Kao, K.C, Dielectric phenomena in solids. Elsevier,2004 .
- [93] C. Koops, “On the dispersion of resistivity and dielectric constant of some semiconductors at audiofrequencies,” *Physical Review*, vol. 83, no. 1, pp. 121, 1951.
- [94] G. Vijayakumari, *Engineering Physics*: Vikas Publishing House, Second Edition, India, 2009.
- [95] Zhou, T., Zhang, D., Jia, L., Bai, F., Jin, L., Liao, Y., Wen, T., Liu, C., Su, H., Jia, N. and Zheng, Z, Effect of NiZn ferrite nanoparticles upon the structure and magnetic and gyromagnetic properties of low-temperature processed LiZnTi ferrites. *The Journal of Physical Chemistry C*, 119(23), pp.13207-13214,2015
- [96] Mark, H.F. and Kroschwitz, J.I, *Encyclopedia of polymer science and engineering* ,1985 .
- [97] D. W. McRobbie, E. A. Moore, M. J. Graves and M. R. Prince , MRI From Picture to Proton , Second edition, , Published in the United States of America by Cambridge University Press, New York, 2006..
- [98] Sharma, R., Bisen, D.P., Shukla, U. and Sharma, B.G, X-ray diffraction: a powerful method of characterizing nanomaterials. *Recent Research in Science and Technology* ,2012 .
- [99] Soibam, I., Nilima, N. and Phanjoubam, S, Dielectric studies of double sintered lithium zinc nickel ferrite prepared by citrate precursor method. *Am J Mater Sci Eng*, 2, pp.24-27,2014 .
- [100] G. Sathishkumar, “Structural magnetic and dielectric studies on cobalt based ferrite nanoparticles,” Ph.D Thesis, Anna University, Chennai, 2013.
- [101] Tereshchenko, O.V., Buesink, F.J.K. and Leferink, F.B.J , August. An overview of the techniques for measuring the dielectric properties of

materials. In 2011 XXXth URSI General Assembly and Scientific Symposium (pp. 1-4). Ieee,2011.

- [102] Bonechi, C., Consumi, M., Matteucci, M., Tamasi, G., Donati, A., Leone, G., Menichetti, L., Kusmic, C., Rossi, C. and Magnani, A, Distribution of Gadolinium in Rat Heart Studied by Fast Field Cycling Relaxometry and Imaging SIMS. International journal of molecular sciences, 20(6), p.1339,2019.
- [103] Ahmadi, R., Gu, N. and Hosseini, H.R.M, Characterization of cysteine coated magnetite nanoparticles as MRI contrast agent. Nano-Micro Letters, 4(3), pp.180-183,2012 .
- [104] Abdulaziz, A.F, Magnetic and magnetostrictive properties of $\text{Co}_{(1-x)}\text{Zn}_x\text{Fe}_2\text{O}_4$ nanoparticles produced by co-precipitation method. Tikrit Journal of Pure Science, 16(4), pp.216-222,2011 .
- [105]Kurian, M., Thankachan, S., Nair, D.S., Aswathy, E.K., Babu, A., Thomas, A. and KT, B.K, Structural, magnetic, and acidic properties of cobalt ferrite nanoparticles synthesised by wet chemical methods. *Journal of Advanced Ceramics*, 4(3), pp.199-205,2015 .
- [106]Rameshbabu, R., Ramesh, R., Kanagesan, S., Karthigeyan, A. and Ponnusamy, S, Structural, morphological and magnetic properties of hydrothermally synthesized ZnFe_2O_4 nanoparticles. *Journal of Materials Science: Materials in Electronics*, 25(6), pp.2583-2588,2015 .
- [107]Leng, P.L., Naseri, M.G., Saion, E., Shaari, A.H. and Kamaruddin, M.A., Synthesis and characterization of Ni-Zn ferrite nanoparticles ($\text{Ni}_{0.25}\text{Zn}_{0.75}\text{Fe}_2\text{O}_4$) by thermal treatment method. *Advances in Nanoparticles*, 2(4), pp.378-383,2013 .
- [108] Kumar, R., Singh, R.R. and Barman, P.B, Cobalt doped nickel zinc ferrite nanoparticles–XRD analyses an insight,2014 .

- [109] Impact of grain size and structural changes on magnetic, dielectric, electrical, impedance and modulus spectroscopic characteristics of CoFe₂O₄ nanoparticles synthesized by honey mediated sol-gel combustion method.
- [110] Iqbal, J., Rajpoot, M., Jan, T. and Ahmad, I., 2014. Annealing induced enhancement in magnetic properties of Co 0.5 Zn 0.5 Fe 2 O 4 nanoparticles. *Journal of Superconductivity and Novel Magnetism*, 27(7), pp.1743-1749.
- [111] Manikandan, A., Kennedy, L.J., Bououdina, M. and Vijaya, J.J., 2014. Synthesis, optical and magnetic properties of pure and Co-doped ZnFe₂O₄ nanoparticles by microwave combustion method. *Journal of magnetism and magnetic materials*, 349, pp.249-258.
- [112] F.Gozuak, Y.Koseoglu, A.Baykal, and H.Kavasa " Synthesis and characterization of Co_xZn_{1-x}Fe₂O₄ magnetic nanoparticles via PEG-assisted route " *Journal of Magnetism and Magnetic Materials*, vol. 321,p.p 2170–2177, 2009.
- [113] Jadhav, J., Biswas, S., Yadav, A.K., Jha, S.N., Bhattacharyya, D. and Sahoo, N.K., 2015. Effects of Ni Concentration on the Structural and Magnetic Properties of NiZnFe₂O₄ Ferrites Synthesized via a Polymer Precursor. In *Journal of Nano Research* (Vol. 34, pp. 9-16). Trans Tech Publications Ltd.
- [114] Kim, D.K., Zhang, Y., Kehr, J., Klason, T., Bjelke, B. and Muhammed, M., Characterization and MRI study of surfactant-coated superparamagnetic nanoparticles administered into the rat brain. *Journal of Magnetism and Magnetic Materials*, 225(1-2), pp.256-261,2001.
- [115] Ahmad, T., Rhee, I., Hong, S., Chang, Y. and Lee, J., 2011. Ni-Fe₂O₄ nanoparticles as contrast agents for magnetic resonance imaging. *Journal of nanoscience and nanotechnology*, 11(7), pp.5645-5650.

UNITS FOR MAGNETIC PROPERTIES

Quantity	Symbol	Gaussian & cgs emu ^a	Conversion factor, C ^b	SI & rationalized mks ^c
Magnetic flux density, magnetic induction	B	gauss (G) ^d	10^{-4}	tesla (T), Wb/m ²
Magnetic flux	Φ	maxwell (Mx), G·cm ²	10^{-8}	weber (Wb), volt second (V·s)
Magnetic potential difference, magnetomotive force	U, F	gilbert (Gb)	$10/4\pi$	ampere (A)
Magnetic field strength, magnetizing force	H	oersted (Oe), ^e Gb/cm	$10^3/4\pi$	A/m ^f
(Volume) magnetization ^g	M	emu/cm ³ ^h	10^3	A/m
(Volume) magnetization	$4\pi M$	G	$10^3/4\pi$	A/m
Magnetic polarization, intensity of magnetization	J, I	emu/cm ³	$4\pi \times 10^{-4}$	T, Wb/m ² ⁱ
(Mass) magnetization	σ, M	emu/g	$\frac{1}{4\pi} \times 10^{-7}$	A·m ² /kg Wb·m/kg
Magnetic moment	m	emu, erg/G	10^{-3}	A·m ² , joule per tesla (J/T)
Magnetic dipole moment	j	emu, erg/G	$4\pi \times 10^{-10}$	Wb·m ⁱ
(Volume) susceptibility	χ, κ	dimensionless, emu/cm ³	$\frac{4\pi}{(4\pi)^2} \times 10^{-7}$	dimensionless henry per meter (H/m), Wb/(A·m)
(Mass) susceptibility	χ_p, κ_p	cm ³ /g, emu/g	$\frac{4\pi \times 10^{-3}}{(4\pi)^2} \times 10^{-10}$	m ³ /kg H·m ² /kg
(Molar) susceptibility	χ_{mol}, κ_{mol}	cm ³ /mol, emu/mol	$\frac{4\pi \times 10^{-6}}{(4\pi)^2} \times 10^{-13}$	m ³ /mol H·m ² /mol
Permeability	μ	dimensionless	$4\pi \times 10^{-7}$	H/m, Wb/(A·m)
Relative permeability ^j	μ_r	not defined		dimensionless
(Volume) energy density, energy product ^k	W	erg/cm ³	10^{-1}	J/m ³
Demagnetization factor	D, N	dimensionless	$1/4\pi$	dimensionless

- a. Gaussian units and cgs emu are the same for magnetic properties. The defining relation is $B = H + 4\pi M$.
- b. Multiply a number in Gaussian units by C to convert it to SI (e.g., $1 \text{ G} \times 10^{-4} \text{ T}/\text{G} = 10^{-4} \text{ T}$).
- c. SI (*Système International d'Unités*) has been adopted by the National Bureau of Standards. Where two conversion factors are given, the upper one is recognized under, or consistent with, SI and is based on the definition $B = \mu_0(H + M)$, where $\mu_0 = 4\pi \times 10^{-7} \text{ H/m}$. The lower one is not recognized under SI and is based on the definition $B = \mu_0 H + J$, where the symbol J is often used in place of I .
- d. 1 gauss = 10^5 gamma (γ).
- e. Both oersted and gauss are expressed as $\text{cm}^{-1/2} \cdot \text{g}^{1/2} \cdot \text{s}^{-1}$ in terms of base units.
- f. A/m was often expressed as "ampere-turn per meter" when used for magnetic field strength.
- g. Magnetic moment per unit volume.
- h. The designation "emu" is not a unit.
- i. Recognized under SI, even though based on the definition $B = \mu_0 H + J$. See footnote c.
- j. $\mu_r = \mu/\mu_0 = 1 + \chi$, all in SI. μ_r is equal to Gaussian μ .
- k. $B \cdot H$ and $\mu_0 M \cdot H$ have SI units J/m^3 ; $M \cdot H$ and $B \cdot H/4\pi$ have Gaussian units erg/cm^3 .



No: 53

Date: 19 – 10 – 2020

Letter of Acceptance

Editorial Board

Professor: Nabeel Ali Bakr (**Editor-in-Chief**)
Assistant Professor: Kareem Hussein Khwedim
Professor: Tahseen H. Mubarak
Professor: Karim H. Hassan
Professor: Ziyad T. Mustafa
Professor: Sabah A. Salman
Professor: Mohammed K. Khudhair
Assistant Professor: Munther Hamza Rathi Hussein
Assistant Professor: Asem Ahmed Hassan
Professor: Farid Jamali – Sheini
Professor: Ranjit R. Hawaldar
Professor: Naji M. Sahyeb
Professor: L. M. Harwood
Professor: Emad Shalaby
Professor: Wael Ghafour Alabdullah
Professor: Khidir W. Hilu
Professor: Amha Lisan
Assistant Professor: Rajavelu Balu
Professor: Khaldoun Ahmed

Date of receipt: 1 – 9 – 2020
Date of acceptance: 19 – 10 – 2020

Manuscript Number: 540C

Title: Preparation and study of the properties of CoZnFe₂O₄ using co-precipitation method

Authors: Wafaa A. Shatti, Tahseen H. Mubarak and Olfat A. Mahmood

This is to certify that the above-mentioned manuscript has been accepted for publication in Diyala Journal for Pure Science. It should be understood that papers included in journal are subjected to editorial revision and the right of publication in any form or language is reserved to the editorial board of journal.

Professor
Nabeel Ali Bakr (Editor-in-Chief)

Acceptance Letter (Publication and Oral Presentation)

Paper ID: ICCES-Nano-2020-001

Paper Title: (Synthesis of iron-nickel particles By co-precipitation Technique and used as a contrast medium in an MRI machine)

Congratulations!

The review processes of the **International workshop on Nanotechnology (IWN)** that is joint with the 1st First International Conference on Computing and Emerging Sciences (ICCES20) has been completed. Based on the recommendations of the reviewers and the program Committees, we are pleased to inform you that your paper identified above has been accepted for *both publication and oral presentation*. You are cordially invited to present the paper orally at ICCES to be held in Erbil, Iraq on Dec. 24-26, 2020. If the registration procedure is completed before/on the set deadline. The proceedings are also submitted for indexing through **SCOPUS, IEE INSPEC , EI, DBLP, Thomson ISI**, and other indexing services.

Registration Procedure:

You are expected to complete the following steps in order to register successfully:

Step1: Revise your paper according to <https://acm-icces.net/cats/Instructions-for-Authors> .

Step2: Format your paper according to the Template carefully. Each submitted paper must conform to the **SCITEPRESS Digital Library**.

Step3: Complete the Registration according to: <https://acm-icces.net/cats/reg>

Step4: Send your final papers (both doc and pdf version), and payment proof to submit@acm-icces.net before Nov. 1, 2020.

Note:

Please strictly follow the instructions of the format specified in the conference template while preparing your final paper. If you have any problem in preparing the final paper, please feel free to contact us via submit@acm-icces.net for the most updated information on the conference; please check the conference website at <https://acm-icces.net/>

The Conference Program will be available at the website in the DEC. 15, 2020.

We are looking forward to meeting you in Iraq

Yours Sincerely,

ICCES Scientific Committee

Scopus®



ICCES 2020

Journal of Physics: Conference Series

19 September 2020

Acceptance Letter

Dear author(s),

WAFAA A. SHATTI 1, TAHSEEN H. MUBARAK 2, OLFAT A. MAHMOOD 3

^{1,2,3}Department of Physics, College of Science, University of Diyala, Diyala, Iraq.

It's my pleasure to inform you that, after the peer review, your paper,

"Study of the structure, magnetic and electrical properties of nickel zinc ferrite"

Has been **ACCEPTED** with content unaltered to publish with **Journal of Physics: Conference Series, ISSN: 1742-6588 E-ISSN: 1742-6596**

Again, thank you for working with the Journal of Physics: Conference Series. I believe that our collaboration will help to accelerate the global knowledge creation and sharing one step further. Journal of Physics: Conference Series looks forward to your final publication package. Please do not hesitate to contact me if you have any further questions.

Sincerely,



Editor-in-Chief

Journal of Physics: Conference Series

<https://iopscience.iop.org/journal/1742-6596>

ABSTRACT :

In this study magnetic nanoparticles were prepared in two forms, the first $\text{Co}_{1-x}\text{Zn}_x\text{Fe}_2\text{O}_4$ and the second $\text{Ni}_{1-x}\text{Zn}_x\text{Fe}_2\text{O}_4$ for the x values, respectively ($x=0,0.1,0.3,0.5,0.7,0.9$) by Co-precipitation Method where nanoparticles were obtained with a scale of 10-28 nm.

The structural properties of the prepared samples were tested by using the XRD spectroscopy, the Fourier transforms of the FTIR infrared spectrometer , and the electronic spectroscopy of the emitted field FE-SEM. The synthetic results showed that the prepared particles possess the Lattice constants, grain sizes and density of the ferrite were calculated. All FE-SEM results showed that . It has nanoscale sizes(25-34.5 nm) as it showed through the agglomeration of particle sites that it possesses good magnetic properties, and from the results of FTIR showed that the particles have two absorption beams between $(600-400\text{cm}^{-1})$ and that these beams indicate that the spectral composition of all samples is for ferrite .

The electrical isolation properties of the prepared particles LCR meter were also tested and the results showed that the prepared particles possess good insulating properties within the frequency range (50-2MHz) by calculating the dielectric constant and also finding the shadow angle of loss, while the magnetic properties of the particles through the VSM test showed that some samples had paramagnetic properties, while others had superParamagnetic properties.

Through the results, it was found that all the prepared samples possessed nanoscale sizes and good properties such as high magnetization, and the method used is inexpensive in addition to the possibility of preparing magnetic ferrite nanoparticles in good quantities. Converted to a magnetic fluid using one of the organic solvents TAMOH tetra hydroxide where the powders were converted to a Nano magnetic fluid, which was used as a colorant for the tissues and as a contrast medium in contrast medium MRI(Magnetic Resonance Imaging) .



Ministry of Higher Education
and Scientific Research
University of Diyala
College of Science
Department of Physics



Synthesis and study of $\text{CoZnFe}_2\text{O}_4$ and $\text{NiZnFe}_2\text{O}_4$ Magnetic Nano Particles for Medical Application

Submitted to The Council of the College of Sciences, University of Diyala in Partial Fulfillment of the Requirements for the Degree of Master of science in Physics

by

Wafaa Abdulsatar Shatti

(B.Sc. 2002)

Supervised By

Prof.Dr.

Tahseen H.Mubarak
2020 A.D

Prof.Dr.

Olfat Ahmad Mahmood
1442A.H

IRAQ